

UNIVERSIDAD NACIONAL AUTONOMA DE MEXICO

Facultad de Ciencias Quimicas

22

PREDICCION DE VISCOSIDADES DE GASES  
A BAJAS DENSIDADES

T E S I S

Que para obtener el Título de  
INGENIERO QUIMICO  
P R E S E N T A N

ARMANDO	OLIVARES	FUENTES
ARTURO	MOSCO	SALINAS

México, D. F.

1977



**UNAM – Dirección General de Bibliotecas**

**Tesis Digitales**  
**Restricciones de uso**

**DERECHOS RESERVADOS ©**  
**PROHIBIDA SU REPRODUCCIÓN TOTAL O PARCIAL**

Todo el material contenido en esta tesis está protegido por la Ley Federal del Derecho de Autor (LFDA) de los Estados Unidos Mexicanos (México).

El uso de imágenes, fragmentos de videos, y demás material que sea objeto de protección de los derechos de autor, será exclusivamente para fines educativos e informativos y deberá citar la fuente donde la obtuvo mencionando el autor o autores. Cualquier uso distinto como el lucro, reproducción, edición o modificación, será perseguido y sancionado por el respectivo titular de los Derechos de Autor.

LIBRERIA DE AMERICA LIBROS DE CULTURA

ESTACIONES DE SERVICIO

Tesis 1977

AÑO \_\_\_\_\_

FECHA \_\_\_\_\_

PROG. \_\_\_\_\_

B \_\_\_\_\_

293



GUIMARAES

LIBRERIA DE AMERICA LIBROS DE CULTURA

ESTACIONES DE SERVICIO

ESTACIONES DE SERVICIO

ESTACIONES DE SERVICIO

ESTACIONES DE SERVICIO

1977

1977

UNIVERSIDAD NACIONAL AUTONOMA DE MEXICO

FACULTAD DE QUIMICA

" PREDICCION DE VISCOSIDADES DE GASES  
A BAJAS DENSIDADES " (MANCOMUNADA)

OLIVARES FUENTES ARMANDO

MOSCO SALINAS ARTURO

INGENIERIA QUIMICA

1977

PRESIDENTE                    PROF.     MANUEL F. GUERRERO FERNANDEZ

VOCAL                        PROF.     ANTONIO REYES CHUMACERO

SECRETARIO                  PROF.     FRANCISCO BARNES DE CASTRO

1er. SUPLENTE              PROF.     ERNESTO ZELLER EPSEN

2do. SUPLENTE              PROF.     CARITINO MORENO PADILLA

Sitio donde se desarrolló el tema: Facultad de Química, C.U.

ASESOR :

---

Francisco Barnes de Castro.

SUSTENTANTES :

---

Armando Olivares Fuentes.

---

Arturo Mosco Salinas .

" Porque el conocimiento nos  
haga, no más astutos -para  
la proxima vez-, sino más  
sabios -para siempre-."

J. BURCKHARDT.

Deseamos hacer patente nuestro agradecimiento al Dr. Francisco Barnes de Castro por las ideas, observaciones y sugerencias que se sirvio prestarnos para - la realización de este trabajo.

Así mismo agradecemos sinceramente al M.C. Caritino Moreno Padilla su valiosa ayuda prestada, así como el tiempo que nos dedico durante la realización del - trabajo de computación requerido.

## I N D I C E

C O N T E N I D O . -	P A G I N A
Introducción .....	3
CAPITULO I : Generalidades .....	7
I. 1.- Conceptos basicos de la teoría cinética de los gases. ....	8
I. 2.- Fenómeno de fricción interna en fluidos....	15
CAPITULO II : "Modelos ya propuestos para la predicción de viscosidades". .....	21
II. 1.- Antecedentes. ....	21
II. 2.- Modelos de predicción ya propuestos para gases no polares. ....	25
II. 3.- Modelos de predicción ya propuestos para gases polares. ....	32
CAPITULO III : "Desarrollo y resultados del nuevo - modelo propuesto para la predicción de viscosidades de gases a bajas densidades" .....	42
a).- Presentación del nuevo modelo para la predicción de viscosidades de gases a bajas densidades. ....	63

## CONTENIDO .-

## PAGINA

b).- Tabla general de resultados (ERP) que presentan los gases no polares .....	65 <sup>1</sup>
c).- Tabla general de resultados (ERP) que presentan los gases polares .....	65 <sup>1</sup>
CAPITULO IV : "Predicción del comportamiento de -- viscosidades de mezclas de gases" .....	
a).- Tabla general de resultados (errores promedio) obtenidos para mezclas binarias .....	66 74 <sup>1</sup>
CAPITULO V : "Conclusiones" .....	
CAPITULO VI : "Apéndice" .....	
a).- Apéndice -A-, presentación de los resultados obtenidos para el capítulo III. ....	79 79
b).- Apéndice -B-, presentación de las fuentes de referencia de datos y relaciones matemáticas que se utilizaron .....	114
CAPITULO VII : "Bibliografia" .....	
INDICE .....	126 140

## I N T R O D U C C I O N

El descubrimiento de relaciones exactas para las propiedades de transporte de gases está recibiendo considerable interés, como resultado de las demandas ocasionadas por los modernos avances de la tecnología.

Dicha importancia radica principalmente en aquellos cálculos que a partir de estas relaciones, junto con otros factores, se llevan a cabo, ya sea para el cálculo de operaciones unitarias, para el diseño de equipo y procesos, o bien para reafirmar y satisfacer bases teóricas en la investigación fisicoquímica.

En este tipo de cálculos es importante contar con valores confiables de las propiedades de transporte de numerosos gases. Por tal motivo, algunos investigadores han enfocado su interés hacia este problema y han propuesto modificaciones o correlaciones completas para las propiedades de transporte de gases.

De las propiedades de transporte, la viscosidad parece ser la mayor fuente de información de determinadas propiedades para gases, dado que no es afectada en forma significativa por los grados de libertad internos y muy precisas mediciones de ella pueden ser hechas.

Las investigaciones realizadas acerca del cálculo de viscosidades ha dado lugar a varias correlaciones y modelos matemáticos.

El propósito de esta tesis es el de desarrollar una serie de correlaciones, en las que se ajusten ciertos parámetros, para obtener un modelo matemático por medio del cual se puedan predecir las viscosidades de gases a bajas densidades, así como determinar la predicción del comportamiento de viscosidades de mezclas de gases.

Se pretende que el modelo que se propone sea general, ya que debe ser válido para la gran variedad de gases que se usan, que tenga la suficiente exactitud para tener la confianza de que los cálculos que se realicen representen la realidad física, además de que esté convenientemente expresado en términos simples.

Para la realización de dicho modelo se ha partido de el hecho de considerar datos experimentales de un cierto número de gases (cincuenta y seis), siendo estos polares y no polares, todos ellos referidos a bajas densidades (a presiones menores de cinco atmósferas) debido a que se ha comprobado que existen desviaciones apreciables a densidades mayores.

La selección de datos se hizo en base a aquellos encontrados en la literatura, referidos a bajas densidades, siendo total

mente experimentales, obtenidos a partir de una variedad de técnicas confiables de laboratorio.

Se ha puesto un cierto interés en presentar y seleccionar todos los datos de viscosidades experimentales, dentro de un rango de temperaturas relativamente bajas hasta aquéllas en las cuales algunos gases empiezan a sufrir disociación o bien descomposición térmica.

Teniendo así la información requerida se procede a analizar las generalidades y principios de algunos modelos matemáticos, ya propuestos por varios autores, para la predicción de las viscosidades. Dichos modelos de predicción se correlacionan en un programa de computación, el cual es alimentado a la computadora Burroughs, que se encuentra en el Centro de Servicios de Computo de Ciudad Universitaria.

Una vez que es hecha la exposición de los diferentes modelos y se analizaron los méritos y deméritos que cada autor presenta en sus respectivos modelos, se procede al planteamiento de aquéllas bases que conducen a obtener un nuevo modelo general para la predicción de viscosidades.

Dicho planteamiento también se hace en base al desarrollo de un programa de computación, el cual permite correlacionar un cierto número de gases, y a partir de ésto obtener tres constantes que ajusten el modelo en cuestión, observando como varían dítes

chas constantes en función del factor acéntrico. Se analiza el comportamiento del modelo tanto para gases no polares como para polares.

Como paso siguiente se desarrolla un nuevo programa de computación, en el cual se usan datos experimentales, para que explique e interprete como se comportaría un modelo de predicción de viscosidades de mezclas gaseosas, tambien referidas a bajas densidades, el cual se desarrollará en función de las mismas variables que se usaron en el modelo general para gases puros.

En todos los casos y específicamente para cada gas, se hará un análisis de los resultados obtenidos y en función de este análisis se sacaran las conclusiones.

Todos los datos utilizados, aquéllos que se obtuvieron por medio del uso de la computadora y los que se tomaron de la bibliografía referida, se incluyen en el apéndice de este trabajo.

## C A P I T U L O   I

### G E N E R A L I D A D E S

## CAPITULO I

### G E N E R A L I D A D E S

En todo este trabajo la discusión estará limitada a los fluidos newtonianos<sup>66</sup>, ésto es, aquéllos fluidos en los cuales la viscosidad es independiente ya sea de la magnitud del esfuerzo cortante o del gradiente de velocidad (velocidad de corte). Los fluidos newtonianos incluyen líquidos puros, mezclas, gases puros y mezclas gaseosas. Los fluidos no newtonianos están caracterizados por el hecho de que la viscosidad no es independiente del esfuerzo cortante o velocidad de corte y están agrupados en tres tipos de flujo: pseudoplásticos, dilatantes y plásticos.

Debido a que las bases que se utilizaron para el desarrollo de las correlaciones, que nos llevan a obtener un modelo experimental para la predicción de las viscosidades, se plantearon a partir de la teoría cinética de los gases, empezará este capítulo con la explicación de algunos conceptos básicos de la misma, los cuales son necesarios para poder entender lo que es la viscosidad y cuál es el procedimiento que se sigue para llegar a plantear un modelo de predicción.

## 1.- CONCEPTOS BASICOS DE LA TEORIA CINETICA DE LOS GASES.

Una de las ecuaciones básicas de la teoría cinética de los gases es la ecuación de Clausius<sup>5</sup>, de acuerdo a la cual la presión de un gas esta dada por :

$$P = 2/3(\bar{m} \bar{w}_0^2/2)n \quad (I-1)$$

donde  $P$  es la presión en dinas/cm

$\frac{\bar{m} \bar{w}_0^2}{2}$  es la energía cinética total de las moléculas contenidas en un  $\text{cm}^3$ , en ergs

$m$  es la masa de una molécula, en gramos

$w_0$  es la velocidad molecular, en  $\text{cm}/\text{seg}$

$n$  es el número de moléculas en un  $\text{cm}^3$ .

La ecuación de estado para una mol de un gas perfecto es :

$$PV = RT \quad (I-2)$$

que se puede representar como :

$$PV = N_0 k T$$

donde  $V$  es el volumen ocupado por una mol de el gas, en  $\text{cm}^3$

$N_0$  es el número de moléculas en una mol de el gas, y el cual corresponde al número de Avogadro :

$$N_0 = 6.023 \times 10^{28} \text{ mol}^{-1}$$

$k$  es la constante de Boltzman .-

$$k = \frac{8.31 \times 10^7}{6.02 \times 10^{23}} = 1.38 \times 10^{-16}$$

y  $T$  es la temperatura absoluta en  $^{\circ}\text{K}$ .

A partir de las ecuaciones I-1 y I-2 se puede obtener la ecuación de Boltzman :

$$\left(\overline{m w^2}/2\right) = 2/3 kT \quad (\text{I-3})$$

se puede deducir de esta ecuación que la energía cinética media translacional de las moléculas de un gas, en movimiento al azar, es proporcional a la temperatura absoluta del gas.

También podría decirse que la raíz cuadrada de la velocidad al cuadrado media  $(\overline{w^2})^{1/2}$  de las moléculas es :

$$(\overline{w^2})^{1/2} = (3 kT/m)^{1/2} = (3 kT N_A / M)^{1/2} = (3 RT / M)^{1/2} \quad (\text{I-4})$$

donde  $M$  es el peso molecular, en gramos/mol.

Por ejemplo, para nitrógeno a una temperatura de  $17^{\circ}\text{C}$  la raíz cuadrada de la velocidad al cuadrado media es :

$$(\overline{w^2})^{1/2} = (3 \times 8.31 \times 10^7 \times 290 / 2)^{1/2} = 5 \times 10^4 \text{ cm/seg.}$$

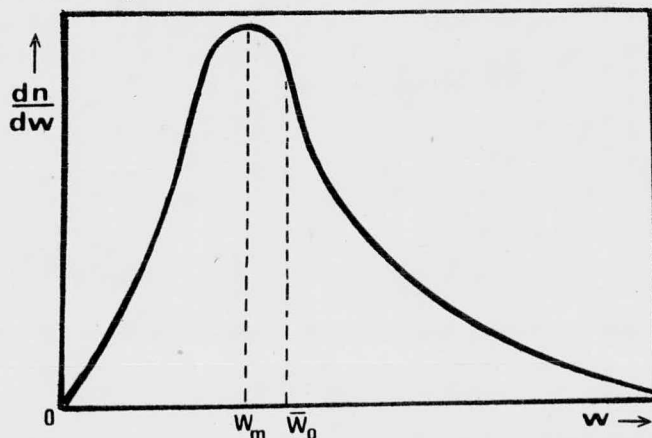
Para el hidrógeno, haciendo el cálculo de manera similar, el valor es mas o menos :  $(\overline{w^2})^{1/2} = 1.8000 \text{ m/seg.}$ . Estos son por supuesto valores promedio.

Las moléculas individuales en un sistema gaseoso están, en cualquier instante, moviéndose todas a diferentes velocidades, - algunas más rápido que otras.

De acuerdo a Maxwell (1860), un sistema conteniendo moléculas con velocidades que caen dentro del rango de  $w_0$  hasta  $w_0 + dw_0$  está dado por :

$$dn = \left( \frac{4}{\pi} \right) \left[ n \left( \frac{w_0^2}{w_m^2} \right) e^{-w_0^2/w_m^2} \right] (dw_0/w_m) \quad (I-5)$$

En dicha ecuación  $w_0$  es el valor más probable de la velocidad de las moléculas en el sistema dado, el cual corresponde al máximo de la curva de Maxwell, ésta nos representa la relación entre  $dn/dw_0$  y  $w_0$ , esto es, entre la variación del número de moléculas con velocidad  $w_0$  y la velocidad misma. La curva de Maxwell se representaría de la siguiente manera :



La velocidad molecular más probable  $w_m$  no es igual a la raíz cuadrada de la velocidad cuadrada media  $(\bar{w}_0^2)^{1/2}$ , sino un po-

co menor :

$$w_m = 2 kT/m = 2 RT/M \quad (I-6)$$

En adición a las velocidades ( $w_m$ ) y ( $\bar{w}_0^2$ )<sup>1/2</sup>, es necesario conocer el valor de la velocidad media aritmética  $\bar{w}_0$  de las moléculas en el sistema :

$$\bar{w}_0 = (8 kT / \pi m)^{1/2} = (8 RT / \pi M)^{1/2} \quad (I-7)$$

Los grandes valores de las raíces de las velocidades cuadradas medias ( $\bar{w}_0^2$ )<sup>1/2</sup>, obtenidas en los ejemplos anteriores, podrían parecer a simple vista que son incompatibles con el hecho conocido de que las velocidades de el proceso de transferencia son comparativamente pequeñas. La razón de esta discrepancia se deduce del hecho de que a presiones normales, las velocidades a las cuales el fenómeno de transporte tiene lugar están limitadas por colisiones intermoleculares.

Aunque cada molécula puede moverse a una considerable velocidad entre dos colisiones sucesivas, a cada colisión cambia su dirección con el resultado de que se mueve en una manera irregular y al azar, algunas veces en una dirección y algunas en otra, y la distancia viajada resultante, medida a lo largo de una línea recta, puede, aún despues de un largo período de tiempo, ser muy pequeña.

La cantidad que caracteriza el movimiento al azar de las mo-

léculas de un gas es la trayectoria libre media, esto es, la distancia promedio que recorre una molécula entre dos sucesivas colisiones. La teoría cinética de los gases produce la siguiente expresión para la trayectoria libre media  $\bar{l}$  de una molécula :

$$\bar{l} = (1/2)^{1/2} \pi \sigma^2 n = 0.707 / n \sigma^2 \pi \quad (I-8)$$

donde  $\sigma$  es el diámetro efectivo de la molécula

$n$  es el número de moléculas por unidad de volumen.

Puesto que la densidad esta dada por  $\rho = m n$ , donde  $m$  es la masa de una molécula y la presión puede escribirse como  $P = n k T$ ; la trayectoria libre media  $\bar{l}$  puede ser tambien expresada en la forma :

$$\bar{l} = m / 2^{0.5} \pi \sigma \rho \quad (I-9)$$

$$P \bar{l} = k T / 2^{0.5} \pi \sigma$$

donde  $k$  es la constante de Boltzman. Es conveniente hacer notar que la trayectoria libre media de una molécula es muy pequeña.

Transformando la ecuación I-8 se encuentra que  $Z^0$ , el número de colisiones moleculares que ocurren por unidad de tiempo en una unidad de volumen, esta dada por la siguiente expresión :

$$Z^0 = (\sqrt{2}/2) (\pi D^2 n^2 w_0) \quad (I-10)$$

Se puede deducir de ésta ecuación que el número de colisiones moléculares, que tienen lugar por unidad de tiempo en un volumen dado, es proporcional al cuadrado del número de moléculas encerradas dentro de este volumen.

En las descripciones anteriores se hace la consideración de que las moléculas son esferas rígidas. En la práctica se puede comprobar que las moléculas tienden a repelerse unas a otras cuando la distancia entre ellas es muy pequeña y tienden a atraerse cuando las separaciones entre las mismas son muy grandes.

Debido a la existencia de las fuerzas de atracción dos moléculas que en ausencia de éstas hubieran seguido trayectorias rectilíneas y no hubiesen chocado, pueden hacerlo puesto que como resultado de su atracción mutua se produce una curvatura en sus trayectorias. El resultado de este fenómeno es que las colisiones intermoleculares ocurren más frecuente de lo que sería esperado sobre la base de consideraciones geométricas y de que la trayectoria libre de las moléculas es más pequeña.

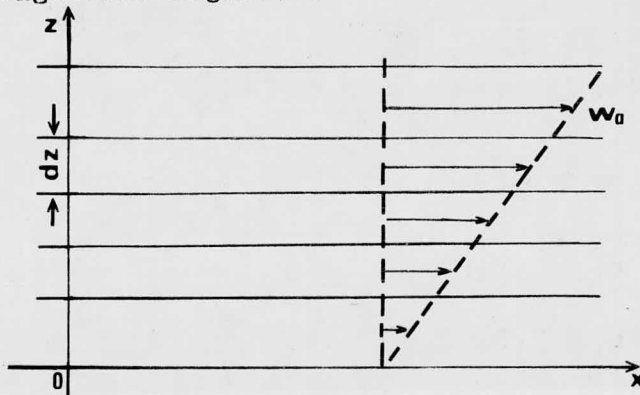
El efecto neto es de esta manera equivalente a un incremento en el diámetro molecular. El efecto es más pronunciado a bajas temperaturas, puesto que la velocidad promedio de las moléculas es entonces comparativamente pequeña y la curvatura produci-

da por las fuerzas de atracción es apreciable.

Todas las ecuaciones presentadas anteriormente fueron derivadas a partir de la teoría cinética de los gases, en su forma elemental, y junto con las consideraciones teóricas anotadas forman una base suficiente para el entendimiento de los mecanismos de transporte.

## I. 2.- FENOMENO DE FRICCION INTERNA EN FLUIDOS .

Para entender el fenómeno de fricción interna en fluidos es conveniente imaginar una serie de capas paralelas muy delgadas, de fluidos moviéndose en la dirección del eje-x (como puede ver se en la siguiente figura)<sup>5</sup>.



En este sistema cada capa sucesiva estará moviéndose ligeramente más rápido que la capa inmediatamente inferior y ligeramente más despacio que la capa superior.

Se puede suponer que el espesor de cada una de las capas es igual a  $dz$ , y que la velocidad de cada capa que excede a la capa inferior está dada por una cantidad

En términos de la figura anterior, se tiene que el gradiante de velocidad es  $dw_0/dz$  y que la velocidad del fluido varía ligeramente a lo largo del eje-z (este eje es perpendicular a la dirección del movimiento del fluido).

Si se aplica una fuerza  $R$  para que actúe a lo largo del eje-x, se incrementará la velocidad de movimiento de las capas superiores y acelerará el movimiento de las capas situadas por debajo, puesto que estas capas tenderán a ser obstaculizadas a todo lo largo por las capas situadas por encima de ellas; las capas más inferiores, por otro lado, tienden a retardar el movimiento de las capas superiores. La magnitud de las fuerzas de interacción entre dos capas adyacentes es proporcional a la magnitud del área de contacto entre ellas.

La tendencia de una capa de fluido para obstaculizar capas adyacentes a lo largo de ella, nos conduce al fenómeno de fricción interna (viscosidad). De acuerdo a Newton :

$$R = - \mu A (d w_0 / d Z) \quad (I-II)$$

Esta ecuación establece que la fuerza  $R$  o fricción interna es proporcional al área  $A$  de contacto entre dos capas, moviéndose cada una de ellas sobre otra, al gradiente de velocidad definido por la relación  $d w_0 / d Z$  y al coeficiente  $\mu$ , este último es muchas veces referido como coeficiente de fricción interna, coeficiente dinámico de viscosidad y algunas veces como viscosidad dinámica o simplemente viscosidad.

El signo negativo en la ecuación I-II indica que las fuer-

zas viscosas actúan en dirección opuesta a la dirección del movimiento del fluido.

Maxwell explicó el fenómeno de fricción interna en términos de la teoría cinética de los gases. De acuerdo a Maxwell el movimiento de las moléculas de un gas, en una capa dada, es obtenida según sea la magnitud de la velocidad de flujo  $w_0$ , la cual está dirigida a lo largo del eje-x en un movimiento al azar y en todas las direcciones. Habrá entonces moléculas moviéndose hacia atrás y hacia adelante a lo largo del eje-z (perpendicular a la línea de flujo), si bien no existe flujo neto en esta dirección.

Debido a esos movimientos al azar las moléculas estarán pasando continuamente desde cualquier capa dada a aquélla que se esté moviendo menos rápido, la cual está situada por debajo de ella.

En promedio el momentum de esas moléculas, medido a lo largo de la dirección de flujo, es más grande que el de las moléculas de la capa inferior. Cuando aquellas moléculas sufren una colisión con las que se encuentran en la capa más lenta, les transfieren su exceso de momentum a estas últimas de tal manera que tienden a acelerar la capa donde se encuentran éstas. Inversamente, moléculas que se mueven hacia arriba desde las capas inferiores a las capas superiores tienden a retardar el movimiento de éstas a lo largo del eje-x.

El resultado neto del movimiento al azar de las moléculas - es el de retardar a las más rápidas que fluyen hacia la capa superior y acelerar las más lentas que se están moviendo hacia la capa inferior, como si una fuerza friccionante existiera entre - las dos capas de fluido y estuviera moviéndose una sobre cada -- otra.

Las moléculas que salen de las capas superiores en una dirección hacia abajo tienen un componente  $x$ , comparativamente -- grande, de velocidad, el cual es convertido en la capa más inferior en un movimiento al azar de las moléculas, teniéndose como resultado que parte de la energía de flujo es convertida en energía térmica.

Se puede deducir de la ecuación I-<sup>II</sup> , que la viscosidad es numéricamente igual a la fuerza que actúa, por unidad de área de contacto, entre dos capas moviéndose cada una sobre la otra cuan do el gradiente de velocidad es la unidad.

Puesto que la relación que existe entre la fuerza que actúa tangencialmente a la superficie y la magnitud del área de superficie tiene el carácter de un esfuerzo cortante, la viscosidad - puede ser definida como el esfuerzo cortante por unidad de gra- diente de velocidad.

En el sistema c.g.s. las unidades de la viscosidad son :

$$(g \cdot cm/seg)(cm)/(cm \cdot cm/seg) = g / cm \cdot seg$$

Debido a que dicha unidad, llamada poise (simbolo P), es demasiado grande, por conveniencia y práctica la viscosidad es usualmente expresada en unidades más pequeñas tales como : centipoise (cP), milipoise (mP), o micropoise (MP). Los siguientes factores de conversión se pueden aplicar a la conversión de las unidades de la viscosidad :

$$\begin{aligned}1 \text{ Poise} &= 1.000 \times 10 \text{ cP} \\&= 1.000 \times 10^6 \text{ MP} \\&= 6.72 \times 10^{-1} \text{ lb masa/ft seg} \\&= 242.00 \text{ lb masa/ft hr} \\&= 2.09 \times 10^{-3} \text{ lb fuerza-seg/ft} \\&= 360.00 \text{ Kg masa/m hr}\end{aligned}$$

Como resumen se puede decir que la ecuación que ilustra perfectamente el mecanismo de transporte de momentum es la ley de Newton para la viscosidad<sup>4</sup>, y que está dada por :

$$\mu = (1/3) (n m \bar{w}_0) = (1/3) \rho w_0 \quad (\text{I-12})$$

la notación para esta ecuación es la misma que la de las ecuaciones anteriores, y dicha ecuación fue desarrollada por Maxwell en el año de 1860.

Consideraciones simplificadas y basadas sobre la teoría cine

tica de los gases, a partir de las ecuaciones I-7, I-8, y I-12  
conducen a la ecuación para la viscosidad de un gas:

$$\mu = \left[ \frac{2}{3} \pi^{3/2} \right] \left[ \frac{mkT^{1/2}}{\sigma^2} \right]$$

la cual representa una expresión cualitativamente correcta para  
la viscosidad de un gas, compuesto de esferas rígidas, a bajas -  
densidades<sup>4</sup>.

C A P I T U L O    II

"MODELOS YA PROPUESTOS PARA LA PREDICCION DE VISCOSIDADES"

## C A P I T U L O II

### "MODELOS YA PROPUESTOS PARA LA PREDICCION DE VISCOSIDADES"

#### II. 1.- ANTECEDENTES :

Las viscosidades a bajas densidades, para un gran número de gases puros, son presentadas en una variedad de referencias. -- Cuando no se encuentran disponibles datos de viscosidades experimentales o bien no se pueden obtener de esa manera , se pueden obtener a partir de métodos empiricos, haciendo uso de otros datos sobre la sustancia dada<sup>33</sup>.

Esos metodos empiricos están dados por relaciones y/o modelos matemáticos, desarrollados por diferentes investigadores, basándose en la teoría cinética de los gases y auxiliándose de la mecánica estadística y de aproximaciones empiricas.

La teoría cinética de gases a bajas densidades fué propuesta en el año de 1880 por Boltzman. En el año de 1911, Enskong publicó dos artículos relacionados con un gas simple y una mezcla.

En 1913, Chapman determinó el coeficiente de viscosidad para un gas Maxwelliano, cosa que generalizó en 1917. En ese mismo año Enskong determinó  $\sigma$  de la ecuación integrodiferencial de -

Boltzman, siendo este una modificación del propuesto por Hilbert en el año de 1912. Enskong y Chapman resolvieron la ecuación integrodiferencial mediante la introducción de los polinomios de Sonin.

En el trabajo de Chapman-Enskong se considera que las moléculas pueden ser representadas por esferas rígidas, simétricamente iguales y rodeadas por un campo de fuerzas de atracción<sup>28</sup>. Es a partir de dicho trabajo que se han obtenido expresiones para los coeficientes de transporte, en términos de la energía potencial de interacción entre un par de moléculas en el gas. Esta energía potencial  $\Psi$  está relacionada con la fuerza de interacción  $F$  por medio de la expresión :

$$F = - d\Psi / dr \quad (\text{II-1})$$

en la cual  $r$  es la distancia entre las moléculas.

La forma funcional exacta de  $\Psi(r)$  no es conocida. Afortunadamente, considerables investigadores<sup>33</sup> han demostrado que una buena función del potencial de energía es el potencial de Lennard-Jones :

$$\Psi(r) = 4\epsilon \left[ \left( \frac{\sigma}{r} \right)^{12} - \left( \frac{\sigma}{r} \right)^6 \right] \quad (\text{II-2})$$

donde  $\sigma$  es el diámetro característico de la molécula (diámetro de colisión)

$\epsilon$  es la energía característica de interacción entre las

moléculas (la energía maxima de atracción entre un par de moléculas).

De acuerdo a este modelo, la energía de atracción es proporcional al inverso de la sexta potencia de la separación molecular y la repulsión es proporcional al inverso de la decimo segunda potencia.

Cuando los valores de  $\sigma$  y  $\epsilon$  no son conocidos se puede estimar, a partir de las propiedades del fluido referidas a su punto crítico, por medio de relaciones empíricas<sup>4</sup>, tales como:

$$\epsilon/k = 0.77 T_c \quad ; \quad \sigma = 0.841 V_c^{1/3}$$

en las cuales  $\epsilon/k$  y  $T_c$  están en °K,  $\sigma$  está en angstroms,  $V_c$  está en  $\text{cm}^3 \text{ g-mole}^{-1}$  y  $P_c$  está en atmósferas.

Se ha demostrado que la ecuación de Lennard-Jones es ampliamente útil para determinar las propiedades de transporte de varios gases que estén compuestos por moléculas no polares.

La energía de interacción entre dos moléculas polares es usualmente representada por el potencial de Stockmayer<sup>59</sup>, el cual puede ser escrito de la siguiente forma:

$$\Psi(r) = 4 \left[ (\sigma/r)^{12} - (\sigma/r)^6 - A (\sigma/r)^3 \right] \quad (\text{II-3})$$

$$A = (\mu_1^2 / 4 \epsilon \sigma^3) g(\theta_1 \theta_2 \phi) = \frac{1}{4} \mu_1^2 g(\theta_1 \theta_2 \phi)$$

$$g(\theta_1 \theta_2 \phi) = 2 \cos \theta_1 \cos \theta_2 - \sin \theta_1 \sin \theta_2 \cos \phi$$

donde  $\mu_1$  es el momento dipolo de las moléculas que estan inter-  
accionando.

$\theta_1$ ,  $\theta_2$  son los ángulos de inclinación de los dipolos a la lí  
nea que está uniendo a las moléculas.

Para cuando  $\mu_1 \rightarrow 0$  la ecuación II-3 se reduce al conocido potencial de Lennard-Jones para moléculas no polares<sup>18</sup>.

Para entender lo que es el momento dipolo se hara la siguien  
te notación: considerese una partícula teniendo dos cargas eléc-  
tricas de la misma magnitud  $e$  pero de signo opuesto, colocadas  
a una distancia  $\ell$  de separación. Tal partícula tiene un par e-  
léctrico o momento dipolo permanente  $\mu_1$ , definido por.-

$$\mu_1 = e\ell$$

Moléculas asimétricas poseen dipolos permanentes, los cuales resultan debido a una irregular distribución espacial de las cargas electrónicas alrededor del núcleo cargado positivamente. Moléculas simétricas, como argon o metano, tienen un momento dipolo de cero y esas moléculas que tienen muy poca asimetría generalmente tienen momentos dipolos pequeños<sup>64</sup>.

## II. 2.- MODELOS DE PREDICCIÓN YA PROPUESTOS PARA GASES NO POLARES.

Los métodos más confiables para estimar la viscosidad de un gas a bajas densidades, en la ausencia de datos experimentales, se desarrollaran a continuación :

A.- De acuerdo a Hirschfelder, Bird y Spots<sup>33</sup> el valor de la viscosidad para un gas no polar a bajas densidades es dado por la siguiente ecuación:

$$\mu \times 10^7 = 226.93 M T^{0.5} / \sigma^2 \Omega^{2.2} \quad (\text{II-4})$$

donde  $\mu$  es la viscosidad dentro del rango en el cual no depende de la presión, g/cm seg.

$M$  es el peso molecular, g/mole.

$T$  es la temperatura, °K

$\sigma$  es un diámetro característico de la molécula (diámetro de colisión), en angströns.

$\Omega^{2.2}$  es una función de la variable adimensional  $T^* = kT/\epsilon$ , y valores numéricos de esta función estan anotados en la tabla vi del apéndice B.

Estos autores calcularon las integrales de colisión empleando el modelo del potencial de Lennard-Jones y ajustaron parámetros de fuerza para los datos experimentales de viscosidad. En este --

método se encuentra buena exactitud y confiabilidad para gases no polares cuando se conoce  $\sigma$  y  $\epsilon$ . Solo presenta cuestionable seguridad cuando dicha ecuación se aplica a gases para los cuales tales datos no se encuentran disponibles.

B.- Bromley y Wilke<sup>5</sup>, basandose en la ecuación II-4 a la cual hacen modificaciones, presentan su modelo en la siguiente forma :

$$\mu = \text{CONSTANT} \times f_1(kT/\epsilon) \quad (\text{II-5})$$

para un gas dado la constante en la ecuación II-5 esta dada por :

$$\text{CONSTANT} = 5/16 \sigma (M\epsilon/N\pi)$$

y la función  $f_1$  (tabla VII del apendice B) esta relacionada a la integral de colisión  $\Omega^{22}$ , por medio de la relación :

$$f_1(kT/\epsilon) = (1/\Omega^{22}) (kT/\epsilon)^{1/2}$$

Bromley y Wilke reescribieron su ecuación en términos de la temperatura reducida y los parametros críticos. Estos autores obtuvieron su ecuación por la sustitución de valores aproximados de las constantes de fuerza, como :

$$f_1(kT/\epsilon) \approx f_1(1.33Tr)$$

donde  $Tr$  es la temperatura reducida. En la tabla VII del apéndice B se muestra esta dependencia en base a  $kT/\epsilon \approx 1.33Tr = T^*$

Como resultado de esas sustituciones, se obtiene su ecuación para gases no polares :

$$\mu = 0.00333 (M T_c)^{1/2} V_c^{-2/3} f_1 (1.33) T_r \quad (\text{II-6})$$

donde  $M$  es el peso molecular, g/mole.

$T_c$  es la temperatura crítica, °K.

$T_r$  es la temperatura reducida,

$V_c$  es el volumen crítico,  $\text{cm}^3/\text{g mole}$ .

La ecuación anterior puede ser aplicada sobre un amplio rango de temperaturas y el error promedio de las estimaciones llevadas a cabo por medio de la misma es del orden del 4.5 %.

C.- Scheibel<sup>5</sup> ha propuesto una forma explícita para la función  $f_1(T^*)$ , la cual tiene lugar en la ecuación II-6. En la cual demuestra que a temperaturas reducidas,  $T_r$ , más grandes que 0.3 esta función puede ser calculada con suficiente seguridad a partir de la ecuación:

$$f_1(kT/\epsilon) = 1.58 T_r^{0.645} - \frac{0.261}{(1.9 T_r)^{0.9} \log(1.9 T_r)} \quad (\text{II-7})$$

si se sustituye esta en la ecuación II-5 se obtiene su ecuación para gases no polares :

$$\mu = 32.5 T_r^{0.645} \frac{M T_c^{0.5}}{V_c^{0.667}} - \frac{8.7}{(1.9 T_r)^{0.9} \log(1.9 T_r)} \quad (\text{II-8})$$

La seguridad de las estimaciones llevadas a cabo por medio de la última ecuación es del mismo orden que la de la ecuación II-5 , y el error promedio viene a ser del 4.4 %.

D.- Licht y Stechert<sup>5,71</sup> fundamentan su modelo a partir de la ecuación de Sutherland, de tal manera que ellos escriben :

$$\mu / \mu_c = (1 + S_r / T_r + S_r) T_r^{3/2} \quad \text{II-9}$$

donde  $\mu_c$  es la viscosidad a la temperatura crítica, pero bajo la presión de una atmósfera;  $S_r$  representa la relación  $S / T_c$  donde  $S$  es la constante de Sutherland.

Para una variedad de gases (excepto para hidrógeno y helio) Licht y Stechert encontraron que  $S_r$  tiene valores entre el rango de 0.6 y 1.0 , y que la relación  $\mu / \mu_c$  es del todo insensible a esa variación en  $S_r$ . Ellos encontraron además que  $\mu_c$  podría -- ser expresada aproximadamente por :

$$\mu_c = (3.5 \times 10^{-4}) M^{1/2} P_c^{2/3} T_c^{-1/6} \quad \text{II-10}$$

donde  $\mu_c$  esta en centipoises y  $P_c$  representa la presión crítica en atmósferas. Tomando para  $S_r$  un valor promedio de 0.8 y combinando las ecuaciones II-9 y II-10 , estos autores obtuvieron :

$$\mu = 0.000630 (M^{1/3} P_c^{2/3} / T_c^{-1/6}) (T_r^{3/2} / T_r + 0.8)$$

II-11

En esa ecuación la notación es la misma que en las anteriores y presenta un error promedio del 4.7 %. Se podrá notar que la ecuación hace posible el cálculo de la viscosidad de un gas partiendo solamente del conocimiento de sus parámetros críticos; es en esto en lo que se asemeja a la ecuación de Bromley Wilke<sup>66</sup>.

E.- Falkovskii .- Asumiendo que la densidad de un gas es proporcional a su peso molecular M, que la velocidad molecular es inversamente proporcional a M, que la trayectoria libre media está relacionada con el diámetro de la molécula por la ecuación I-8 , y que el diámetro molecular puede ser reducido a partir de sus constantes críticas, usando la ecuación de Van der Waals, Falkovskii estableció :

$$\mu = 1286 \times 10^{-4} M^{1/2} P_c^{2/3} T_r \quad (\text{II-12})$$

La formula presentada por Falkovskii es más simple que las discutidas anteriormente y es casi tan exacta como ellas. Presenta un error promedio del 5.0 %

F.- L. Stiel y G. Thodos<sup>71</sup>. Para gases puros a bajas densidades, Stiel y Thodos, utilizando un análisis dimensional, demuestran que la viscosidad es una función única de la temperatura reducida, Tr, y los parámetros  $\xi$  y  $Z_c$  , de la siguiente manera :

$$\mu (T_c^{1/6} / M^{1/2} P_c^{2/3}) = \beta Z_c^m T_r^n$$

donde  $Z_c$  está dada por:  $Z_c = P_c V_c / R T_c$ . Por conveniencia el grupo  $T_c^{1/6} / M^{0.5} P_c^{2/3}$  se refiere como  $\xi$ . Este grupo es una constante característica para cada gas y es el mismo grupo sugerido por Kamerlingh Onnes y después utilizado por Licht y Stechert.

Stiel y Thodod al hacer su análisis dimensional encuentran que la viscosidad,  $\mu$ , es una función no solo de la temperatura reducida, sino también de  $Z_c$ . Sin embargo al comparar las viscosidades de varios gases no polares, encuentran que  $\mu \xi$  es independiente de  $Z_c$  y que este producto es una función de la temperatura reducida solamente.

Con la excepción del hidrógeno y el helio, su estudio basado en cincuenta gases incluyendo gases monoatómicos, diatómicos y poliatómicos producen una simple relación, la cual puede ser expresada como ecuación en la forma siguiente:

Para cuando se tiene  $Tr \leq 1.5$ :

$$\mu \xi = 34.0 \times 10^{-5} Tr^{0.94} \quad (\text{II-13})$$

y cuando se tiene  $Tr > 1.5$  la viscosidad se expresa como:

$$\mu \xi = 17.78 \times 10^{-5} (4.58 Tr - 1.67)^{5/8}$$

Como ya se dijo esas ecuaciones son aplicables para todos los gases no polares a bajas densidades con la excepción del hi-

drogeno y helio. La conducta anormal de estos dos gases resulta a partir de sus significantes desviaciones cuánticas<sup>53</sup>.

El modelo de Stiel y Thodos presenta una desviación promedio del 1.8 %.

### III. 3.- MODELOS DE PREDICCIÓN YA PROPUESTOS PARA GASES POLARES.

Son pocas las correlaciones que se han establecido para el coeficiente de  $\mu$  de gases polares, ya que es un poco difícil establecer parámetros que nos indiquen el efecto de la polaridad de las moléculas del gas<sup>35</sup>. Además, muchas moléculas polares forman uniones de hidrógeno, y para tales moléculas la magnitud y localización del momento dipolo no son suficientes para indicar su carácter polar<sup>77</sup>.

A .- La ecuación de Licht y Stechert desarrollada en 1944, que en la sección anterior ya se anoto (ec. II-11), da buenos resultados para gases ligeramente polares a temperaturas moderadas, pero para otros varios gases polares los resultados son pobres - particularmente aquéllos que exhiben uniones de hidrógeno, tales como agua, amoniaco y alcoholes<sup>72</sup>.

B .- Las ecuaciones de: Hirschfelder, Bird y Spots (ec. II-4), Scheibel (ec. II-8) y Falkovskii (ec. II-12), como ya también se indicó en la sección anterior, fueron derivadas para moléculas que no poseían polaridad, sin embargo esas ecuaciones han sido aplicadas con un cierto grado de exactitud a gases ligeramente polares, pero fallan cuando se quieren obtener viscosidades para gases altamente polares.

C .- Bromley y Wilke, usando las relaciones aproximadas de  $\epsilon/k = 0.75 T_c$  y  $\sigma = 0.833 V_c^{1/3}$ , modificaron la ecuación II-4 para obtener la siguiente relación para predecir viscosidades de gases a presiones moderadas y la cual es aplicable a gases polares :

$$\mu = 0.000423 M^{0.5} P_c^{2/3} T^{-1/6} ; f_1 (1.33 T_r) \quad (II-14)$$

la notación en esta ecuación es la misma que la de las ecuaciones enumeradas anteriormente y el error promedio<sup>5</sup> que presenta es del orden del 4.5 %, aunque en algunos casos llega hasta el 15 % .

Monchick y Mason<sup>59</sup> recientemente han calculado integrales de colisión para la aplicación de la ecuación de Hirschfelder, Bird y Spots (ec. II-4) a todos los gases polares, utilizando un potencial más realista. Las integrales de colisión fueron calculadas a partir del potencial de Stockmayer (ec. II-3) y fueron promediadas en base a todas las orientaciones posibles, asumiendo que todos los valores de  $g(\theta, \phi)$  fueran igualmente posibles.

La integral de colisión resultante se encontró nuevamente que es función de la temperatura normalizada y del módulo dipolo reducido,  $\sigma$ , siendo  $\sigma = \mu^2 / 2 \sigma^2 \epsilon$

Monchick y Mason concluyen que el uso del potencial de Stockmayer para gases polares da tan buenos resultados para ga-

ses polares como el uso del potencial de Lennard-Jones lo da para gases no polares<sup>72</sup>.

Sin embargo ellos indican que su aproximación no es aplicable a gases que exhiben uniones de hidrógeno, tales como agua y amoníaco, esto ha sido una desventaja que requiere a la vez: datos confiables de viscosidad para establecer las constantes de fuerza  $\epsilon/k$  y  $\sigma$ , y un valor confiable del momento dipolo, antes de que la viscosidad de un gas polar sea calculada.

D .- Stiel y Thodos<sup>72</sup> también establecen una relación para gases polares, para lo cual basan su trabajo en las consideraciones de Monchick y Mason, además consideran que las variables que influyen en las viscosidades de estos gases son : la temperatura, peso molecular, las constantes críticas y las propiedades eléctricas de la molécula.

Si se considera que la interacción dipolo-dipolo es la fuerza electrostática dominante entre las moléculas y que el efecto de las propiedades electricas restantes, tales como el momento cuadrupolo y la polaridad, se refleja en las constantes críticas, entonces el momento dipolo puede ser usado como la única variable que representa las propiedades eléctricas.

Sin embargo, puesto que el momento dipolo no es verdaderamente representativo de todas las fuerzas intermoleculares, tales como las uniones de hidrógeno, además de que es dependiente

de la temperatura, Stiel y Thodos creen conveniente utilizar en su lugar una variable diferente, la cual sea más representativa de la verdadera naturaleza electrostática de las moléculas y para la cual ya existen datos confiables.

Bird y Brock indican que varias correlaciones han recibido considerable interés en los últimos tiempos, en las cuales el factor de compresibilidad crítico es utilizado en el lugar de las propiedades eléctricas del gas.

En vista de esas consideraciones Stiel y Thodos establecen que  $Z_c$  es una variable muy apropiada, en la cual las contribuciones electrostáticas se reflejan. Estos investigadores aplican un análisis dimensional a sus variables y así encuentran la relación :

$$\mu \xi = \beta Z_c^m Tr^n \quad (\text{II-15})$$

donde  $Z_c = P_c V_c / R T_c$  y  $\xi = T_c^{1/6} / M^{0.5} P_c^{2/3}$ . El grupo  $\xi$  es una constante característica para cada gas.

Stiel y Thodos usando datos experimentales, de treinta y tres gases polares, establecen la dependencia del parámetro de viscosidad sobre  $Z_c$  y  $Tr$ . En un anterior estudio<sup>71</sup>, para gases no polares, ellos encontraron que el parámetro de viscosidad es independiente de  $Z_c$ , sin embargo cuando el parámetro de viscosidad se graficó contra la temperatura reducida la curva resultante muestra que para gases polares si es dependiente de  $Z_c$ .

Para determinar el exponente de  $Z_c$ , en la ecuación II-15 se graficaron valores de  $Z_c$  contra valores de  $Tr = 0.6, 0.8, y 1.0$ ; en la grafica obtenida se observo que el exponente de  $Z_c$  fue el mismo para todos aquellos gases que exhiben fuertes uniones de hidrógeno, y este exponente se estableció que es  $-5/4$ . Similarmente se determinó que para todos los gases polares restantes el exponente de  $Z_c$  es aproximadamente  $-2/3$ .

Para establecer la dependencia de  $\mu \xi$  sobre  $Tr$ , para los gases que exhiben uniones de hidrógeno, se graficaron valores de  $(\mu E) Z_c^{5/4}$  contra valores de  $Tr$  y como resultado se obtiene una sola curva; Stiel y Thodos representan ésta, para  $Tr \leq 2.0$ , por medio de la siguiente relación :

$$\mu E Z_c^{5/4} = [755 Tr - 055] \times 10^{-5} \quad (\text{II-16})$$

Aunque la curva resultante, de la grafica, podría extenderse hasta  $Tr = 3.0$ , la ecuación II-16 ha sido restringida a temperaturas reducidas de  $Tr \leq 2.0$ , ya que para altas temperaturas solo se dispone de datos experimentales del agua y los efectos de la ionización sobre la viscosidad de los gases, a esas temperaturas altas, no es conocida aún<sup>72</sup>.

Para los demás gases polares, el producto  $(\mu E) Z_c^{5/4}$  fué graficado contra la temperatura reducida; nuevamente se obtuvo una sola curva. La relación que representa a la curva obtenida se

expresa analiticamente como :

$$\mu \xi z c^{2/3} = (1.90 Tr - 0.29)^{4/5} \times 10^4 \quad (\text{II-17})$$

puesto que  $\xi = Tc^{1/6} / M^{0.5} P c^{2/3}$ , si se substituye este valor en - la ecuación II-17 , ésta nos queda de la siguiente forma:

$$\mu = 188.8 \times 10^5 \left[ (M Tc)^{1/2} / V c^{2/3} \right] [1.90 Tr - 0.29]^{4/5} \quad (\text{II-18})$$

la notación es la misma que en las ecuaciones anteriores. La desviación promedio<sup>5</sup> a partir de los valores determinados experimentalmente son 1.5 y 2.6 % para las ecuaciones ( II - 17 ) y ( II - 18 ) respectivamente.

En las secciones del presente capítulo se hizo un análisis breve de los modelos de predicción de viscosidades que presentan diferentes autores. Una cosa importante que se podrá observar en esos planteamientos es la discrepancia que existe cuando se hace la presentación del porciento de desviación de las viscosidades calculadas en comparación con las experimentales.

Se puede decir que dichas discrepancias son originadas, en principio, por las diferentes variables que utiliza cada autor. Sin embargo, visto lo anterior de una manera más general se observara que las discrepancias se deben a que esos porcentajes de desviación están en base a las viscosidades de un cierto número de gases, los cuales algunas veces son diferentes para cada autor. Además de que no todos los autores definen sus límites de operación y comparación dentro del mismo rango.

Para poder tener una visión más amplia y concreta del comportamiento de los modelos presentados anteriormente, como objetivo de este capítulo, se hará una comparación de las viscosidades calculadas por medio de aquéllos con las viscosidades experimentales referidas en la literatura. Estas últimas se encuentran dentro de una gran variedad de rangos de presión y temperatura.

Dentro de toda esa variedad de datos experimentales, solo se tomarán en cuenta los referidos a bajas densidades.

Lo anterior como resultado de que el mejor ajuste de viscosidades se obtiene a bajas densidades y a que se ha demostrado experimentalmente que las isotermas de viscosidad graficadas contra la densidad son casi curvas paralelas, cuya distancia que las separa depende de la temperatura solamente<sup>35</sup>.

Dicho de otra manera, si la viscosidad es graficada contra la densidad, las isotermas a diferentes temperaturas no se interceptan y la variación  $(\partial\mu/\partial T)_Q$  permanecerá prácticamente constante sobre el rango total de densidades<sup>76</sup>.

Es así que las mediciones de viscosidades, hechas por varios grupos independientes de autores utilizando una variedad de técnicas, permiten seleccionar las viscosidades experimentales dentro de rangos homogéneos. Además, debido a que las fuentes de error en los valores de la viscosidad han sido ocasionados principalmente por las diferencias de presión, para poder tener una satisfacción general en dicha selección se tomara como referencia un rango de presión promedio de una atmósfera y un rango de temperaturas que va desde los 80 °K hasta los 2 000 °K .

Es importante hacer notar que el rango de temperaturas no es cubierto por todos los gases seleccionados, ya que este caso es determinado por el número de datos experimentales que presenta cada gas.

Los datos de viscosidad seleccionados corresponden a una variedad de gases, los cuales se pueden agrupar en: simples, complejos, inertes, diatómicos, alcoholes, hidrocarburos, incluyendo los normales hasta nonano, isoparafinas, olefinas, acetilenos, aromáticos y acetona.

En la literatura original esos datos fueron medidos usando una variedad de técnicas, las más comunes de ellas son: el método del flujo capilar y el método del disco oscilante. Otras técnicas que han sido usadas con menos extensión son: el método del cilindro rotatorio y el método de observación de un cuerpo a partir de la caída libre, comúnmente de una gota de aceite a través del gas.

Para el interesado los aparatos y procedimientos experimentales de dichas mediciones están descritos en detalle en la bibliografía citada en este trabajo.

Aunque los datos experimentales de viscosidad se tomaron de los aportados por las diferentes técnicas enumeradas anteriormente, no hay razón para suponer que no son seguras y es razonable esperar que los resultados de los investigadores en diferentes laboratorios, usando una variedad de métodos, concuerden dentro de sus límites<sup>54</sup>.

Los gases seleccionados son 56 : siendo 44 no polares y - los 12 restantes polares, todos ellos junto con su fuente de re-

ferencia se encuentran listados en la tabla I del apéndice B.

Una vez que se tienen los instrumentos necesarios para poder realizar el cálculo de viscosidades, se procede a realizar un programa de computación en el que se incluyen todos los modelos propuestos ya presentados para la predicción de viscosidades, obteniéndose de esa manera valores de viscosidad para cada dato de temperatura.

Para tener una base de comparación de los datos obtenidos se calcula, también para cada dato de temperatura, un porcentaje de error de la viscosidad calculada, siempre referido a la viscosidad experimental. Se puede decir que por medio del porcentaje de error se tiene una idea de cual es el rango de las viscosidades calculadas en su variación respecto a la experimental. Este cálculo se hace para cada dato de temperatura que presente cadas y para cada uno de los 56 que se están considerando, el resultado de todos estos cálculos se encuentran presentados en una tabla general, la cual se encuentra al final del capítulo III .

El cálculo del porcentaje de error se hace a partir de la ecuación que presentan Reid y Sheerwood<sup>66</sup> y su desarrollo de cálculo se encuentra en la tabla III del apéndice B.

### C A P I T U L O    III

" DESARROLLO Y RESULTADOS DE EL NUEVO MODELO PROPUESTO PARA LA  
PREDICCION DE VISCOSIDADES DE GASES A BAJAS DENSIDADES "

## C A P I T U L O    III

### " DESARROLLO Y RESULTADOS DEL NUEVO MODELO PROPUESTO PARA LA PREDICCIÓN DE VISCOSIDADES DE GASES A BAJAS DENSIDADES "

Es muy necesario, como se puede comprobar a partir de los resultados obtenidos en el capítulo anterior, disponer de un modelo de predicción de viscosidades que absorba, lo mejor posible las discrepancias que presentan los modelos anteriores, con la condición de que dicho modelo sea general, debido a la gran variedad de datos que se están manejando, que sea sencillo, pero que presente buena exactitud en los resultados que se obtengan por medio de él.

#### III. 1.- DESARROLLO DEL MODELO DE PREDICCIÓN.

El trabajo de Chapman-Enskong para la viscosidad de gases a bajas densidades ha sido comparado extensivamente en una variedad de experimentos. Tales comparaciones involucran no solo la teoría de la mecánica estadística , sino también el potencial intermolecular para el sistema. El modelo simple de la interacción entre esferas rígidas produce esencialmente la correcta dependencia de la temperatura sobre la viscosidad a bajas densi-

dades, a moderadas y grandes temperaturas reducidas. La razon es clara: la transferencia de momentum efectivo en una colisión binaria ocurre en un gran ángulo disperso, el cual a tales temperaturas involucra predominantemente las fuerzas repulsivas de la -molécula<sup>49</sup>.

Una forma muy representativa de tales interacciones lo presenta el potencial de Lennard-Jones (12-6), que es un gran avance en el modelo de la esfera rígida.

Debido a que algunos autores sugieren que la viscosidad de los gases inertes sigue el principio de los estados correspondientes<sup>68</sup>, se revisarán algunas notas de este principio para sentar las bases que hagan posible extenderlo a gases más complejos y de ahí partir al establecimiento de el modelo de predicción general.

La teoría clásica (o macroscópica) de los estados correspondientes fué derivada por Van der Waals, sobre su bien conocida -ecuación de estado. Se ha demostrado, sin embargo, que dicha derivación no esta estrictamente ligada a ecuaciones particulares, sino que puede ser aplicada a cualquier ecuación de estado conteniendo dos constantes arbitrarias en adición a la constante de los gases  $R$ <sup>64</sup>.

A partir del principio de continuidad para la fase gaseosa, Van der Waals demostró que en el punto crítico existe la rela---

ción :

$$(\delta P / \delta V)_T = (\delta^2 P / \delta V^2) = 0 \quad (\text{III-1})$$

Esa relación condujo a Van der Waals a establecer que para las variables, V (volumen), T (temperatura), y P (presión), existe una función universal  $f$  tal que:

$$f(V/V_c, T/T_c, P/P_c) = 0 \quad (\text{III-2})$$

La relación anterior conduce directamente al teorema de los estados correspondientes, el cual forma la base de muchas correlaciones en las que las propiedades termodinámicas o de transporte reducidas se relacionan a la temperatura y presión reducidas.

La teoría clásica de los estados correspondientes esta basada sobre propiedades matemáticas de la ecuación de estado macroscópica. En cambio la teoría molecular (microscópica) de los estados correspondientes se basa sobre propiedades matemáticas de la función energía potencial.<sup>73</sup>

La variable independiente en esa función potencial viene a serlo la distancia entre las moléculas. Cuando dicha variable se hace adimensional, la función potencial puede reescribirse en una forma general, de tal manera que el potencial, adimensional, es una función universal ( $f$ ) de la distancia de separación,-

adimensional, entre las moléculas:

$$\Psi / \epsilon_i = f(r / \sigma_i) \quad (\text{III-3})$$

donde  $\epsilon_i$  es un parámetro de energía y  $\sigma_i$  es un parámetro de distancia característico de la interacción entre dos moléculas - de especie

Respecto a la ecuación III-3 se puede decir que, si las moléculas interaccionan con un potencial esfericamente simétrico (dos parámetros), si los grados de libertad internos de las moléculas no contribuyen al transporte de momentum y energía, y si el movimiento de traslación de las moléculas puede ser descrito a partir de la mecánica clásica, las propiedades de transporte en su forma adimensional serán una función universal de las variables de estado reducidas<sup>30</sup>.

La ecuación III-3 expresa la teoría microscópica de los estados correspondientes, la cual es análoga a la teoría macroscópica de los estados correspondientes, expresada por la ecuación -- III-2 . Para relacionar numéricamente las dos teorías anteriores, es deseable establecer una conexión entre los parámetros de una teoría y los de la otra.

En la teoría microscópica existen dos parámetros independientes, un parámetro de energía y un parámetro de distancia. En la teoría macroscópica existen tres:  $V_c$ ,  $T_c$ , y  $P_c$ , pero solamente - dos de éstos son independientes, puesto que, de acuerdo a la teo-

ría, el factor de compresibilidad en el punto crítico es el mismo para todos los fluidos, y es una función única de la temperatura reducida y presión reducida.

Puesto que la temperatura crítica es una medición de la energía cinética del fluido a un estado característico, es de esperarse que exista una simple proporcionalidad entre el parámetro de energía  $\epsilon$  y la temperatura crítica  $T_c$ . Para moléculas simples no polares, en el caso en que la función generalizada  $f$  es reemplazada por un potencial molecular que contenga dos parámetros característicos, tal como el potencial de Lennard-Jones (12-6), se ha encontrado experimentalmente que existe la relación :

$$\epsilon/k = 0.77 T_c$$

Stiel y Thodos relacionan el parámetro de energía con el factor de compresibilidad de la siguiente forma :

$$\epsilon/k T_c = 65.3 Z_c^{18/5}$$

Tee, Gotoh y Stewart<sup>73</sup> han presentado relaciones similares entre las constantes de fuerza de Lennard-Jones y el factor acéntrico ( $w$ ) :

$$\epsilon/k T_c = 1.0070 + 2.2450w$$

Los parámetros  $\epsilon_i$  y  $\sigma_i$  están directamente relacionados a las propiedades macroscópicas de la sustancia  $i$ , sin embargo las propiedades macroscópicas usadas para establecer dicha relación no necesariamente tiene que ser propiedades críticas.

Una ventaja importante de la teoría molecular, relativa a la teoría clásica de los estados correspondientes, es que permite el cálculo de otras propiedades macroscópicas (como las propiedades de transporte), en adición a las que pueden ser calculadas por medio de la termodinámica clásica a partir de una ecuación de estado.

La teoría de los estados correspondientes tal y como es expresada por la función del potencial generalizado (ec. III-3), es una teoría de dos parámetros y por lo tanto esta limitada a aquéllas moléculas cuyas energías de interacción pueden ser adecuadamente descritas en términos de una función que use solamente dos parámetros. Tales moléculas son llamadas simples; estrictamente hablando, solo los gases nobles mas pesados (argon, kripton, xenon) son "simples" pero las propiedades de varios otros gases se aproximan estrechamente a la ecuación

Una molécula simple es aquella cuyo campo de fuerza tiene un alto grado de simetría, lo cual es equivalente a decir que la energía potencial es determinada solamente por la distancia de separación y no por la relativa orientación entre dos moléculas.

Moléculas no polares (o ligeramente polares), como metano - oxígeno, nitrógeno y monóxido de carbono, pueden entonces considerarse moléculas simples. Para moléculas mas complejas, sin embargo, es necesario introducir al menos un parámetro adicional - en la función potencial y de ese modo extender la teoría de los estados correspondientes, de tal manera que involucre tres parámetros.

Lo anterior puede ser hecho de varias formas, pero la más conveniente para propósitos prácticos es el dividir las moléculas en diferentes grupos, cada grupo correspondera a un grado -- particular de desviación de la conducta molecula-simple. Entre los grupos posibles podemos anotar: un grupo adimensional que nos represente los efectos que presenta la forma de las moléculas, un grupo que muestre los efectos de las interacciones dipolo-dipolo y dipolo-cuadrupolo, y un grupo que represente los efectos cuánticos (los cuales presentan ciertas moléculas como hidrógeno y helio a bajas temperaturas).

Al extender la teoría de los estados correspondientes, la ecuación III-3 todavía se aplica, pero con el cambio de que la función generalizada  $f$  es ahora diferente para cada grupo que presente cierta desviación. Partiendo de consideraciones teóricas es factible anotar un solo grupo de los enumerados anteriormente, el cual represente el tercer parámetro a introducir, sin que se excluyan del todo los otros grupos y con la caracteristi-

ca de que aquél esté expresado en términos de propiedades macroscópicas. Además es muy importante la consideración práctica de que un parámetro conveniente es aquel que puede ser fácilmente calculado a partir de datos disponibles y confiables.

Varios autores han expresado el tercer parámetro de diversas formas, sin embargo, a pesar de todo, el propuesto por Pitzer es el más útil debido a que es calculado a partir de datos experimentales, los cuales tienden a ser tan seguros como accesibles.

Pitzer al establecer el tercer parámetro solo considera el grupo anotado para el efecto de la forma de las moléculas, al cual denomina  $w$  (factor acéntrico), que es una medición macroscópica del grado por el cual el campo de fuerza que rodea a una molécula se desvía de su simetría esférica.

La definición del factor acéntrico es arbitraria y su selección se hace por conveniencia. De tal manera que Pitzer utiliza sus resultados empíricos como una medición de la desviación en la conducta de los fluidos simples. Para tales fluidos ha sido observado que a una temperatura igual a  $7/10$  de la crítica, la presión de saturación ( $P^s$ ) dividida por la presión crítica ( $P_c$ ) es dada por:

$$P_r = P^s / P_c = 1/10 \quad ; \quad T / T_c = 0.7$$

el factor acéntrico se define entonces a partir de la temperatu-

ra reducida :

$$Pr = f(Tr, w)$$

y la ecuación aproximada de Pitzer<sup>73</sup> se expresa de la siguiente forma :

$$\log Pr = \log Pr^0(Tr) + w \log Pr^1(Tr)$$

donde  $\log Pr^0$  es el valor del fluido simple ( $w=0$ ).

A una  $Tr=0.7$  se tiene que:  $\log Pr^0=1.00$  y el logaritmo de  $Pr^1$  se definió como:  $\log Pr^1=-1.00$ , de tal manera que - la definición del tercer parámetro, llamado el factor acéntrico queda como :

$$w = -\log \Pr \left|_{Tr=0.7} \right. - 1.000 \quad (\text{III-4})$$

siendo  $Pr$  la presión de saturación reducida igual a  $P^s / P_c$

Una definición similar para el tercer parámetro, para fluidos no polares, en términos de la presión de vapor, fué propuesto por Riedel. Así mismo Guggenheim y Wormald también han propuesto una aproximación similar, en la cual el tercer parámetro viene a ser el número de átomos de carbono en un alcano normal, el cual se parece estrechamente a la sustancia dada<sup>73</sup>.

El factor acéntrico es, esencialmente, cero para moléculas esféricas no polares, tales como los gases nobles, y para moléculas pequeñas altamente simétricas, tales como el metano. Para fluidos cuánticos (hidrógeno, helio y neon) se asume que el factor acéntrico tiene valor de cero. Para cuando se tienen fluidos más complejos el factor acéntrico toma valores mayores que cero, llegando hasta el rango de 0,5 .

Partiendo de las consideraciones anteriores, se hace posible el definir un modelo general para la predicción de viscosidades a bajas densidades. La dependencia de la temperatura y densidad sobre el coeficiente de viscosidad puede ser interpretado en términos de el balance entre las fuerzas intermoleculares y el movimiento térmico. A bajas densidades, donde las moléculas están a distancias relativamente grandes, la transferencia de momentum se puede explicar por la teoría de Chapman-Enskong, para fluidos con esferas rígidas<sup>22</sup>.

El trabajo de Chapman-Enskong es interpretado y presentado por Hirschfelder, Bird y Spots quienes presentan una de las ecuaciones más sencillas y completas para el cálculo de viscosidades:

$$\mu \times 10^7 = 26.693 (M T)^{0.5} / \sigma^2 \bar{v}^{(2)} \quad (III-5)$$

donde la viscosidad esta en centipoises y se representa como  $\mu$

La ecuación anterior junto con las consideraciones hechas - por Lennard-Jones, específicamente en lo que respecta a su potencial, son la base para desarrollar el modelo de predicción que - se propone.

La ecuación III-5 viene a comprobar, lo que se describió en las páginas anteriores, que dicha ecuación esta constituida por-

solo dos parametros, es decir que sería de la forma :

$$\mu = (a + b/T_r)$$

donde  $a$  y  $b$  son dos constantes específicas para cada gas y  $T_r$  es la temperatura reducida; su rango de aplicación se limita a los fluidos simples. Para extender y mejorar su aplicabilidad a moléculas mas complejas (polares y no polares), se introduce un tercer parámetro que ajuste la ecuación en cuestión, el parámetro seleccionado es el propuesto por Pitzer, es decir el factor acéntrico. De tal manera que la ecuación tendría la forma:

$$\mu = a + (b_1 + b_2 w) / T_r \quad (\text{III-6})$$

donde  $a$  es una constante universal,  $b_1$  y  $b_2$  son dos constantes que relacionan la dependencia del factor acéntrico, el cual es una constante para cada sistema.

Entonces el paso a seguir en el desarrollo consiste en modificar la ecuación III-5 y reescribirla en términos de propiedades macroscópicas; puesto que existe la relación :  $\sigma = 0.841 V_c^{1/3}$  se tiene que dicha ecuación queda de la siguiente forma:

$$\mu = 0.002669 (MT)^{0.5} / (0.841 V_c^{1/3})^2 \Omega^{2,2}$$

Los términos numéricos se pueden reacomodar de tal manera que puedan ser expresados por una constante, llamada B, para obtener entonces que :

$$\mu = B (M T)^{0.5} / V_c^{2/3} \Omega^{2/2} \quad (\text{III-7})$$

donde  $\mu$  = viscosidad en  $\mu\text{P}$

M = peso molecular, g/mole

T = temperatura,  $^{\circ}\text{K}$

$\Omega^{2/2}$  = integral de colisión

$V_c$  = volumen crítico,  $\text{cm}^3/\text{g mol}$

constante numérica.

El volumen crítico es calculado por medio de la relación :

$$V_c = R T_c / P_c \quad (\text{III-8})$$

donde R = es la constante universal de los gases.-

R = 82.06 ( $\text{cm}^3$ )(atm) / (g mol)( $^{\circ}\text{K}$ )

Tc = temperatura crítica,  $^{\circ}\text{K}$

Pc = presión crítica, atm.

el cálculo del  $V_c$  se realiza para todos los gases que se están considerando y los datos que se usan son valores experimentales.

Debido a que los cálculos de propiedades de transporte de los gases polares, los cuales requieren funciones potenciales --

con dependencia angular, han sido limitados probablemente debido a la dificultad de evaluar la integral de colisión ( $\Omega^{2,2}$ ), y puesto que el modelo a desarrollar pretende abarcar el mayor número de gases (no polares y polares), se hace un ajuste partiendo de la ecuación III-6, en función de las integrales de colisión.

La función que representa el ajuste de una línea recta por mínimos cuadrados se representa como:

$$F = \sum (\Omega_0 - \Omega_1)^2$$

en donde  $\Omega_0$  es la integral de colisión experimental, derivada a partir de la ecuación base (ec. III-5), y a la que se llamará por conveniencia OEX. :

$$\Omega_0 = B (M T)^{0.5} / V c^{2/3} \quad (\text{III-9})$$

con fines de ajuste OEX se corrige elevándolo a la potencia 3/2, y una vez corregido se le llama OC. En la ecuación III-9, todas las variables son datos experimentales.

La integral de colisión  $\Omega_1$  se puede expresar en función de la ecuación generalizada (ec. III-6) :

$$\Omega_1 = (a + b_1 T^{**} + b_2 w T^{**}) \quad (\text{III-10})$$

donde  $T^{**}$  representa el inverso de la temperatura reducida.

Entonces la ecuación de la línea recta queda de la siguiente manera :

$$F = \sum [ O_c - (a + b_1 T^{**} + b_2 w T^{**}) ]$$

Como paso siguiente se hace una derivación respecto a las constantes  $a$ ,  $b_1$ ,  $b_2$ , para poder encontrar así su valor :

$$(\delta F / \delta a) = -2 \sum (O_c - a - b_1 T^{**} - b_2 w T^{**}) = 0$$

$$(\delta F / \delta b_1) = -2 \sum (O_c - a - b_1 T^{**} - b_2 w T^{**}) T^{**} = 0$$

$$(\delta F / \delta b_2) = -2 \sum (O_c - a - b_1 T^{**} - b_2 w T^{**}) w T^{**} = 0$$

Realizando las sumatorias igualadas a cero se obtiene :

$$\sum O_c = N a + b_1 \sum T^{**} + b_2 \sum w T^{**}$$

$$\sum O_c T^{**} = a \sum T^{**} + b_1 \sum T^{**^2} + b_2 \sum w T^{**^2}$$

$$\sum O_c w T^{**} = a \sum T^{**} + b_1 \sum w T^{**^2} + b_2 \sum w^2 T^{**^2}$$

De tal manera que se obtienen tres ecuaciones con tres incógnitas; el medio más rápido para resolverlas es por el método del determinante, el cual para realizarlo de una manera más fácil se codifican las variables que se están usando :

$$O_c = \Omega^{3/2}$$

$$S G = \sum w T^{**^2}$$

$$S A = \sum T^{**}$$

$$S H = \sum w^2 T^{**^2}$$

$$S B = \sum T^{**^2}$$

$$N D = N$$

$$S C = \sum O_c$$

$$A C = a$$

$$S D = \sum O_c T^{**}$$

$$B C 1 = b_1$$

$$S E = \sum w T^{**}$$

$$B C 2 = b_2$$

$$S F = \sum O_c w T^{**}$$

Entonces el determinante se resuelve de la siguiente manera :

$$\text{DELTA} = \begin{bmatrix} N D & S A & S E \\ S A & S B & S G \\ S E & S G & S H \end{bmatrix} = \left\{ [(N D)(S B)(S A)] + [(S A)(S G)(S E)] - [(S A)(S G)(S E)] - [(S E)(S B)(S E)] + [(S E)(S A)(S H)] + [(S G)(S G)(N D)] \right\}$$

$$AC = \frac{\begin{bmatrix} SC & SA & SE \\ SD & SB & SG \\ SF & SG & SH \end{bmatrix}}{\Delta} = \frac{\{(SC)(B)(SH) + (SD)(SG)(SE) + (SA)(SG)(SE)\} - \{(SF)(SB)(SE) + (SD)(SA)(SH) + (SG)(SG)(SC)\}}{\Delta}$$

$$BC_1 = \frac{\begin{bmatrix} ND & SC & SE \\ SA & SD & SG \\ SE & SF & SH \end{bmatrix}}{\Delta} = \frac{\{(ND)(SD)(SH) + (SA)(SF)(SE) + (SC)(SG)(SE)\} - \{(SE)(SD)(SE) + (SA)(SC)(SH) + (SF)(SG)(ND)\}}{\Delta}$$

$$BC_2 = \frac{\begin{bmatrix} ND & SA & SG \\ SA & SB & SD \\ SE & SG & SF \end{bmatrix}}{\Delta} = \frac{\left\{ [ND(SB)(SF)] + [SA(SG)(SC)] + [SA(SD)(SE)] - [SE(SB)(SC)] - [SA(SA)(SF)] - [SG(SD)(ND)] \right\}}{\Delta}$$

Las ecuaciones anteriores se resuelven por medio de un programa de computación, lo cual da una mayor exactitud. Una vez que son obtenidos los valores de las constantes ( $A_c$ ,  $Bc_1$ ,  $Bc_2$ ) es posible entonces obtener el valor de  $\Omega_1$ , a la que se llamará  $OC_1$ , por medio de la ecuación :

$$\Omega_1 = A_c + Bc_1(T_r) + Bc_2(w)(T_r) \implies OC_1 \quad (III-11)$$

Esa  $OC_1$  calculada es corregida por la potencia  $2/3$ , para fines de ajuste.

La ecuación III-11 resumida junto con las anteriores, conduce a obtener un modelo de predicción de viscosidades, el cual se --

presenta como:

$$V_{IC} = (OEX) (VI) / (OC1)^{2/3} \quad (III-12)$$

donde  $V_{IC}$  es la viscosidad calculada.

$VI$  es la viscosidad experimental.

Teniendo así esas ecuaciones, es posible comparar como se comportan: las integrales de colisión experimentales corregidas (OC), las integrales de colisión calculadas corregidas (OC1) y las integrales de colisión de Lennard-Jones (éstas se calcularon a partir de las tabuladas en la tabla vi del apéndice B; dependen de la función  $T^* = kT/\epsilon$  y para fines de cálculo se considera la proporción  $T^* \approx 1.33 T_r$ . Como consecuencia, también es posible probar que el modelo que se obtiene (ec. III-12) para el cálculo de viscosidades, es factible y de confiabilidad. Para tal efecto, las viscosidades que se calculan se comparan con las viscosidades experimentales (de todos y cada uno de los gases en cuestión), comprobándose así si el desarrollo que se hizo es correcto.

Las comparaciones se llevan a cabo con la ayuda de un programa de computación al que se alimentan todos los datos requeridos por las ecuaciones, siendo estos datos experimentales, los cuales son los mismos que se usaron en el capítulo II, en el que se describió el criterio para seleccionar esos datos, alimen--

tándose conjuntamente tanto gases no polares como polares.

Con los valores así obtenidos, a partir del programa de computación, se comprueba como se comportan las tres integrales de colisión específicas (  $O_C$ ,  $O_{Cl}$ , y  $O_{IJ}$  ), y en consecuencia cual es la desviación que presenta la ecuación III-12 para el cálculo de viscosidades. Dicho comportamiento y la desviación que presentan las viscosidades calculadas, sin embargo, no se ajustan del todo a los valores experimentales. Concluyéndose, entonces, que el modelo obtenido se debe rectificar para lograr así un cálculo más realístico.

Esa conclusión conduce a la necesidad de ajustar las constantes  $A_C$ ,  $B_{Cl}$ ,  $B_{C2}$ , y consecuentemente  $O_{Cl}$ , de tal manera que el modelo que se propone sea más realístico y por lo tanto el valor de la VIC que se obtenga a partir de él sea compatible y no se desvie del valor de la viscosidad experimental.

Para realizar ese ajuste se lleva a cabo, entonces, dos correlaciones independientes, una para gases no polares y otra para gases polares.

La correlación para gases no polares se realiza considerando, de los 44 gases en cuestión, solo aquellos que son más representativos de dicha clase y con base en el criterio de seleccionar aquellos cuyas VIC ofrezcan un excelente comportamiento -- en relación a las viscosidades experimentales. Es así que los --

gases seleccionados son :

- |               |                   |              |
|---------------|-------------------|--------------|
| 1.- Argon     | 6.- Etileno       | 11.- Butano  |
| 2.- Kripton   | 7.- Etano         | 12.- Benceno |
| 3.- Metano    | 8.- Propano       | 13.- Tolueno |
| 4.- Oxigeno   | 9.- Ciclohexano   | 14.- Heptano |
| 5.- Nitrogeno | 10.- Ciclopentano | 15.- Octano. |

Dicha correlación conduce a obtener las siguientes constantes :

$$AC = 0.12588$$

$$BC1 = 0.22881$$

$$BC2 = 0.02568,$$

es importante hacer notar que, al realizar el cálculo de las -- constantes, se probó como se comporta el modelo desarrollado ( ec. III-13 ) introduciendo el factor  $Z_c$  , sin embargo, se comprueba que no existe ninguna dependencia con ese factor, por lo que lo que los valores que mejor ajustan son esos sin  $Z_c$  .

Para la correlación de los gases polares (se estan considerando 13 gases), el criterio para seleccionar los gases representativos es el mismo que para los no polares, de tal manera que - solo se correlacionan los siguientes gases:

- |              |                   |
|--------------|-------------------|
| 1.- Amoniaco | 5.- Etanol        |
| 2.- Metanol  | 6.- Cis-2-Buteno. |
| 3.- Butanol  |                   |
| 4.- Propanol |                   |

y las constantes obtenidas a partir de ellos son :

$$AC = 0.18856$$

$$BC1 = 1.04710$$

$$BC2 = -0.16492$$

Aunque el factor  $Z_c$  presenta mucha incertidumbre debido a la manifestada experimentalmente al determinar el volumen crítico, en el cálculo de estas constantes, al contrario de lo que sucede en los gases no polares, introduciendo el factor  $Z_c$  en el modelo desarrollado (ec. III-8) se obtiene un mejor ajuste para los gases polares.

Una vez que se establecen las constantes: AC, BC1 y BC2, y que se hacen una serie de pruebas es posible presentar el modelo definitivo para la predicción de viscosidades a bajas densidades. Usando las ecuaciones III-9 y III-12, el modelo general queda de la siguiente forma:

$$\eta_{IC} = B \left[ M T \right]^{1/2} / \left[ (V_c) (\Omega C_1) \right]^{2/3} \quad (III-13)$$

donde **B** es una constante numérica igual a 32.704075

**M** es el peso molecular, g/mol

**T** es la temperatura, °K

**V<sub>c</sub>** es el volumen crítico, cm<sup>3</sup>/g mol

**ΩC<sub>1</sub>** es la omega calculada corregida (ec. III-11)

**η<sub>IC</sub>** es la viscosidad calculada y esta en micropoises.

El modelo general, ecuación III-13 , tiene aplicabilidad tanto para gases polares como para gases no polares, requiriendo -- únicamente las siguientes especificaciones :

a).- Para el cálculo de viscosidades de gases no polares, debe - de usarse, en la evaluación de  $\bar{\Omega}_{Cl}$ , las siguientes constantes.-

$$AC = 0.12588 \quad ; \quad BC1 = 0.22881 \quad ; \quad BC2 = 0.02568$$

b).- El factor de compresibilidad crítico ( $Z_c$ ) no interviene en el cálculo de las viscosidades para gases no polares.

c).- Para el cálculo de viscosidades de gases polares, debe de usarse, en la evaluación de  $\bar{\Omega}_{Cl}$ , las siguientes constantes.-

$$AC = 0.18856 \quad ; \quad BC1 = 1.04710 \quad ; \quad BC2 = -0.16492$$

d).- En el cálculo de viscosidades de gases polares si intervienen el factor de compresibilidad crítico ( $Z_c$ ), el cual se relaciona directamente al volumen crítico.

Con el objeto de comprobar la exactitud y confiabilidad que presenta el modelo general de predicción (ec. III-13 ) se realizan cálculos de viscosidades por medio de él, los cuales se llevan a cabo en una computadora, para gases polares y no polares. En e--sos cálculos se utilizan todos los datos experimentales de 56 ga--ses, (en el capítulo II esta descrito cuales son los gases y el criterio que se siguió para su selección).

En la tabla I del apéndice B se encuentran los gases que se estan considerando en este estudio, asi como su fuente de referencia.

Es así que por medio del programa de computación se obtienen valores de la viscosidad calculada para cada dato de temperatura experimental que se está considerando.

Aquí también, como un medio de observar la variación de la viscosidad calculada respecto a la experimental, se realiza el cálculo de un porciento de error, el cual sera el que en última instancia nos indique la validez y confiabilidad del modelo propuesto y desarrollado para la predicción de viscosidades a bajas densidades, ec. III-13 . Este porcentaje de error se calcula por medio de la formula que utilizan Reid y Sherwood<sup>66</sup>; el método esta desarrollado en la tabla III del apéndice B .

En las hojas siguientes se presentan las tablas de resultados generales, para gases no polares y polares, en las que se pueden observar los porcentajes de error relativos que presenta cada uno de los modelos estudiados al realizar el cálculo de viscosidades para cada gas considerado.

También todos los datos y resultados obtenidos para cada dato de temperatura que presenta cada uno de los 56 gases, cálculos a partir del modelo propuesto de predicción (ec. III-13): viscosidad experimental, viscosidad calculada y porcentaje de error, se encuentran listados en el apéndice A de este trabajo.

LISTADO DE EL ERROR RELATIVO QUE PRESENTA CADA GAS EN CADA MODELO DE PREDICCIÓN ESPECÍFICO : GASES NO-POLARES

G A S	HIRSCHFELDER	B-WILKE	SCHINZEL	LIGHT-STECHERT	FALKOVSKY	S-THODOS	MODELO III-13 (SIN Se)	MODELO III-13 (CON Se)
1.- Argon	0.367	0.5038	2.409	0.4243	2.183	0.3578	0.2011	0.2009
2.- Xenon	0.2549	0.3960	1.219	0.2744	1.362	0.2768	0.1811	0.1854
3.- Metano	0.2702	0.4496	2.745	0.1523	0.9508	0.2720	0.1358	0.1422
4.- Oxígeno	0.2345	1.397	0.3038	0.2763	2.646	0.3313	0.2152	0.2355
5.- Nitrógeno	0.2949	0.4657	1.842	0.3642	0.1179	0.2827	0.1027	0.1227
6.- Etileno	2.378	0.1569	1.592	0.1609	0.1861	0.3940	0.2324	0.2551
7.- Etano	0.3035	0.1349	0.8982	0.2062	0.4571	0.1039	0.10355	0.1092
8.- Propano	0.7083	0.2148	0.4655	0.3042	0.5356	0.1696	0.1686	0.2088
9.- Ciclohexano	1.066	0.3342	0.4405	0.2825	0.1756	0.1852	0.1778	0.2477
10.- Ciclopentano	0.9754	0.9252	0.8850	0.8739	0.3909	0.8348	0.10581	0.1566
11.- n-Butano	0.1034	0.1691	2.46	0.1877	0.2310	0.2077	0.1776	0.1750
12.- Benceno	0.9673	0.2287	0.5020	0.2405	0.7687	0.2398	0.2012	0.1760
13.- Tolueno	1.254	0.2368	0.6817	0.2319	0.7289	0.2776	0.2166	0.3081
14.- Heptano	1.7025	0.2985	0.8245	0.590	0.9841	0.8508	0.4206	0.5039
15.- Octano	1.989	1.582	1.06	0.7064	1.042	0.5985	0.591	0.6464
16.- Krypton	0.2926	0.4359	1.787	0.3568	1.762	0.3312	0.2117	0.2076
17.- Helio	0.5352	2.902	3.157	2.861	6.429	1.4190	2.310	2.3210
18.- Hidrógeno	1.0891	3.0521	3.1210	1.1743	4.4821	1.0420	0.9095	0.9201
19.- Neon	0.3054	6.988	2.868	1.095	5.0239	0.4239	0.6593	0.6433
20.- CS <sub>2</sub>	1.2051	0.3769	0.6094	0.8818	1.4350	0.8269	0.4305	0.4478
21.- Hexano	1.7943	2.784	0.4579	0.2330	0.2676	0.3182	0.2601	0.3035
22.- Oxido Nitroso	0.1713	0.9222	0.2127	0.2127	0.5030	0.3500	0.1738	0.1990
23.- 1,3 - Butadieno	1.707	0.4967	1.398	0.5195	0.5031	0.6988	0.5558	0.5580
24.- n-Pentano	0.9401	0.6241	0.4744	0.5397	0.6169	0.3123	0.3323	0.4937
25.- CC <sub>14</sub>	0.6899	0.6590	1.124	0.6433	1.169	0.4365	0.4865	0.4248
26.- n-Pentano	1.450	0.2515	0.6996	0.2584	0.3307	0.2955	0.3155	0.3119
27.- 2,4, Dimetil Pentano	1.386	0.0376	0.3891	0.0841	0.3157	0.1644	0.2320	0.3584
28.- 2,2,4, Trimetil Pentano	1.7420	0.82101	0.43121	0.94201	0.4039	0.85201	0.3434	0.5701
29.- CO <sub>2</sub>	1.010	2.102	1.284	0.1871	1.287	0.1705	0.1342	0.3441
30.- Nonano	1.345	0.0889	2.470	1.441	2.137	1.252	1.139	1.320
31.- Ciclopropano	0.102	0.1718	1.006	0.3415	0.3088	0.1059	0.0867	0.9851
32.- SO <sub>2</sub>	1.522	1.094	0.666	0.1954	0.5194	0.3396	0.3396	0.3118
33.- SF <sub>6</sub>	0.2629	0.1281	1.173	1.121	1.893	0.9215	0.9189	0.9841
34.- Acetileno	1.012	0.4309	1.455	0.1550	0.2593	0.1646	0.1138	0.1025
35.- Aire	0.1718	0.0535	2.323	0.2009	2.702	0.2477	0.2684	0.2495
36.- Trans 2 Buteno	0.3584	0.4758	0.9384	0.2757	0.3041	0.0823	0.1009	0.2066
37.- Difenil Metano	2.300	1.013	2.02	0.2012	1.740	0.1591	0.1328	0.1438
38.- Difenil Eter	1.352	0.1254	2.680	0.6728	1.822	0.5567	0.4265	0.3333
39.- Cloroformo	0.6770	2.014	0.5566	0.6220	1.152	0.4329	0.4380	0.2123
40.- Oxido Nitrico	0.7641	2.3410	0.7812	0.63211	1.9532	0.95831	0.6658	1.169
41.- CF <sub>4</sub>	0.3764	1.837	1.115	0.79180	2.824	1.583	1.685	1.904
42.- Cloruro de Metileno	0.5578	1.592	0.522	0.4424	0.8644	0.3294	0.3010	0.2184
43.- Acetato de Etilo	2.4370	0.3110	0.4941	0.2257	0.2120	0.4640	0.4866	0.2127
44.- Cloruro de Metilo	2.0370	0.3011	1.031	0.2337	0.1859	0.3859	0.3539	0.3212

ERROR RELATIVO PROMEDIO: 0.9934 0.9258 1.2790 0.6183 1.262 0.4774 0.3658 0.6664

LISTADO DE LOS ERRORES RELATIVOS QUE PRESENTA CADA GAS EN CADA MODELO DE PREDICCION ESPECIFICO : GASES - POLARES.

G A S	HIRSCHFELDER.	B - WILKE	SCHEIBEL	LICHT-STECH.	FALKOVSKY	S-THODOS	MODELO III-13 (CON Zc)	MODELO III-13 (SIN Zc)
1.- Metanol	5.413	2.504	1.291	2.577	2.211	0.3165	0.8219	1.4593
2.- Butanol	2.487	0.8230	0.3931	0.8610	0.5919	0.3630	0.6108	0.8942
3.- Propanol	3.068	0.9835	0.2008	1.051	0.5714	0.1517	0.3363	0.4847
4.- Etanol	3.613	1.411	0.778	1.492	1.643	0.4547	0.3639	0.3784
5.- Vapor de Agua	4.617	1.741	2.302	1.894	1.188	0.1887	0.1635	1.3430
6.- Isopropanol	3.166	5.726	0.8467	1.224	1.002	0.7493	0.8627	1.0649
7.- Amoniaco	4.052	1.664	1.186	1.771	1.254	0.8287	0.3585	0.68381
8.- Cis 2 Buteno	1.606	0.6065	0.9553	0.1719	0.1212	0.0500	0.1670	0.28298
9.- H <sub>2</sub> S	1.718	0.3223	1.268	0.3748	0.4880	0.2315	0.1905	0.23222
10.- Acetona	3.370	0.3995	0.549	0.4559	0.1160	0.6010	0.9713	0.32274
11.- Dimetil Eter	0.5802	0.978	1.490	0.1299	0.1906	0.2616	0.1719	0.3435
12.- BF <sub>3</sub>	1.665	0.8347	1.136	0.6994	1.230	0.1408	2.930	3.2149
ERROR RELATIVO PROMEDIO :	2.945	1.425	1.032	1.0598	0.8339	0.3615	0.6621	0.8919

C A P I T U L O      IV

"PREDICCION DEL COMPORTAMIENTO DE VISCOSIDADES DE MEZCLAS DE GASES"

C A P I T U L O      IV

"PREDICCION DEL COMPORTAMIENTO DE VISCOSIDADES DE MEZCLAS DE GASES"

En el capítulo anterior se observó brevemente el papel que desempeña la teoría molecular en los estados correspondientes y se notó que una ventaja importante es que permite el cálculo de otras propiedades macroscópicas (propiedades de transporte). Sin embargo, la principal ventaja de dicha teoría es que puede ser fácilmente extendida a mezclas gaseosas.

Aun así, el caso de una mezcla gaseosa es más complicado -- puesto que no solo se deben de considerar las interacciones que sufren las moléculas cuando son del mismo componente sino tam -- bién las interacciones que sufren cuando son disimiles<sup>64</sup>.

Consecuentemente esas propiedades que operen entre las moléculas de la mezcla gaseosa determinaran las propiedades de transporte, para este caso la viscosidad de la mezcla. Teniendo en cuenta esas consideraciones, metodos recientes para la predicción de viscosidades de mezclas gaseosas han sido presentadas en la literatura por: Brokaw; Cheung, Bromley y Wilke; Hirschfelder y Curtiss; Stiel y Dean; Herning y Zipperer; Monchick y Mason; y Sutherland. El descubrimiento de esos metodos han sido largamen-

te asociados con la teoría de moléculas esféricas no polares, en el estado gaseoso diluido<sup>29</sup>.

Para sistemas de mezclas gaseosas, compuestas por moléculas polares-no polares, Monchick y Mason, Bromley y Wilke modifican sus descubrimientos hechos para gases no polares y consideran la naturaleza del comportamiento polar en la mezcla. Debido a que no se encuentran suficientes datos experimentales para mezclas compuestas por moléculas polar-polar, este sistema no ha sido estudiado ampliamente.

En todos los modelos que presentan esos autores, sin embargo, existen discrepancias entre las mediciones de viscosidades llevadas a cabo para el mismo sistema. La discrepancia se debe principalmente a que las viscosidades deben de ser calculadas inicialmente para cada componente puro y, aunque estos datos son presumiblemente generales, la falta de ellos o su incierta confiabilidad impide realizar cálculos precisos cuando se trata de mezclas gaseosas.

En base a lo anterior y tomando en cuenta que los modelos que presentan los autores mencionados fueron desarrollados para sistemas específicos: no polar-no polar, no polar-polar; el objetivo de este capítulo es el de establecer el modelo que resulte en los cálculos de viscosidad más confiables, para un amplio rango de mezclas binarias a bajas densidades. Para ésto se hará uso de los resultados obtenidos en el capítulo anterior, empleando -

el modelo general de predicción de viscosidades de gases puros - propuesto en el capítulo III, ya que presenta en casi todos los gases que se consideran un porcentaje de error menor al que presentan otros modelos de predicción.

Para verificar ese comportamiento se han seleccionado solo aquellos modelos que son más representativos de mezclas binarias a bajas densidades, los cuales son :

I.- Método de Hirschfelder, Curtis y Bird. Haciendo una extensión de la teoría de Chapman Enskong, estos autores, presentan el siguiente desarrollo a partir de la ecuación de flujo de momento<sup>33</sup>:

$$\mu = 1/3 \sum_i n_i \bar{w}_i m_i l_i$$

donde  $n_i$  es el número de moléculas i .

$\bar{w}_i$  es la velocidad media de las moléculas

$m_i$  es la masa de las moléculas

$l_i$  es la trayectoria libre media de las moléculas

Despues de una serie de derivaciones presentan su ecuación para el cálculo de viscosidades de mezclas gaseosas:

$$\mu = \frac{n}{\sum_{i=1}^n} \left\{ x_i \mu_i / \left[ \sum_{j=1}^n x_j [(m_i + m_j) / 2 m_i]^{1/2} (\sigma_{ij} / \sigma_{ii})^2 \right] \right\}$$

$\sigma_{ij}$  es la distancia entre centros moleculares al momento de la colisión.

Se tiene que :

$$\sigma_{ii}^2 = \sigma_i^2 \Omega_i$$

$$\sigma_{ij}^2 = [(\sigma_i + \sigma_j) / 2] \Omega_{ij}$$

la integral de colisión se define como :

$$\Omega_i = f(w_i, T / T_{ci})$$

$$\Omega_{ij} = f(w_{ij}, T / T_{cij})$$

donde

$$w_{ij} = 1/2 (w_i + w_j)$$

$$T_{cij} = (T_{ci} T_{cj})^{1/2} (1 - k_{ij})$$

el cálculo de  $k_{ij}$  se define en la tabla **V** del apendice **B**.

II.- Método de Bromley Wilke<sup>5</sup>, estos autores se basan también en la teoría de Chapman Enskong, y presentan un modelo para viscosidades de mezclas binarias menos complejo :

$$\mu_m = \left\{ \mu_1 / [1 + (\gamma_2 / \gamma_1) \phi_{12}] \right\} + \left\{ \mu_2 / [1 + (\gamma_1 / \gamma_2) \phi_{21}] \right\}$$

donde  $\mu_m$  es la viscosidad de la mezcla a baja densidad

$\mu_1, \mu_2$  son las viscosidades de los componentes puros

$\gamma_1, \gamma_2$  son la fracción mol de los componentes.

Además se tiene que :

$$\phi_{12} = \left[ 1 + (\mu_1/\mu_2)^{0.5} (M_2/M_1)^{1/4} \right]^2 / \sqrt{8} (1 + (M_1/M_2))^{0.5}$$

$$\phi_{21} = \left[ 1 + (\mu_2/\mu_1)^{0.5} (M_1/M_2)^{1/4} \right]^2 / \sqrt{8} (1 + (M_2/M_1))^{0.5}$$

donde  $M_1$  y  $M_2$  son los pesos moleculares de los componentes.

Wilke realizó cálculos con datos de 17 sistemas, la viscosidad obtenida la compara con su respectiva experimental y reporta una desviación promedio de menos que 1%,<sup>5</sup>.

III.- Método de Dean y Stiel<sup>75</sup>, estos autores desarrollan su método utilizando la referencia de una sustancia pura hipotética y encuentran entonces que las constantes críticas de la sustancia hipotética son las constantes pseudocríticas de la mezcla. Puesto que esas constantes pseudocríticas no se pueden establecer experimentalmente, ellos encuentran que el mejor modo para obtenerlas es el que proponen Prausnitz y Gunn, así presentan :

$$V_{cm} = \sum_i x_i V_{ci}$$

$$Z_{cm} = \sum_i n_i Z_{ci}$$

$$T_{cm} = \sum_i n_i T_{ci}$$

entonces la presión pseudocrítica de la mezcla se calcula por la siguiente relación :

$$P_{cm} = Z_{cm} R T_{cm} / V_{cm}$$

Una vez que establecen el método más apropiado para el cálculo de las constantes pseudocríticas presentan las siguientes relaciones para predecir las viscosidades, de mezclas gaseosas, a bajas densidades<sup>75</sup> :

$$\mu \xi = 34.0 \times 10^{-5} Tr^{8/9} ; \quad Tr < 15$$

$$\mu \xi = 166.8 \times 10^{-5} [0.1338 Tr - 0.0932]^{5/9} ; \quad Tr \geq 15$$

donde  $\xi$  para mezclas se expresa por la relación:

$$\xi = T_{cm}^{1/6} / \left[ \left( \sum_i x_i M_i \right)^{0.5} P_{cm}^{2/3} \right]$$

IV.- Método de Herning y Zipperer, estos autores desarrollan un método para el cálculo de viscosidades de mezclas, el cual fué probado para un gran número de sustancias y presenta un error que nunca excede al 4 %,<sup>5</sup>.

Su formula se escribe como :

$$\mu_m = \frac{x_1 \mu_1 (M_1 T_{c1})^{0.5} + x_2 \mu_2 (M_2 T_c)^{0.5}}{x_1 (M_1 T_{c1})^{0.5} + x_2 (M_2 T_c)^{0.5}}$$

donde  $\mu_m$  es la viscosidad de la mezcla gaseosa

$\mu_1$ ,  $\mu_2$  son las viscosidades de los componentes gaseosos puros en la mezcla.

$M_1$ ,  $M_2$  son los pesos moleculares de los constituyentes en la mezcla.

$T_{c1}$ ,  $T_{c2}$  son las temperaturas críticas de los constituyentes en la mezcla.

V.- El método de Herning y Zipperer también se encuentra, - reportado en la literatura, en una forma en la que no aparece la corrección por la temperatura crítica<sup>66</sup>, es decir en la siguiente forma :

$$\mu_m = \left[ \sum_{i=1} y_i \mu_i (M_i)^{0.5} \right] / \left[ \sum_{i=1} y_i (M_i)^{0.5} \right]$$

en donde  $\mu_m$  es la viscosidad de la mezcla

$\mu_i$  es la viscosidad del componente puro

$y_i$  es la concentración de los componentes

$M_i$  es el peso molecular,

esta relación tan simple presenta seguridad dentro del rango del 3 %, exceptuando las mezclas ricas en hidrógeno.

Una revisión exhaustiva condujo a obtener los datos de viscosidad experimentales, disponibles en la literatura, para mezclas gaseosas binarias a bajas densidades. Los componentes incluyen gases monoatómicos y diatómicos, hidrocarburos y dióxido de carbono; casi no se consideran mezclas conteniendo hidrógeno y helio puesto que estas sustancias poseen apreciables efectos cuánticos y la conducta de sus viscosidades aún no se puede predecir con exactitud en una mezcla binaria.

Todas estas mezclas consideradas están listadas en la tabla II del apéndice B , junto con la fuente de referencia de los datos experimentales.

Como paso siguiente se realizan los cálculos de viscosidad para cada una de las temperaturas que presentan los 13 sistemas que se están considerando, por medio de los cinco modelos que ya se describieron.

En la realización de los cálculos fué necesario hacer una clasificación de los sistemas de mezclas gaseosas que se están utilizando. Es necesario hacer la clasificación puesto que los modelos específicos para el cálculo de viscosidades, estudiados en este capítulo, no tienen la misma aplicación para cada uno de los sistemas considerados, ademas de que esto permitirá observar detalladamente el comportamiento de los mismos.

La clasificación queda entonces de la siguiente manera :

- 1.- Gas cuántico - Gas no polar.
- 2.- Gas cuántico - Gas polar.
- 3.- Gas no polar - Gas no polar.
- 4.- Gas no polar - Gas polar.

Al igual que en los capítulos anteriores se realiza el cálculo del porcentaje de error para cada sistema, como medio de comparación de la viscosidad experimental respecto a la calculada, el cual se describe en la tabla III del apéndice B .

En la tabla siguiente solo se hará mención del error promedio que presenta cada sistema y el error promedio general de los mismos, de acuerdo a la clasificación mencionada anteriormente.

Analizando los errores de la siguiente tabla se podrá comprobar que los modelos propuestos, aun cuando utilizan datos confiables para los componentes puros, presentan altos errores. Estas desviaciones no han sido satisfactoriamente explicadas, pero bien pueden deberse a una inadecuada corrección de las variables que presentan los modelos para mezclas gaseosas, o bien en última instancia pueden deberse a mediciones poco exactas de temperatura y concentración.

PRESENTACION DE LOS RESULTADOS OBTENIDOS , ( PORCIENTO DE ERROR ) , OBTENIDOS PARA EL CAPITULO IV "MEZCLAS BINARIAS"

SISTEMA GASEOSO

1.- Cuantico-No polar:

	Hirschfelder.	H-Zipperer (sin Tc).	Bromley-Wilke.	H-Zipperer (con Tc).	Dean - Stiel
SO <sub>2</sub> - H <sub>2</sub>	51.611	53.592	47.942	55.996	8.769
He - Kr	33.300	20.639	12.040	12.134	8.030
He - N <sub>2</sub>	13.763	16.713	6.067	10.221	5.453
% Promedio	32.891	30.315	22.016	26.117	7.417

2.- Cuantico-Polar:

	Hirschfelder.	H-Zipperer (sin Tc).	Bromley-Wilke.	H-Zipperer (con Tc).	Dean - Stiel
NH <sub>3</sub> - H <sub>2</sub>	32.956	9.415	3.1219	5.2335	8.614
% Promedio	32.956	9.415	3.1219	5.2335	8.614

3.- No\_polar-No polar:

	Hirschfelder.	H-Zipperer (sin Tc).	Bromley-Wilke.	H-Zipperer (con Tc).	Dean - Stiel
CH <sub>4</sub> - Propano	12.318	22.081	13.047	19.910	2.850
SO <sub>2</sub> - CO <sub>2</sub>	8.002	31.428	30.686	33.496	2.065
% Promedio	10.160	26.754	21.864	26.703	2.457

4.- No\_polar-Polar:

	Hirschfelder.	H-Zipperer (sin Tc).	Bromley-Wilke.	H-Zipperer (con Tc).	Dean - Stiel
NH <sub>3</sub> - Aire	19.697	3.353	5.522	9.162	15.830
H <sub>2</sub> S - Aire	8.806	5.880	4.252	9.341	11.01
NH <sub>3</sub> - N <sub>2</sub>	15.323	0.6537	9.860	4.758	12.430
NH <sub>3</sub> - Ar	27.178	3.891	2.933	10.835	19.141
NH <sub>3</sub> - O <sub>2</sub>	23.959	0.5368	8.656	5.326	13.602
NH <sub>3</sub> - Etileno	1.776	2.155	9.658	2.034	11.262
% Promedio	16.123	2.745	6.813	6.909	13.879

C A P I T U L O   V

C O N C L U S I O N E S

## C A P I T U L O V

### C O N C L U S I O N E S

1.- Para los 44 gases no polares incluidos en este estudio, de los siete modelos ya existentes para la predicción de viscosidades a bajas densidades se puede comprobar, segun los errores relativos y errores relativos promedio que se presentan en la tabla general, pagina 65', que el modelo que mejor predice sus viscosidades es el de Stiel y Thodos, que presenta un error relativo promedio de:  $E R P = 0.4774$

Siendo también el método de Stiel y Thodos, de los modelos ya existentes, el que mejor predice las viscosidades para los 12 gases polares que se estudian, presentando un error relativo promedio de:  $E R P = 0.3615$

2.- El método propuesto para la predicción de viscosidades a bajas densidades (ec. III-13) se utilizó con sus variables específicas para los gases no polares y se comprueba que presenta un alto grado de confiabilidad, ya que tiene un  $E R P = 0.3658$  (tabla general - pag. 65'). Se puede decir que la magnitud de los ERP que presentan los modelos existentes le dan validez al modelo propuesto.

3.- La ecuación III-13 cuando se utilizo para los gases polares, - que se estan estudiando, presenta un  $ERP = 0.6621$ , tabla general - pag. 65", el cual es muy aceptable, sin embargo el modelo de Stiel y Thodos presenta un  $ERP = 0.3615$  el cual es un poco más bajo. Aun así, analizando el error relativo individual que presenta cada gas, el modelo propuesto, ec.  
III-13, se comporta mejor para un número mayor de gases. Observándose que es el  $BF_3$  el gas que presenta un mayor error relativo y por lo tanto el que arrastra el mayor error al calcular el ERP para el modelo propuesto.

Se pude decir que ambos metodos son capaces de predecir viscosidades a bajas densidades con un alto grado de confiabilidad.

4.- Para los gases no polares el modelo propuesto, ec. III-13, no muestra dependencia respecto al factor de compresibilidad - es decir respecto a  $Z_c$ .

Sin embargo cuando dicho modelo se utilizó para los gases polares se observa que estos si presentan dependencia respecto al factor de compresibilidad crítico,  $Z_c$ .

5.- Se recomienda usar el factor acéntrico en el modelo propuesto para la predicción de viscosidades, ya que debido a los altos valores que presenta para los flúidos polares se com

prueba que tiene una gran dependencia sobre este tipo de gases.

6.- Debido a los apreciables efectos cuánticos que presentan los siguientes gases: He, H<sub>2</sub> y Ne, se calcularon propiedades críticas específicas para los mismos, tabla IV del apéndice B. En los resultados, sin embargo, el He aun presenta considerables desviaciones, en el caso del H<sub>2</sub> y Ne la discrepancia no es ya tan marcada.

7.- En la mayoría de los gases puros estudiados se obtienen resultados bastante aceptables cuando se usa la ecuación III-13 tanto para gases polares como para gases no polares, por lo que es muy recomendable su uso.

8.- Analizando el comportamiento de los modelos para la predicción de viscosidades de mezclas, haciendo uso de los resultados obtenidos para gases puros a partir de la ec. III-13 y de acuerdo a la clasificación mencionada en el capítulo IV, se recomiendan los siguientes modelos de acuerdo a su porcentaje de error calculado :

a.- Para el sistema Gas cuántico - Gas no polar el modelo que presenta un mejor comportamiento es el de Dean Stiel -- con un error promedio de 7.417 %.

b.- Para el sistema Gas cuántico-Gas polar el modelo que -

ofrece un mejor comportamiento es el de Bromley Wilke que - presenta un error promedio de 3.1219 %.

c.- Para el sistema Gas no polar- Gas no polar el modelo - que ofrece un mejor comportamiento es el de Dean Stiel con un error promedio de 2.475 %.

d.- Para el sistema Gas no polar - Gas polar el modelo que ofrece un mejor comportamiento es el de Herning Zipperer, - sin corrección de temperatura critica, con un error promedio de 2.745 %.

9.- En base a los resultados obtenidos en el capitulo de mezclas se puede decir que existe la necesidad de disponer de metodos que hagan más confiable la predicción de viscosidades de mezclas binarias a bajas densidades.

10.- Se espera que los resultados de este estudio, la predicción de viscosidades a bajas densidades, sean de considerado uso tanto para puntualizaciones practicas como para mejorar -- nuestro conocimiento de las propiedades entre las moléculas.

Así mismo se tiene la confianza en que los resultados presentados sirvan de base a otros trabajos, de tal manera que -- por medio de ellos se facilite la predicción de viscosidades dentro de límites menos ristringidos que los que se están - considerando en este trabajo.

C A P I T U L O   VI

A P E N D I C E

A P E N D I C E " A "

---

Presentación de los resultados obtenidos para el capítulo III, se presenta el nombre del gas y las siguientes variables :

Tc es la temperatura crítica, °K

Pc es la presión crítica, atm.

PM es el peso molecular del gas, g/mol.

CV es el volumen crítico, cm<sup>3</sup>/g mol.

w es el factor acéntrico.

Las columnas siguen el siguiente orden :

Temperatura, °K.

Temperatura Reducida

Viscosidad experimental, micropoises.

Viscosidad calculada, micropoises.

% de Error.



AIRE

GAS NO POLAR

KRIPTON

GAS NO POLAR



HELIOT

TC	104	70	E	+0	2
PCM	60	59	00	+0	1
CVM	400	30	00	+0	1
W	120	02	00	+0	3
	0				

GAS NO POLAR



ARGON

TC	• 15100E+03
CE	• 48000E+03
CV	• 99999E+03
W	• 0

GAS NO POLAR

TEMPERATURA	TEMPE-REDU	VISCO-EXPE	VISCO-CAL	% DE ERROR
• 60000E+02	• 60000E+02	• 56000E+02	• 56000E+02	• 10000E+02
• 80000E+02	• 80000E+02	• 70000E+02	• 70000E+02	• 15000E+02
• 100000E+02	• 100000E+02	• 70000E+02	• 70000E+02	• 15000E+02
• 114000E+02	• 114000E+02	• 70000E+02	• 70000E+02	• 15000E+02
• 114400E+02	• 114400E+02	• 70000E+02	• 70000E+02	• 15000E+02
• 114440E+02	• 114440E+02	• 70000E+02	• 70000E+02	• 15000E+02
• 114441E+02	• 114441E+02	• 70000E+02	• 70000E+02	• 15000E+02
• 36860E+03	• 24411E+01	• 00000E+00	• 00000E+00	• 00000E+00



## HIDROGENO

T	C	E	E	E	0	2
P	G	M	M	M	+	0
P	R	A	A	A	+	2
C	V	W	W	W	+	1
					0	3

GAS NO POLAR

NEON

TC	•	455	00
PC	•	26	00
CV	•	20	00
W	•	15	00
	•	64	00
	•	3	00

GAS NO POLAR

TEMPERATURA	TEMP-REDU	VISCO-EXPE	VISCO-CAL	% DE ERROR
8000	•	175	00	140
10000	•	166	00	110
12000	•	161	00	110
14000	•	157	00	110
16000	•	154	00	110
18000	•	152	00	110
20000	•	150	00	110
22000	•	148	00	110
24000	•	146	00	110
26000	•	144	00	110
28000	•	142	00	110
30000	•	140	00	110
32000	•	138	00	110
34000	•	136	00	110
36000	•	134	00	110
38000	•	132	00	110
40000	•	130	00	110
42000	•	128	00	110
44000	•	126	00	110
46000	•	124	00	110
48000	•	122	00	110
50000	•	120	00	110
52000	•	118	00	110
54000	•	116	00	110
56000	•	114	00	110
58000	•	112	00	110
60000	•	110	00	110
62000	•	108	00	110
64000	•	106	00	110
66000	•	104	00	110
68000	•	102	00	110
70000	•	100	00	110
72000	•	98	00	110
74000	•	96	00	110
76000	•	94	00	110
78000	•	92	00	110
80000	•	90	00	110
82000	•	88	00	110
84000	•	86	00	110
86000	•	84	00	110
88000	•	82	00	110
90000	•	80	00	110
92000	•	78	00	110
94000	•	76	00	110
96000	•	74	00	110
98000	•	72	00	110
100000	•	70	00	110

XENON

```

TC      = 2.0000E+03
PC      = 0.3200E+00
DN      = 0.3000E+00
CV      = 0.3000E+00
WM      = 0.3000E+00

```

GAS NO POLAR

METANO

TC	• 191.00
PCM	• 458.00
CV	• 16.00
W	• 3422.00
	• 1300.00
	• 0.01

GAS NO POLAR

TEMPERATURA	TEMP-REDU	VISCO-EXPE	VISCO-CAL	% DE ERROR
100	• 5923.36	• 40.00	• 39.24	• 1.89%
110	• 6287.14	• 47.00	• 44.74	• 6.66%
120	• 7333.71	• 57.00	• 54.29	• 5.10%
130	• 8997.41	• 73.00	• 71.91	• 2.74%
140	• 9424.56	• 90.00	• 88.00	• 2.22%
150	• 10000.00	• 100.00	• 99.00	• 1.00%
160	• 10625.56	• 114.00	• 112.00	• 1.78%
170	• 11247.70	• 127.00	• 125.00	• 1.60%
180	• 11869.84	• 141.00	• 139.00	• 1.48%
190	• 12490.98	• 155.00	• 153.00	• 1.33%
200	• 13112.12	• 170.00	• 168.00	• 1.22%
210	• 13733.26	• 185.00	• 183.00	• 1.11%
220	• 14354.40	• 200.00	• 198.00	• 1.00%
230	• 14975.54	• 215.00	• 213.00	• 0.95%
240	• 15596.68	• 230.00	• 228.00	• 0.91%
250	• 16217.82	• 245.00	• 243.00	• 0.87%
260	• 16838.96	• 260.00	• 258.00	• 0.83%
270	• 17450.10	• 275.00	• 273.00	• 0.78%
280	• 18061.24	• 290.00	• 288.00	• 0.73%
290	• 18682.38	• 305.00	• 303.00	• 0.68%
300	• 19303.52	• 320.00	• 318.00	• 0.63%
310	• 19924.66	• 335.00	• 333.00	• 0.58%
320	• 20545.80	• 350.00	• 348.00	• 0.53%
330	• 21166.94	• 365.00	• 363.00	• 0.48%
340	• 21788.08	• 380.00	• 378.00	• 0.43%
350	• 22409.22	• 395.00	• 393.00	• 0.38%
360	• 22930.36	• 410.00	• 408.00	• 0.33%
370	• 23551.50	• 425.00	• 423.00	• 0.28%
380	• 24172.64	• 440.00	• 438.00	• 0.23%
390	• 24793.78	• 455.00	• 453.00	• 0.18%
400	• 25414.92	• 470.00	• 468.00	• 0.13%
410	• 26036.06	• 485.00	• 483.00	• 0.10%
420	• 26657.20	• 500.00	• 498.00	• 0.07%
430	• 27278.34	• 515.00	• 513.00	• 0.05%
440	• 27899.48	• 530.00	• 528.00	• 0.03%
450	• 28520.62	• 545.00	• 543.00	• 0.02%
460	• 29141.76	• 560.00	• 558.00	• 0.01%
470	• 29762.90	• 575.00	• 573.00	• 0.01%
480	• 30384.04	• 590.00	• 588.00	• 0.01%
490	• 30905.18	• 605.00	• 603.00	• 0.01%
500	• 31526.32	• 620.00	• 618.00	• 0.01%
510	• 32147.46	• 635.00	• 633.00	• 0.01%
520	• 32768.60	• 650.00	• 648.00	• 0.01%
530	• 33389.74	• 665.00	• 663.00	• 0.01%
540	• 33910.88	• 680.00	• 678.00	• 0.01%
550	• 34532.02	• 695.00	• 693.00	• 0.01%
560	• 35153.16	• 710.00	• 708.00	• 0.01%
570	• 35774.30	• 725.00	• 723.00	• 0.01%
580	• 36395.44	• 740.00	• 738.00	• 0.01%
590	• 36916.58	• 755.00	• 753.00	• 0.01%
600	• 37537.72	• 770.00	• 768.00	• 0.01%
610	• 38158.86	• 785.00	• 783.00	• 0.01%
620	• 38779.00	• 800.00	• 798.00	• 0.01%
630	• 39399.14	• 815.00	• 813.00	• 0.01%
640	• 39920.28	• 830.00	• 828.00	• 0.01%
650	• 40541.42	• 845.00	• 843.00	• 0.01%
660	• 41162.56	• 860.00	• 858.00	• 0.01%
670	• 41783.70	• 875.00	• 873.00	• 0.01%
680	• 42404.84	• 890.00	• 888.00	• 0.01%
690	• 42925.98	• 905.00	• 903.00	• 0.01%
700	• 43547.12	• 920.00	• 918.00	• 0.01%
710	• 44168.26	• 935.00	• 933.00	• 0.01%
720	• 44789.40	• 950.00	• 948.00	• 0.01%
730	• 45410.54	• 965.00	• 963.00	• 0.01%
740	• 46031.68	• 980.00	• 978.00	• 0.01%
750	• 46652.82	• 995.00	• 993.00	• 0.01%
760	• 47273.96	• 1010.00	• 1008.00	• 0.01%
770	• 47895.10	• 1025.00	• 1023.00	• 0.01%
780	• 48516.24	• 1040.00	• 1038.00	• 0.01%
790	• 49137.38	• 1055.00	• 1053.00	• 0.01%
800	• 49758.52	• 1070.00	• 1068.00	• 0.01%
810	• 50379.66	• 1085.00	• 1083.00	• 0.01%
820	• 50900.80	• 1100.00	• 1098.00	• 0.01%
830	• 51521.94	• 1115.00	• 1113.00	• 0.01%
840	• 52143.08	• 1130.00	• 1128.00	• 0.01%
850	• 52764.22	• 1145.00	• 1143.00	• 0.01%
860	• 53385.36	• 1160.00	• 1158.00	• 0.01%
870	• 53906.50	• 1175.00	• 1173.00	• 0.01%
880	• 54527.64	• 1190.00	• 1188.00	• 0.01%
890	• 55148.78	• 1205.00	• 1203.00	• 0.01%
900	• 55769.92	• 1220.00	• 1218.00	• 0.01%
910	• 56391.06	• 1235.00	• 1233.00	• 0.01%
920	• 56912.20	• 1250.00	• 1248.00	• 0.01%
930	• 57533.34	• 1265.00	• 1263.00	• 0.01%
940	• 58154.48	• 1280.00	• 1278.00	• 0.01%
950	• 58775.62	• 1295.00	• 1293.00	• 0.01%
960	• 59396.76	• 1310.00	• 1308.00	• 0.01%
970	• 59917.90	• 1325.00	• 1323.00	• 0.01%
980	• 60539.04	• 1340.00	• 1338.00	• 0.01%
990	• 61160.18	• 1355.00	• 1353.00	• 0.01%
1000	• 61781.32	• 1370.00	• 1368.00	• 0.01%

## OXIGENIO

GAS NO POLAR

## MITROGENO

IC  
D  
E  
V  
W

GAS NO POLAR

ETILENO

TCCE  
DCEV  
WMMH  
• 28000000E  
• 24000000E  
• 20000000E  
• 16000000E  
• 12000000E  
• 8000000E-01

GAS NO POLAR

ETANJO

GAS NO POLAR

## DISULFURO DE CARBONO

**GAS NO PULAR**

TEMPERATURA	TEMP-REDU	VISCO-EXPE	VISCO-CAL	% DE ERROR
• 300 730 200 200 C	• 54891E+00	• 94600E+00	• 1106500	• 12584
• 310 740 200 200 C	• 59236E+00	• 104000E+00	• 1145000	• 11700
• 320 750 200 200 C	• 67246E+00	• 111000E+00	• 1185000	• 121921
• 330 760 200 200 C	• 77246E+00	• 113000E+00	• 1225000	• + + + + +
• 340 770 200 200 C	• 86659E+00	• 115000E+00	• 1265000	• + + + + +
• 350 780 200 200 C	• 96659E+00	• 117000E+00	• 1305000	• + + + + +
• 360 790 200 200 C	• 10389E+01	• 119360E+00	• 1345000	• + + + + +

## PROPANO

GAS 10 POLAR

TEMPERATURA	TEMP-REDU	VISCO-EXPE	VISCO-CAL	% DF ERROR
296	25E+03	8.81	8.32	-
344	7.77	9.00	9.00	-
379	7.00	9.49	9.49	-
404	6.25	9.44	9.44	-
429	5.50	9.44	9.44	-
454	4.75	9.44	9.44	-
479	4.00	9.44	9.44	-
504	3.25	9.44	9.44	-
529	2.50	9.44	9.44	-
554	1.75	9.44	9.44	-
579	1.00	9.44	9.44	-
604	0.25	9.44	9.44	-
740	9.00	9.00	9.00	-
774	8.00	9.00	9.00	-
808	7.00	9.00	9.00	-
842	6.25	9.00	9.00	-
876	5.50	9.00	9.00	-
910	4.75	9.00	9.00	-
944	4.00	9.00	9.00	-
978	3.25	9.00	9.00	-
1012	2.50	9.00	9.00	-
1046	1.75	9.00	9.00	-
1080	1.00	9.00	9.00	-
1114	0.25	9.00	9.00	-
1148	-	9.00	9.00	-
1182	-	9.00	9.00	-
1216	-	9.00	9.00	-
1250	-	9.00	9.00	-
1284	-	9.00	9.00	-
1318	-	9.00	9.00	-
1352	-	9.00	9.00	-
1386	-	9.00	9.00	-
1420	-	9.00	9.00	-
1454	-	9.00	9.00	-
1488	-	9.00	9.00	-
1522	-	9.00	9.00	-
1556	-	9.00	9.00	-
1590	-	9.00	9.00	-
1624	-	9.00	9.00	-
1658	-	9.00	9.00	-
1692	-	9.00	9.00	-
1726	-	9.00	9.00	-
1760	-	9.00	9.00	-
1794	-	9.00	9.00	-
1828	-	9.00	9.00	-
1862	-	9.00	9.00	-
1896	-	9.00	9.00	-
1930	-	9.00	9.00	-
1964	-	9.00	9.00	-
2000	-	9.00	9.00	-
2034	-	9.00	9.00	-
2068	-	9.00	9.00	-
2102	-	9.00	9.00	-
2136	-	9.00	9.00	-
2170	-	9.00	9.00	-
2204	-	9.00	9.00	-
2238	-	9.00	9.00	-
2272	-	9.00	9.00	-
2306	-	9.00	9.00	-
2340	-	9.00	9.00	-
2374	-	9.00	9.00	-
2408	-	9.00	9.00	-
2442	-	9.00	9.00	-
2476	-	9.00	9.00	-
2510	-	9.00	9.00	-
2544	-	9.00	9.00	-
2578	-	9.00	9.00	-
2612	-	9.00	9.00	-
2646	-	9.00	9.00	-
2680	-	9.00	9.00	-
2714	-	9.00	9.00	-
2748	-	9.00	9.00	-
2782	-	9.00	9.00	-
2816	-	9.00	9.00	-
2850	-	9.00	9.00	-
2884	-	9.00	9.00	-
2918	-	9.00	9.00	-
2952	-	9.00	9.00	-
2986	-	9.00	9.00	-
3020	-	9.00	9.00	-
3054	-	9.00	9.00	-
3088	-	9.00	9.00	-
3122	-	9.00	9.00	-
3156	-	9.00	9.00	-
3190	-	9.00	9.00	-
3224	-	9.00	9.00	-
3258	-	9.00	9.00	-
3292	-	9.00	9.00	-
3326	-	9.00	9.00	-
3360	-	9.00	9.00	-
3394	-	9.00	9.00	-
3428	-	9.00	9.00	-
3462	-	9.00	9.00	-
3496	-	9.00	9.00	-
3530	-	9.00	9.00	-
3564	-	9.00	9.00	-
3600	-	9.00	9.00	-
3634	-	9.00	9.00	-
3668	-	9.00	9.00	-
3702	-	9.00	9.00	-
3736	-	9.00	9.00	-
3770	-	9.00	9.00	-
3804	-	9.00	9.00	-
3838	-	9.00	9.00	-
3872	-	9.00	9.00	-
3906	-	9.00	9.00	-
3940	-	9.00	9.00	-
3974	-	9.00	9.00	-
4008	-	9.00	9.00	-
4042	-	9.00	9.00	-
4076	-	9.00	9.00	-
4110	-	9.00	9.00	-
4144	-	9.00	9.00	-
4178	-	9.00	9.00	-
4212	-	9.00	9.00	-
4246	-	9.00	9.00	-
4280	-	9.00	9.00	-
4314	-	9.00	9.00	-
4348	-	9.00	9.00	-
4382	-	9.00	9.00	-
4416	-	9.00	9.00	-
4450	-	9.00	9.00	-
4484	-	9.00	9.00	-
4518	-	9.00	9.00	-
4552	-	9.00	9.00	-
4586	-	9.00	9.00	-
4620	-	9.00	9.00	-
4654	-	9.00	9.00	-
4688	-	9.00	9.00	-
4722	-	9.00	9.00	-
4756	-	9.00	9.00	-
4790	-	9.00	9.00	-
4824	-	9.00	9.00	-
4858	-	9.00	9.00	-
4892	-	9.00	9.00	-
4926	-	9.00	9.00	-
4960	-	9.00	9.00	-
4994	-	9.00	9.00	-
5028	-	9.00	9.00	-
5062	-	9.00	9.00	-
5096	-	9.00	9.00	-
5130	-	9.00	9.00	-
5164	-	9.00	9.00	-
5200	-	9.00	9.00	-
5234	-	9.00	9.00	-
5268	-	9.00	9.00	-
5302	-	9.00	9.00	-
5336	-	9.00	9.00	-
5370	-	9.00	9.00	-
5404	-	9.00	9.00	-
5438	-	9.00	9.00	-
5472	-	9.00	9.00	-
5506	-	9.00	9.00	-
5540	-	9.00	9.00	-
5574	-	9.00	9.00	-
5608	-	9.00	9.00	-
5642	-	9.00	9.00	-
5676	-	9.00	9.00	-
5710	-	9.00	9.00	-
5744	-	9.00	9.00	-
5778	-	9.00	9.00	-
5812	-	9.00	9.00	-
5846	-	9.00	9.00	-
5880	-	9.00	9.00	-
5914	-	9.00	9.00	-
5948	-	9.00	9.00	-
5982	-	9.00	9.00	-
6016	-	9.00	9.00	-
6050	-	9.00	9.00	-
6084	-	9.00	9.00	-
6118	-	9.00	9.00	-
6152	-	9.00	9.00	-
6186	-	9.00	9.00	-
6220	-	9.00	9.00	-
6254	-	9.00	9.00	-
6288	-	9.00	9.00	-
6322	-	9.00	9.00	-
6356	-	9.00	9.00	-
6390	-	9.00	9.00	-
6424	-	9.00	9.00	-
6458	-	9.00	9.00	-
6492	-	9.00	9.00	-
6526	-	9.00	9.00	-
6560	-	9.00	9.00	-
6594	-	9.00	9.00	-
6628	-	9.00	9.00	-
6662	-	9.00	9.00	-
6696	-	9.00	9.00	-
6730	-	9.00	9.00	-
6764	-	9.00	9.00	-
6800	-	9.00	9.00	-
6834	-	9.00	9.00	-
6868	-	9.00	9.00	-
6902	-	9.00	9.00	-
6936	-	9.00	9.00	-
6970	-	9.00	9.00	-
7004	-	9.00	9.00	-
7038	-	9.00	9.00	-
7072	-	9.00	9.00	-
7106	-	9.00	9.00	-
7140	-	9.00	9.00	-
7174	-	9.00	9.00	-
7208	-	9.00	9.00	-
7242	-	9.00	9.00	-
7276	-	9.00	9.00	-
7310	-	9.00	9.00	-
7344	-	9.00	9.00	-
7378	-	9.00	9.00	-
7412	-	9.00	9.00	-
7446	-	9.00	9.00	-
7480	-	9.00	9.00	-
7514	-	9.00	9.00	-
7548	-	9.00	9.00	-
7582	-	9.00	9.00	-
7616	-	9.00	9.00	-
7650	-	9.00	9.00	-
7684	-	9.00	9.00	-
7718	-	9.00	9.00	-
7752	-	9.00	9.00	-
7786	-	9.00	9.00	-
7820	-	9.00	9.00	-
7854	-	9.00	9.00	-
7888	-	9.00	9.00	-
7922	-	9.00	9.00	-
7956	-	9.00	9.00	-
7990	-	9.00	9.00	-
8024	-	9.00	9.00	-
8058	-	9.00	9.00	-
8092	-	9.00	9.00	-
8126	-	9.00	9.00	-
8160	-	9.00	9.00	-
8194	-	9.00	9.00	-
8228	-	9.00	9.00	-
8262	-	9.00	9.00	-
8296	-	9.00	9.00	-
8330	-	9.00	9.00	-
8364	-	9.00	9.00	-
8400	-	9.00	9.00	-
8434	-	9.00	9.00	-
8468	-	9.00	9.00	-
8502	-	9.00	9.00	-
8536	-	9.00	9.00	-
8570	-	9.00	9.00	-
8604	-	9.00	9.00	-
8638	-	9.00	9.00	-
8672	-	9.00	9.00	-
8706	-	9.00	9.00	-
8740	-	9.00	9.00	-
8774	-	9.00	9.00	-
8808	-	9.00	9.00	-
8842	-	9.00	9.00	-
8876	-	9.00	9.00	-
8910	-	9.00	9.00	-
8944	-	9.00	9.00	-
8978	-	9.00	9.00	-
9012	-	9.00	9.00	-
9046	-	9.00	9.00	-
9080	-	9.00	9.00	-
9114	-	9.00	9.00	-
9148	-	9.00	9.00	-
9182	-	9.00	9.00	-
9216	-	9.00	9.00	-
9250	-	9.00	9.00	-
9284	-	9.00	9.00	-
9318	-	9.00	9.00	-
9352	-	9.00	9.00	-
9386	-	9.00	9.00	-
9420	-	9.00	9.00	-
9454	-	9.00	9.00	-
9488	-	9.00	9.00	-
9522	-	9.00	9.00	-
9556	-	9.00	9.00	-
9590	-	9.00	9.00	-
9624	-	9.00	9.00	-
9658	-	9.00	9.00	-
9692	-	9.00	9.00	-
9726	-	9.00	9.00	-
9760	-	9.00	9.00	-
9794	-	9.00	9.00	-
9828	-	9.00	9.00	-
9862	-	9.00	9.00	-
9900	-	9.00	9.00	-
9934	-	9.00	9.00	-
9968	-	9.00	9.00	-
10002	-	9.00	9.00	-
10036	-	9.00	9.00	-
10070	-	9.00	9.00	-
10104	-	9.00	9.00	-
10138	-	9.00	9.00	-
10172	-	9.00	9.00	-
10206	-	9.00	9.00	-
10240	-	9.00	9.00	-
10274	-			

CLORURO DE METILO

TC = .41630E+03  
 PC = .65900E+00  
 CV = .15800E+00  
 W = .15800E+00

GAS NO POLAR

TEMPERATURA	TEMP-REDU	VISCO-EXPE	VISCO-CAL	% DE ERROR
.23850E+03	.57290E+00	.87900E+02	.84672E+02	.36721E+01
.21215E+03	.60055E+00	.92000E+02	.90968E+02	.60475E+01
.19755E+03	.70000E+00	.10000E+03	.10000E+03	.00000E+00
.18307E+03	.77414E+00	.11000E+03	.11000E+03	.00000E+00
.17000E+03	.84799E+00	.12000E+03	.12000E+03	.00000E+00
.15750E+03	.89599E+00	.13000E+03	.13000E+03	.00000E+00
.14500E+03	.94400E+00	.14000E+03	.14000E+03	.00000E+00
.13300E+03	.96800E+00	.15000E+03	.15000E+03	.00000E+00
.12150E+03	.13773E+01	.16000E+03	.16000E+03	.00000E+00

OXIDO NITROSO

TC = .30970E+03  
 PC = .71790E+00  
 CV = .44020E+00  
 W = .35443E+03

GAS NO POLAR

TEMPERATURA	TEMP-REDU	VISCO-EXPE	VISCO-CAL	% DE ERROR
.17500E+03	.56150E+00	.89820E+02	.86377E+02	.35433E+01
.16450E+03	.61110E+00	.94000E+02	.94141E+02	.14141E+01
.15450E+03	.66110E+00	.99000E+02	.99454E+02	.14454E+01
.14500E+03	.71110E+00	.10400E+03	.10477E+03	.14774E+01
.13600E+03	.76110E+00	.10900E+03	.10917E+03	.15117E+01
.12750E+03	.81110E+00	.11400E+03	.11441E+03	.15441E+01
.12000E+03	.86110E+00	.11900E+03	.11970E+03	.15790E+01
.11300E+03	.91110E+00	.12400E+03	.12440E+03	.16140E+01
.10650E+03	.96110E+00	.12900E+03	.12970E+03	.16470E+01
.10000E+03	.101110E+01	.13400E+03	.13470E+03	.16810E+01
.93500E+03	.106110E+01	.13900E+03	.13951E+03	.17136E+01
.87300E+03	.111110E+01	.14400E+03	.14477E+03	.17477E+01

1,3-BUTADIENO

TC = .42500E+03  
 PC = .42700E+00  
 CV = .24090E+03  
 W = .81672E+03

GAS NO POLAR

TEMPERATURA	TEMP-REDU	VISCO-EXPE	VISCO-CAL	% DE ERROR
.30800E+03	.72471E+00	.89219E+02	.82524E+02	.74950E+01
.30000E+03	.76000E+00	.92600E+02	.86444E+02	.60475E+01
.26600E+03	.79529E+00	.96100E+02	.90335E+02	.59094E+01
.35160E+03	.82729E+00	.98800E+02	.93835E+02	.59768E+01

CICLOHEXANO

TC = .55320E+03  
 PC = .40000E+00  
 PM = .84100E+00  
 CV = .11348E+04  
 W = .18600E+00

GAS NO POLAR

TEMPERATURA	TEMP-REDU	VISCO-EXPE	VISCO-CAL	% DE ERROR
.29800E+03	.53868E+00	.69900E+02	.70111E+02	- .15000E+00
.30000E+03	.53666E+00	.72300E+02	.72499E+02	- .00000E+00
.30200E+03	.53464E+00	.75550E+02	.75530E+02	- .00000E+00
.30400E+03	.53262E+00	.76100E+02	.75912E+02	- .15000E+00
.30600E+03	.53060E+00	.80000E+02	.79880E+02	- .12000E+00
.30800E+03	.52858E+00	.80000E+02	.79770E+02	- .11000E+00
.31000E+03	.52656E+00	.80000E+02	.79660E+02	- .11000E+00
.31200E+03	.52454E+00	.80000E+02	.79550E+02	- .11000E+00
.31400E+03	.52252E+00	.80000E+02	.79440E+02	- .11000E+00
.31600E+03	.52050E+00	.80000E+02	.79330E+02	- .11000E+00
.31800E+03	.51848E+00	.80000E+02	.79220E+02	- .11000E+00
.32000E+03	.51646E+00	.80000E+02	.79110E+02	- .11000E+00
.32200E+03	.51444E+00	.80000E+02	.79000E+02	- .11000E+00
.32400E+03	.51242E+00	.80000E+02	.78890E+02	- .11000E+00
.32600E+03	.51040E+00	.80000E+02	.78780E+02	- .11000E+00
.32800E+03	.50838E+00	.80000E+02	.78670E+02	- .11000E+00
.33000E+03	.50636E+00	.80000E+02	.78560E+02	- .11000E+00
.33200E+03	.50434E+00	.80000E+02	.78450E+02	- .11000E+00
.33400E+03	.50232E+00	.80000E+02	.78340E+02	- .11000E+00
.33600E+03	.50030E+00	.80000E+02	.78230E+02	- .11000E+00
.33800E+03	.49828E+00	.80000E+02	.78120E+02	- .11000E+00
.34000E+03	.49626E+00	.80000E+02	.78010E+02	- .11000E+00
.34200E+03	.49424E+00	.80000E+02	.77900E+02	- .11000E+00
.34400E+03	.49222E+00	.80000E+02	.77790E+02	- .11000E+00
.34600E+03	.49020E+00	.80000E+02	.77680E+02	- .11000E+00
.34800E+03	.48818E+00	.80000E+02	.77570E+02	- .11000E+00
.35000E+03	.48616E+00	.80000E+02	.77460E+02	- .11000E+00
.35200E+03	.48414E+00	.80000E+02	.77350E+02	- .11000E+00
.35400E+03	.48212E+00	.80000E+02	.77240E+02	- .11000E+00
.35600E+03	.48010E+00	.80000E+02	.77130E+02	- .11000E+00
.35800E+03	.47808E+00	.80000E+02	.77020E+02	- .11000E+00
.36000E+03	.47606E+00	.80000E+02	.76910E+02	- .11000E+00
.36200E+03	.47404E+00	.80000E+02	.76800E+02	- .11000E+00
.36400E+03	.47202E+00	.80000E+02	.76690E+02	- .11000E+00
.36600E+03	.47000E+00	.80000E+02	.76580E+02	- .11000E+00
.36800E+03	.46798E+00	.80000E+02	.76470E+02	- .11000E+00
.37000E+03	.46596E+00	.80000E+02	.76360E+02	- .11000E+00
.37200E+03	.46394E+00	.80000E+02	.76250E+02	- .11000E+00
.37400E+03	.46192E+00	.80000E+02	.76140E+02	- .11000E+00
.37600E+03	.45990E+00	.80000E+02	.76030E+02	- .11000E+00
.37800E+03	.45788E+00	.80000E+02	.75920E+02	- .11000E+00
.38000E+03	.45586E+00	.80000E+02	.75810E+02	- .11000E+00
.38200E+03	.45384E+00	.80000E+02	.75700E+02	- .11000E+00
.38400E+03	.45182E+00	.80000E+02	.75590E+02	- .11000E+00
.38600E+03	.44980E+00	.80000E+02	.75480E+02	- .11000E+00
.38800E+03	.44778E+00	.80000E+02	.75370E+02	- .11000E+00
.39000E+03	.44576E+00	.80000E+02	.75260E+02	- .11000E+00
.39200E+03	.44374E+00	.80000E+02	.75150E+02	- .11000E+00
.39400E+03	.44172E+00	.80000E+02	.75040E+02	- .11000E+00
.39600E+03	.43970E+00	.80000E+02	.74930E+02	- .11000E+00
.39800E+03	.43768E+00	.80000E+02	.74820E+02	- .11000E+00
.40000E+03	.43566E+00	.80000E+02	.74710E+02	- .11000E+00
.40200E+03	.43364E+00	.80000E+02	.74600E+02	- .11000E+00
.40400E+03	.43162E+00	.80000E+02	.74490E+02	- .11000E+00
.40600E+03	.42960E+00	.80000E+02	.74380E+02	- .11000E+00
.40800E+03	.42758E+00	.80000E+02	.74270E+02	- .11000E+00
.41000E+03	.42556E+00	.80000E+02	.74160E+02	- .11000E+00
.41200E+03	.42354E+00	.80000E+02	.74050E+02	- .11000E+00
.41400E+03	.42152E+00	.80000E+02	.73940E+02	- .11000E+00
.41600E+03	.41950E+00	.80000E+02	.73830E+02	- .11000E+00
.41800E+03	.41748E+00	.80000E+02	.73720E+02	- .11000E+00
.42000E+03	.41546E+00	.80000E+02	.73610E+02	- .11000E+00
.42200E+03	.41344E+00	.80000E+02	.73500E+02	- .11000E+00
.42400E+03	.41142E+00	.80000E+02	.73390E+02	- .11000E+00
.42600E+03	.40940E+00	.80000E+02	.73280E+02	- .11000E+00
.42800E+03	.40738E+00	.80000E+02	.73170E+02	- .11000E+00
.43000E+03	.40536E+00	.80000E+02	.73060E+02	- .11000E+00
.43200E+03	.40334E+00	.80000E+02	.72950E+02	- .11000E+00
.43400E+03	.40132E+00	.80000E+02	.72840E+02	- .11000E+00
.43600E+03	.39930E+00	.80000E+02	.72730E+02	- .11000E+00
.43800E+03	.39728E+00	.80000E+02	.72620E+02	- .11000E+00
.44000E+03	.39526E+00	.80000E+02	.72510E+02	- .11000E+00
.44200E+03	.39324E+00	.80000E+02	.72400E+02	- .11000E+00
.44400E+03	.39122E+00	.80000E+02	.72290E+02	- .11000E+00
.44600E+03	.38920E+00	.80000E+02	.72180E+02	- .11000E+00
.44800E+03	.38718E+00	.80000E+02	.72070E+02	- .11000E+00
.45000E+03	.38516E+00	.80000E+02	.71960E+02	- .11000E+00
.45200E+03	.38314E+00	.80000E+02	.71850E+02	- .11000E+00
.45400E+03	.38112E+00	.80000E+02	.71740E+02	- .11000E+00
.45600E+03	.37910E+00	.80000E+02	.71630E+02	- .11000E+00
.45800E+03	.37708E+00	.80000E+02	.71520E+02	- .11000E+00
.46000E+03	.37506E+00	.80000E+02	.71410E+02	- .11000E+00
.46200E+03	.37304E+00	.80000E+02	.71300E+02	- .11000E+00
.46400E+03	.37102E+00	.80000E+02	.71190E+02	- .11000E+00
.46600E+03	.36899E+00	.80000E+02	.71080E+02	- .11000E+00
.46800E+03	.36697E+00	.80000E+02	.70970E+02	- .11000E+00
.47000E+03	.36495E+00	.80000E+02	.70860E+02	- .11000E+00
.47200E+03	.36293E+00	.80000E+02	.70750E+02	- .11000E+00
.47400E+03	.36091E+00	.80000E+02	.70640E+02	- .11000E+00
.47600E+03	.35889E+00	.80000E+02	.70530E+02	- .11000E+00
.47800E+03	.35687E+00	.80000E+02	.70420E+02	- .11000E+00
.48000E+03	.35485E+00	.80000E+02	.70310E+02	- .11000E+00
.48200E+03	.35283E+00	.80000E+02	.70200E+02	- .11000E+00
.48400E+03	.35081E+00	.80000E+02	.70090E+02	- .11000E+00
.48600E+03	.34879E+00	.80000E+02	.69980E+02	- .11000E+00
.48800E+03	.34677E+00	.80000E+02	.69870E+02	- .11000E+00
.49000E+03	.34475E+00	.80000E+02	.69760E+02	- .11000E+00
.49200E+03	.34273E+00	.80000E+02	.69650E+02	- .11000E+00
.49400E+03	.34071E+00	.80000E+02	.69540E+02	- .11000E+00
.49600E+03	.33869E+00	.80000E+02	.69430E+02	- .11000E+00
.49800E+03	.33667E+00	.80000E+02	.69320E+02	- .11000E+00
.50000E+03	.33465E+00	.80000E+02	.69210E+02	- .11000E+00
.50200E+03	.33263E+00	.80000E+02	.69100E+02	- .11000E+00
.50400E+03	.33061E+00	.80000E+02	.69000E+02	- .11000E+00
.50600E+03	.32859E+00	.80000E+02	.68890E+02	- .11000E+00
.50800E+03	.32657E+00	.80000E+02	.68780E+02	- .11000E+00
.51000E+03	.32455E+00	.80000E+02	.68670E+02	- .11000E+00
.51200E+03	.32253E+00	.80000E+02	.68560E+02	- .11000E+00
.51400E+03	.32051E+00	.80000E+02	.68450E+02	- .11000E+00
.51600E+03	.31849E+00	.80000E+02	.68340E+02	- .11000E+00
.51800E+03	.31647E+00	.80000E+02	.68230E+02	- .11000E+00
.52000E+03	.31445E+00	.80000E+02	.68120E+02	- .11000E+00
.52200E+03	.31243E+00	.80000E+02	.68010E+02	- .11000E+00
.52400E+03	.31041E+00	.80000E+02	.67900E+02	- .11000E+00
.52600E+03	.30839E+00	.80000E+02	.67790E+02	- .11000E+00
.52800E+03	.30637E+00	.80000E+02	.67680E+02	- .11000E+00
.53000E+03	.30435E+00	.80000E+02	.67570E+02	- .11000E+00
.53200E+03	.30233E+00	.80000E+02	.67460E+02	- .11000E+00
.53400E+03	.30031E+00	.80000E+02	.67350E+02	- .11000E+00
.53600E+03	.29829E+00	.80000E+02	.67240E+02	- .11000E+00
.53800E+03	.29627E+00	.80000E+02	.67130E+02	- .11000E+00
.54000E+03	.29425E+00	.80000E+02	.67020E+02	- .11000E+00
.54200E+03	.29223E+00	.80000E+02	.66910E+02	- .11000E+00
.54400E+03	.29021E+00	.80000E+02	.66800E+02	- .11000E+00
.54600E+03	.28819E+00	.80000E+02	.66690E+02	- .11000E+00
.54800E+03	.28617E+00	.80000E+02	.66580E+02	- .11000E+00
.55000E+03	.28415E+00	.80000E+02	.66470E+02	- .11000E+00
.55200E+03	.28213E+00	.80000E+02	.66360E+02	- .11000E+00
.55400E+03	.28011E+00	.80000E+02	.66250E+02	- .11000E+00
.55600E+03	.27809E+00	.80000E+02	.66140E+02	- .11000E+00
.55800E+03	.27607E+00	.80000E+02	.66030E+02	- .11000E+00
.56000E+03	.27405E+00	.80000E+02	.65920E+02	- .11000E+00
.56200E+03	.27203E+00	.80000E+02	.65810E+02	- .11000E+00
.56400E+03	.27001E+00	.80000E+02	.65700E+02	- .11000E+00
.56600E+03	.26799E+00	.80000E+02	.65590E+02	- .11000E+00
.56800E+03	.26597E+00	.80000E+02	.65480E+02	- .11000E+00
.57000E+03	.26395E+00	.80000E+02	.65370E+02	- .11000E+00
.57200E+03	.26193E+00	.80000E+02	.65260E+02	- .11000E+00
.57400E+03	.25991E+00	.80000E+02	.65150E+02	- .11000E+00
.57600E+03	.25789E+00	.80000E+02	.65040E+02	- .11000E+00
.57800E+03	.25587E+00	.80000E+02	.64930E+02	- .11000E+00
.58000E+03	.25385E+00	.80000E+02	.64820E+02	- .11000E+00
.58200E+03	.25183E+00	.80000E+02	.64710E+02	- .11000E+00
.58400E+03	.24981E+00	.80000E+02	.64600E+02	- .11000E+00
.58600E+03	.24779E+00	.80000E+02	.64490E+02	- .11000E+00
.58800E+03	.24577E+00	.80000E+02	.64380E+02	- .11000E+00
.59000E+03	.24375E+00	.80000E+02	.64270E+02	- .11000E+00
.59200E+03	.24173E+00	.80000E+02	.64160E+02	- .11000E+00
.59400E+03	.23971E+00	.80000E+02	.64050E+02	- .11000E+00
.59600E+03	.23769E+00	.80000E+02	.63940E+02	- .11000E+00
.59800E+03	.23567E+00	.80000E+02	.63830E+02	- .11000E+00
.60000E+03	.23365E+00	.80000E+02	.63720E+02	- .11000E+00
.60200E+03	.23163E+00	.80000E+02	.63610E+02	- .11000E+00
.60400E+03	.22961E+00	.80000E+02	.63500E+02	- .11000E+00
.60600E+03	.22759E+00	.80000E+02	.63390E+02	

TETRAFLORURO DE CARBONO

TC	=	• 22770
PC	=	• 41040
CV	=	• 00036
W	=	• 19100

GAS NO POLAR

TEMPERATURA	TEMP.-REDU	VISCO-EXPE	VISCO-CAL	% DE ERROR
93	128	17	195	144
90	130	17	98	93
88	130	17	91	86
87	130	17	91	86
86	130	17	91	86
85	130	17	91	86
84	130	17	91	86
83	130	17	91	86
82	130	17	91	86
81	130	17	91	86
80	130	17	91	86
79	130	17	91	86
78	130	17	91	86
77	130	17	91	86
76	130	17	91	86
75	130	17	91	86
74	130	17	91	86
73	130	17	91	86
72	130	17	91	86
71	130	17	91	86
70	130	17	91	86
69	130	17	91	86
68	130	17	91	86
67	130	17	91	86
66	130	17	91	86
65	130	17	91	86
64	130	17	91	86
63	130	17	91	86
62	130	17	91	86
61	130	17	91	86
60	130	17	91	86
59	130	17	91	86
58	130	17	91	86
57	130	17	91	86
56	130	17	91	86
55	130	17	91	86
54	130	17	91	86
53	130	17	91	86
52	130	17	91	86
51	130	17	91	86
50	130	17	91	86
49	130	17	91	86
48	130	17	91	86
47	130	17	91	86
46	130	17	91	86
45	130	17	91	86
44	130	17	91	86
43	130	17	91	86
42	130	17	91	86
41	130	17	91	86
40	130	17	91	86
39	130	17	91	86
38	130	17	91	86
37	130	17	91	86
36	130	17	91	86
35	130	17	91	86
34	130	17	91	86
33	130	17	91	86
32	130	17	91	86
31	130	17	91	86
30	130	17	91	86
29	130	17	91	86
28	130	17	91	86
27	130	17	91	86
26	130	17	91	86
25	130	17	91	86
24	130	17	91	86
23	130	17	91	86
22	130	17	91	86
21	130	17	91	86
20	130	17	91	86
19	130	17	91	86
18	130	17	91	86
17	130	17	91	86
16	130	17	91	86
15	130	17	91	86
14	130	17	91	86
13	130	17	91	86
12	130	17	91	86
11	130	17	91	86
10	130	17	91	86
9	130	17	91	86
8	130	17	91	86
7	130	17	91	86
6	130	17	91	86
5	130	17	91	86
4	130	17	91	86
3	130	17	91	86
2	130	17	91	86
1	130	17	91	86
0	130	17	91	86

CICLOPENTANO

TC	=	• 51220
PC	=	• 4116
CV	=	• 0036
W	=	• 1933

GAS NO POLAR

TEMPERATURA	TEMP.-PEDU	VISCO-EXPE	VISCO-CAL	% DE ERROR
73	53299	+00	68930	13871
72	53299	+00	68930	13871
71	53299	+00	68930	13871
70	53299	+00	68930	13871
69	53299	+00	68930	13871
68	53299	+00	68930	13871
67	53299	+00	68930	13871
66	53299	+00	68930	13871
65	53299	+00	68930	13871
64	53299	+00	68930	13871
63	53299	+00	68930	13871
62	53299	+00	68930	13871
61	53299	+00	68930	13871
60	53299	+00	68930	13871
59	53299	+00	68930	13871
58	53299	+00	68930	13871
57	53299	+00	68930	13871
56	53299	+00	68930	13871
55	53299	+00	68930	13871
54	53299	+00	68930	13871
53	53299	+00	68930	13871
52	53299	+00	68930	13871
51	53299	+00	68930	13871
50	53299	+00	68930	13871
49	53299	+00	68930	13871
48	53299	+00	68930	13871
47	53299	+00	68930	13871
46	53299	+00	68930	13871
45	53299	+00	68930	13871
44	53299	+00	68930	13871
43	53299	+00	68930	13871
42	53299	+00	68930	13871
41	53299	+00	68930	13871
40	53299	+00	68930	13871
39	53299	+00	68930	13871
38	53299	+00	68930	13871
37	53299	+00	68930	13871
36	53299	+00	68930	13871
35	53299	+00	68930	13871
34	53299	+00	68930	13871
33	53299	+00	68930	13871
32	53299	+00	68930	13871
31	53299	+00	68930	13871
30	53299	+00	68930	13871
29	53299	+00	68930	13871
28	53299	+00	68930	13871
27	53299	+00	68930	13871
26	53299	+00	68930	13871
25	53299	+00	68930	13871
24	53299	+00	68930	13871
23	53299	+00	68930	13871
22	53299	+00	68930	13871
21	53299	+00	68930	13871
20	53299	+00	68930	13871
19	53299	+00	68930	13871
18	53299	+00	68930	13871
17	53299	+00	68930	13871
16	53299	+00	68930	13871
15	53299	+00	68930	13871
14	53299	+00	68930	13871
13	53299	+00	68930	13871
12	53299	+00	68930	13871
11	53299	+00	68930	13871
10	53299	+00	68930	13871
9	53299	+00	68930	13871
8	53299	+00	68930	13871
7	53299	+00	68930	13871
6	53299	+00	68930	13871
5	53299	+00	68930	13871
4	53299	+00	68930	13871
3	53299	+00	68930	13871
2	53299	+00	68930	13871
1	53299	+00	68930	13871
0	53299	+00	68930	13871

### NEO-PENTANO

35004  
 00000  
 + + + + +  
 00000  
 00000

GAS NO POLAR

11-BUTANOL

TC  
 DCD  
 2500  
 1000  
 500  
 200  
 100  
 50  
 25  
 10  
 5  
 2  
 1

GAS NO PULAR

TETRACLORURO DE CARBONO

TC = .55640E+03  
 PC = .45000E+02  
 PM = .15380E+03  
 CV = .10140E+04  
 W = .20200E+00

GAS NO POLAR

TEMPERATURA	TEMP-REDU	VISCO-EXPE	VISCO-CAL	% DE ERROR
.32300E+03	.58052E+00	.10740E+03	.11038E+03	.27739E+01
.39000E+03	.67038E+00	.11920E+03	.13587E+03	.26924E+01
.42300E+03	.71531E+00	.11900E+03	.14462E+03	.24621E+01
.47000E+03	.76024E+00	.11900E+03	.16606E+03	.20801E+01
.47700E+03	.80501E+00	.11900E+03	.17676E+03	.19201E+01
.52000E+03	.88501E+00	.11900E+03	.17676E+03	.19201E+01
.57300E+03	.93900E+00	.11900E+03	.19244E+03	.15906E+01
	.10298E+01	.11900E+03	.19244E+03	.15906E+01

CLORURO DE METILENO

TC = .51000E+03  
 PC = .60000E+02  
 PM = .89940E+02  
 CV = .89748E+03  
 W = .21300E+00

GAS NO POLAR

TEMPERATURA	TEMP-REDU	VISCO-EXPE	VISCO-CAL	% DE ERROR
.29300E+03	.57451E+00	.98500E+02	.10260E+03	.41649E+01
.37300E+03	.73137E+00	.12650E+03	.13044E+03	.31123E+01
.47300E+03	.93745E+00	.16000E+03	.16392E+03	.24507E+01
.57300E+03	.11235E+01	.19250E+03	.19595E+03	.17899E+01

CLOROFORMO

TC = .5436000E+03  
 PC = .5140000E+02  
 PM = .1145000E+03  
 CV = .2145000E+03  
 W = .214500E+00

GAS NO POLAR

TEMPERATURA	TEMP-REDU	VISCO-EXPE	VISCO-CAL	% DE ERROR
.29300E+03	.54638E+00	.1000000E+03	.10378E+03	.77660E+01
.37700E+03	.68691E+00	.1200000E+03	.11451E+03	.74470E+01
.47900E+03	.80844E+00	.1400000E+03	.13241E+03	.74470E+01
.50200E+03	.87871E+00	.1400000E+03	.13241E+03	.74470E+01
.51000E+03	.97807E+00	.1825000E+03	.17970E+03	.66660E+01
.51100E+03	.10200E+01	.1825000E+03	.17970E+03	.66660E+01
.51100E+03	.11100E+01	.2080000E+03	.21501E+03	.55555E+01
.62300E+03	.11610E+01	.2080000E+03	.21501E+03	.55555E+01

BENCENO

TC  
 C  
 E  
 V  
 W  
 H H H H H H H H

GAS NO POLAR

TEMPERATURA	TEMP_REDU	VISCO-EXPE	VISCO-CAL	% DE ERROR
288	000	000	000	000
285	000	000	000	000
280	000	000	000	000
275	000	000	000	000
270	000	000	000	000
265	000	000	000	000
260	000	000	000	000
255	000	000	000	000
250	000	000	000	000
245	000	000	000	000
240	000	000	000	000
235	000	000	000	000
230	000	000	000	000
225	000	000	000	000
220	000	000	000	000
215	000	000	000	000
210	000	000	000	000
205	000	000	000	000
200	000	000	000	000
195	000	000	000	000
190	000	000	000	000
185	000	000	000	000
180	000	000	000	000
175	000	000	000	000
170	000	000	000	000
165	000	000	000	000
160	000	000	000	000
155	000	000	000	000
150	000	000	000	000
145	000	000	000	000
140	000	000	000	000
135	000	000	000	000
130	000	000	000	000
125	000	000	000	000
120	000	000	000	000
115	000	000	000	000
110	000	000	000	000
105	000	000	000	000
100	000	000	000	000
95	000	000	000	000
90	000	000	000	000
85	000	000	000	000
80	000	000	000	000
75	000	000	000	000
70	000	000	000	000
65	000	000	000	000
60	000	000	000	000
55	000	000	000	000
50	000	000	000	000
45	000	000	000	000
40	000	000	000	000
35	000	000	000	000
30	000	000	000	000
25	000	000	000	000
20	000	000	000	000
15	000	000	000	000
10	000	000	000	000
5	000	000	000	000
0	000	000	000	000

### TRANS-2-BUTENO

• 4128  
• 4125  
• 4124  
• 2340

GAS NO POLAR

#### *n*-PENTANO

GAS NO POLAR

## HEXAFLUOPURO DE AZUFRE

TC	31870	+03
PCM	37100	+00
CW	14600	+00
	70400	+00
	25700E	+00

GAS NO POLAR

TEMPERATURA	TEMP-REDU	VISCO-EXPE	VISCO-CAL	% DE ERPOP
2	•	•	•	7
3	•	•	•	1
4	•	•	•	0
5	•	•	•	0
6	•	•	•	0
7	•	•	•	0
8	•	•	•	0
9	•	•	•	0
10	•	•	•	0
11	•	•	•	0
12	•	•	•	0
13	•	•	•	0
14	•	•	•	0
15	•	•	•	0
16	•	•	•	0
17	•	•	•	0
18	•	•	•	0
19	•	•	•	0
20	•	•	•	0
21	•	•	•	0
22	•	•	•	0
23	•	•	•	0
24	•	•	•	0
25	•	•	•	0
26	•	•	•	0
27	•	•	•	0
28	•	•	•	0
29	•	•	•	0
30	•	•	•	0
31	•	•	•	0
32	•	•	•	0
33	•	•	•	0
34	•	•	•	0
35	•	•	•	0
36	•	•	•	0
37	•	•	•	0
38	•	•	•	0
39	•	•	•	0
40	•	•	•	0
41	•	•	•	0
42	•	•	•	0
43	•	•	•	0
44	•	•	•	0
45	•	•	•	0
46	•	•	•	0
47	•	•	•	0
48	•	•	•	0
49	•	•	•	0
50	•	•	•	0
51	•	•	•	0
52	•	•	•	0
53	•	•	•	0
54	•	•	•	0
55	•	•	•	0
56	•	•	•	0
57	•	•	•	0
58	•	•	•	0
59	•	•	•	0
60	•	•	•	0
61	•	•	•	0
62	•	•	•	0
63	•	•	•	0
64	•	•	•	0
65	•	•	•	0
66	•	•	•	0
67	•	•	•	0
68	•	•	•	0
69	•	•	•	0
70	•	•	•	0
71	•	•	•	0
72	•	•	•	0
73	•	•	•	0
74	•	•	•	0
75	•	•	•	0
76	•	•	•	0
77	•	•	•	0
78	•	•	•	0
79	•	•	•	0
80	•	•	•	0
81	•	•	•	0
82	•	•	•	0
83	•	•	•	0
84	•	•	•	0
85	•	•	•	0
86	•	•	•	0
87	•	•	•	0
88	•	•	•	0
89	•	•	•	0
90	•	•	•	0
91	•	•	•	0
92	•	•	•	0
93	•	•	•	0
94	•	•	•	0
95	•	•	•	0
96	•	•	•	0
97	•	•	•	0
98	•	•	•	0
99	•	•	•	0
100	•	•	•	0

## DIOXÍDO DE AZUFRE

GAS NO PULAR

## TOLUENO

T C E L V W  
 P D C V M  
 H H H H H H

GAS NO PULAR

HEXANO

TC = .50730E+03  
 PC = .29900E+03  
 PM = .86170E+02  
 CV = .13922E+04  
 W = .29000E+00

GAS NO POLAR

TEMPERATURA	TEMP-REDU	VISCO-EXPE	VISCO-CAL	% DE ERROR
.30800E+03	.69714E+00	.70900E+02	.69511E+02	.61907E+01
.31000E+03	.69670E+00	.71400E+02	.71903E+02	.20975E+01
.31200E+03	.69642E+00	.73400E+02	.73703E+02	.18001E+01
.31400E+03	.69677E+00	.74500E+02	.75707E+02	.17001E+01
.31600E+03	.69710E+00	.79400E+02	.90857E+02	.27200E+01
.31800E+03	.69834E+00	.93400E+02	.10639E+03	.24141E+01
.32000E+03	.69834E+00	.105900E+03	.120083E+03	.34150E+01
.32200E+03	.69955E+01	.12510E+03		

2-4-DIMETIL PENTANO

TC = .52030E+03  
 PC = .27400E+02  
 PM = .16020E+03  
 CV = .15502E+04  
 W = .30700E+00

GAS NO POLAR

TEMPERATURA	TEMP-REDU	VISCO-EXPE	VISCO-CAL	% DE ERROR
.34280E+03	.65885E+00	.75100E+02	.73045E+02	.27358E+01
.34500E+03	.66654E+00	.75600E+02	.73892E+02	.26460E+01
.34720E+03	.67461E+00	.76700E+02	.74778E+02	.25041E+01
.34930E+03	.68172E+00	.77300E+02	.75559E+02	.24661E+01
.35136E+03	.68699E+00	.78300E+02	.76465E+02	.19477E+01
.35360E+03	.69883E+00	.79050E+02	.77431E+02	.24633E+01
.35717E+03	.71440E+00	.80700E+02	.79129E+02	.19463E+01

2-2-4-TRIMETIL PENTANO

TC = .54340E+03  
 PC = .25400E+02  
 PM = .11422E+03  
 CV = .17052E+04  
 W = .31000E+00

GAS NO POLAR

TEMPERATURA	TEMP-REDU	VISCO-EXPE	VISCO-CAL	% DE ERPOP
.35430E+03	.65293E+00	.75800E+02	.72941E+02	.37719E+01
.35685E+03	.65974E+00	.76600E+02	.73697E+02	.37897E+01
.35912E+03	.66047E+00	.77000E+02	.74248E+02	.35753E+01
.36138E+03	.66094E+00	.77300E+02	.74779E+02	.36061E+01
.35780E+03	.67665E+00	.78100E+02	.75593E+02	.36061E+01
.37180E+03	.68421E+00	.78700E+02	.76407E+02	.29140E+01

DIFENIL METANO

TC = .77020E+03  
 PC = .28200E+02  
 PM = .16823E+03  
 CV = .22411E+04  
 W = .34800E+00

GAS NO POLAR

TEMPERATURA	TEMP-REDU	VISCO-EXPE	VISCO-CAL	% DE ERROP
.43880E+03	.56972E+00	.81100E+02	.77942E+02	.38945E+01
.49150E+03	.63815E+00	.90260E+02	.87355E+02	.35107E+01
.58070E+03	.75396E+00	.10490E+03	.10599E+03	.18173E+01
.63370E+03	.82277E+00	.11320E+03	.11210E+03	.66826E+00

HEPTANO

TC = .54020E+03  
 PC = .27000E+02  
 PM = .10000E+03  
 CV = .16417E+04  
 W = .35200E+00

GAS NO POLAR

TEMPERATURA	TEMP-REDU	VISCO-EXPL	VISCO-CAL	% DE ERROR
.33800E+03	.62569E+00	.71200E+02	.68109E+02	.43410E+01
.42645E+03	.66502E+00	.73400E+02	.69549E+02	.38958E+01
.51650E+03	.67530E+00	.74200E+02	.71086E+02	.41970E+01
.61770E+03	.69344E+00	.75900E+02	.72287E+02	.44421E+01
.72770E+03	.70919E+00	.71100E+02	.70201E+02	.39444E+01
.84200E+03	.70841E+00	.80050E+02	.85567E+02	.94477E+01
.97520E+03	.87967E+00	.91000E+02	.95056E+02	.44551E+01
.52460E+03	.67112E+00	.98400E+02	.10439E+03	.50238E+01

ACETATO DE ETILO

TC = .52330E+03  
 PC = .37800E+02  
 PM = .88100E+02  
 CV = .11300E+04  
 W = .36200E+00

GAS NO POLAR

TEMPERATURA	TEMP-REDU	VISCO-EXPE	VISCO-CAL	% DE ERROP
.39800E+03	.76056E+00	.10080E+03	.97394E+02	.33790E+01
.44800E+03	.85611E+00	.11600E+03	.10821E+03	.41216E+01
.52300E+03	.99943E+00	.13000E+03	.12646E+03	.51321E+01
.59800E+03	.11427E+01	.15000E+03	.14317E+03	.63052E+01

OCTANO

GAS NO POLAR

## DIOXIDO DE CARBONO

T	3	20	E	+	0	3
P	7	0	E	+	0	2
C	2	9	E	+	0	2
M	9	0	E	+	0	3
V	0	1	E	+	0	0
W	4	1	E	+	0	0
	4	2	0	0	E	+

GAS NO POLAR

DIFENIL ETER

TC = .76720E+03  
 PR = .30900E+02  
 PR = .17020E+03  
 CV = .20373E+04  
 W = .43500E+00

GAS NO POLAR

TEMPERATURA	TEMP-REDU	VISCO-EXPE	VISCO-CAL	% DE ERROR
.44900E+03	.58525E+00	.82500E+02	.85268E+02	.3552E+01
.47220E+03	.61525E+00	.87700E+02	.89607E+02	.1452E+01
.5200E+03	.68848E+00	.96800E+02	.10001E+03	.2500E+01
.00300E+03	.78792E+00	.10860E+03	.11474E+03	.5307E+01
.63660E+03	.82977E+00	.11380E+03	.12038E+03	.57858E+01

NONANO

TC = .59540E+03  
 PR = .22640E+02  
 PR = .12820E+03  
 CV = .21618E+04  
 W = .44100E+00

GAS NO POLAR

TEMPERATURA	TEMP-REDU	VISCO-EXPE	VISCO-CAL	% DE ERROR
.37330E+03	.62697E+00	.62000E+02	.67140E+02	.82904E+01
.42330E+03	.71095E+00	.78500E+02	.76074E+02	.11096E+02
.47510E+03	.79795E+00	.76000E+02	.85166E+02	.12059E+02
.52380E+03	.87974E+00	.82400E+02	.93558E+02	.13541E+02

CICLOPROPANO

TC = .406670E+03  
 PR = .57200E+02  
 PR = .42000E+03  
 CV = .08343E+03  
 W = .59300E+00

GAS NO POLAR

TEMPERATURA	TEMP-REDU	VISCO-EXPE	VISCO-CAL	% DE ERROR
.30820E+03	.75731E+00	.92100E+02	.91067E+02	.14110E+01
.30820E+03	.75731E+00	.94700E+02	.94700E+02	.00000E+00
.31110E+03	.76021E+00	.95900E+02	.95900E+02	.00000E+00
.31110E+03	.79421E+00	.96900E+02	.96900E+02	.00000E+00
.31110E+03	.79421E+00	.99800E+02	.99800E+02	.00000E+00
.31110E+03	.81410E+00	.99800E+02	.99800E+02	.00000E+00
.31110E+03	.84410E+00	.10140E+03	.10140E+03	.00000E+00
.31110E+03	.84410E+00	.10440E+03	.10440E+03	.00000E+00
.31110E+03	.86010E+00	.10440E+03	.10440E+03	.00000E+00
.31110E+03	.91010E+00	.10604E+03	.10604E+03	.00000E+00
.31110E+03	.91010E+00	.11004E+03	.11004E+03	.00000E+00
.31110E+03	.10959E+01	.12900E+03	.12952E+03	.04900E+00

OXIDO NITRICO

$T_C = 180000E+03$   
 $P_C = 3640000E+02$   
 $D_C = 2300100E+02$   
 $W_C = 23078E+03$   
 $\cdot 600000E+00$

GAS NO POLAR

TEMPERATURA	TEMP-REDU	VISCO-EXPE	VISCO-CAL	% DE ERROR
273	1	1	1	1
297	1	1	1	1
321	1	1	1	1
345	1	1	1	1
369	1	1	1	1
393	1	1	1	1
417	1	1	1	1
441	1	1	1	1
465	1	1	1	1
489	1	1	1	1
513	1	1	1	1
537	1	1	1	1
561	1	1	1	1
585	1	1	1	1
609	1	1	1	1
633	1	1	1	1
657	1	1	1	1
681	1	1	1	1
705	1	1	1	1
729	1	1	1	1
753	1	1	1	1
777	1	1	1	1
801	1	1	1	1
825	1	1	1	1
849	1	1	1	1
873	1	1	1	1
897	1	1	1	1
921	1	1	1	1
945	1	1	1	1
969	1	1	1	1
993	1	1	1	1
1017	1	1	1	1
1041	1	1	1	1
1065	1	1	1	1
1089	1	1	1	1
1113	1	1	1	1
1137	1	1	1	1
1161	1	1	1	1
1185	1	1	1	1
1209	1	1	1	1
1233	1	1	1	1
1257	1	1	1	1
1281	1	1	1	1
1305	1	1	1	1
1329	1	1	1	1
1353	1	1	1	1
1377	1	1	1	1
1401	1	1	1	1
1425	1	1	1	1
1449	1	1	1	1
1473	1	1	1	1
1500	1	1	1	1
1527	1	1	1	1
1554	1	1	1	1
1581	1	1	1	1
1608	1	1	1	1
1635	1	1	1	1
1662	1	1	1	1
1689	1	1	1	1
1716	1	1	1	1
1743	1	1	1	1
1770	1	1	1	1
1800	1	1	1	1
1830	1	1	1	1
1860	1	1	1	1
1890	1	1	1	1
1920	1	1	1	1
1950	1	1	1	1
1980	1	1	1	1
2010	1	1	1	1
2040	1	1	1	1
2070	1	1	1	1
2100	1	1	1	1
2130	1	1	1	1
2160	1	1	1	1
2190	1	1	1	1
2220	1	1	1	1
2250	1	1	1	1
2280	1	1	1	1
2310	1	1	1	1
2340	1	1	1	1
2370	1	1	1	1
2400	1	1	1	1
2430	1	1	1	1
2460	1	1	1	1
2490	1	1	1	1
2520	1	1	1	1
2550	1	1	1	1
2580	1	1	1	1
2610	1	1	1	1
2640	1	1	1	1
2670	1	1	1	1
2700	1	1	1	1
2730	1	1	1	1
2760	1	1	1	1
2790	1	1	1	1
2820	1	1	1	1
2850	1	1	1	1
2880	1	1	1	1
2910	1	1	1	1
2940	1	1	1	1
2970	1	1	1	1
3000	1	1	1	1
3030	1	1	1	1
3060	1	1	1	1
3090	1	1	1	1
3120	1	1	1	1
3150	1	1	1	1
3180	1	1	1	1
3210	1	1	1	1
3240	1	1	1	1
3270	1	1	1	1
3300	1	1	1	1
3330	1	1	1	1
3360	1	1	1	1
3390	1	1	1	1
3420	1	1	1	1
3450	1	1	1	1
3480	1	1	1	1
3510	1	1	1	1
3540	1	1	1	1
3570	1	1	1	1
3600	1	1	1	1
3630	1	1	1	1
3660	1	1	1	1
3690	1	1	1	1
3720	1	1	1	1
3750	1	1	1	1
3780	1	1	1	1
3810	1	1	1	1
3840	1	1	1	1
3870	1	1	1	1
3900	1	1	1	1
3930	1	1	1	1
3960	1	1	1	1
3990	1	1	1	1
4020	1	1	1	1
4050	1	1	1	1
4080	1	1	1	1
4110	1	1	1	1
4140	1	1	1	1
4170	1	1	1	1
4200	1	1	1	1
4230	1	1	1	1
4260	1	1	1	1
4290	1	1	1	1
4320	1	1	1	1
4350	1	1	1	1
4380	1	1	1	1
4410	1	1	1	1
4440	1	1	1	1
4470	1	1	1	1
4500	1	1	1	1
4530	1	1	1	1
4560	1	1	1	1
4590	1	1	1	1
4620	1	1	1	1
4650	1	1	1	1
4680	1	1	1	1
4710	1	1	1	1
4740	1	1	1	1
4770	1	1	1	1
4800	1	1	1	1
4830	1	1	1	1
4860	1	1	1	1
4890	1	1	1	1
4920	1	1	1	1
4950	1	1	1	1
4980	1	1	1	1
5010	1	1	1	1
5040	1	1	1	1
5070	1	1	1	1
5100	1	1	1	1
5130	1	1	1	1
5160	1	1	1	1
5190	1	1	1	1
5220	1	1	1	1
5250	1	1	1	1
5280	1	1	1	1
5310	1	1	1	1
5340	1	1	1	1
5370	1	1	1	1
5400	1	1	1	1
5430	1	1	1	1
5460	1	1	1	1
5490	1	1	1	1
5520	1	1	1	1
5550	1	1	1	1
5580	1	1	1	1
5610	1	1	1	1
5640	1	1	1	1
5670	1	1	1	1
5700	1	1	1	1
5730	1	1	1	1
5760	1	1	1	1
5790	1	1	1	1
5820	1	1	1	1
5850	1	1	1	1
5880	1	1	1	1
5910	1	1	1	1
5940	1	1	1	1
5970	1	1	1	1
6000	1	1	1	1

ACIDO SULFIHIDRICO

$T_C = .37300E+03$   
 $P_C = .86900E+02$   
 $P_H = .34000E+02$   
 $C_V = .92417E+02$   
 $\eta = .10000E+00$   
 $Z = .20800E+00$

GAS POLAR

TEMPERATURA	TEMP-PLDU	VISCO-EXPE	VISCO CAL	% DE ERROR
.22890E+03	.59127E+00	.90800E+02	.89500E+02	.55178E+00
.25200E+03	.62722E+00	.97000E+02	.97000E+02	.30974E+00
.27520E+03	.67612E+00	.10300E+03	.10300E+03	.10790E+00
.27840E+03	.74518E+00	.11500E+03	.11500E+03	.12200E+00
.30060E+03	.77677E+00	.12500E+03	.12500E+03	.12500E+00
.30650E+03	.82040E+00	.13000E+03	.13000E+03	.13000E+00
.30800E+03	.86441E+00	.13000E+03	.13000E+03	.13000E+00
.32800E+03	.98035E+00	.15000E+03	.15000E+03	.15000E+00
.33320E+03	.99293E+00	.16100E+03	.15800E+03	.18549E+01
.37670E+03	.10283E+01	.15000E+03	.15000E+03	.10486E+01
.41670E+03	.10300E+01	.17479E+03	.17479E+03	.10535E+01
.48300E+03	.12228E+01	.20250E+03	.20725E+03	.23435E+01

DIMETIL ETLP

$T_C = .40010E+03$   
 $P_C = .52600E+02$   
 $P_H = .46070E+02$   
 $C_V = .17768E+03$   
 $\eta = .2600E+00$   
 $Z = .28500E+00$

GAS POLAR

TEMPERATURA	TEMP-PLDU	VISCO-EXPE	VISCO CAL	% DE ERROR
.29300E+03	.72232E+00	.90200E+02	.89525E+02	.20628E+01
.33300E+03	.82226E+00	.10400E+03	.10224E+03	.19675E+00
.39300E+03	.96225E+00	.12250E+03	.12208E+03	.40675E+00

AMONIACO

$T_C = 40550E+03$   
 $P_C = 11130E+03$   
 $C_V = 17050E+03$   
 $W = 723447E+002$   
 $Z = 25400E+000$   
 $Z = 24200E+000$

GAS POLAR

TEMPERATURA	TEMP-REDU	VISCO-EXPE	VISCO CAL	% DE ERROR
170	738	754	754	5478
173	734	804	804	101
177	730	844	844	0
180	726	870	870	0
184	720	900	900	0
187	714	920	920	0
190	708	940	940	0
193	701	955	955	0
197	694	960	960	0
200	687	965	965	0
203	680	968	968	0
206	673	970	970	0
209	666	972	972	0
212	659	974	974	0
215	652	976	976	0
218	645	978	978	0
221	638	980	980	0
224	631	982	982	0
227	624	984	984	0
230	617	986	986	0
233	610	988	988	0
236	603	990	990	0
239	596	992	992	0
242	589	994	994	0
245	582	996	996	0
248	575	998	998	0
251	568	1000	1000	0
254	561	1002	1002	0
257	554	1004	1004	0
260	547	1006	1006	0
263	540	1008	1008	0
266	533	1010	1010	0
269	526	1012	1012	0
272	519	1014	1014	0
275	512	1016	1016	0
278	505	1018	1018	0
281	498	1020	1020	0
284	491	1022	1022	0
287	484	1024	1024	0
290	477	1026	1026	0
293	470	1028	1028	0
296	463	1030	1030	0
299	456	1032	1032	0
302	449	1034	1034	0
305	442	1036	1036	0
308	435	1038	1038	0
311	428	1040	1040	0
314	421	1042	1042	0
317	414	1044	1044	0
320	407	1046	1046	0
323	400	1048	1048	0
326	393	1050	1050	0
329	386	1052	1052	0
332	379	1054	1054	0
335	372	1056	1056	0
338	365	1058	1058	0
341	358	1060	1060	0
344	351	1062	1062	0
347	344	1064	1064	0
350	337	1066	1066	0
353	330	1068	1068	0
356	323	1070	1070	0
359	316	1072	1072	0
362	309	1074	1074	0
365	302	1076	1076	0
368	295	1078	1078	0
371	288	1080	1080	0
374	281	1082	1082	0
377	274	1084	1084	0
380	267	1086	1086	0
383	260	1088	1088	0
386	253	1090	1090	0
389	246	1092	1092	0
392	239	1094	1094	0
395	232	1096	1096	0
398	225	1098	1098	0
401	218	1100	1100	0
404	211	1102	1102	0
407	204	1104	1104	0
410	197	1106	1106	0
413	190	1108	1108	0
416	183	1110	1110	0
419	176	1112	1112	0
422	169	1114	1114	0
425	162	1116	1116	0
428	155	1118	1118	0
431	148	1120	1120	0
434	141	1122	1122	0
437	134	1124	1124	0
440	127	1126	1126	0
443	120	1128	1128	0
446	113	1130	1130	0
449	106	1132	1132	0
452	99	1134	1134	0
455	92	1136	1136	0
458	85	1138	1138	0
461	78	1140	1140	0
464	71	1142	1142	0
467	64	1144	1144	0
470	57	1146	1146	0
473	50	1148	1148	0
476	43	1150	1150	0
479	36	1152	1152	0
482	29	1154	1154	0
485	22	1156	1156	0
488	15	1158	1158	0
491	8	1160	1160	0
494	1	1162	1162	0
497	-2	1164	1164	0
500	-9	1166	1166	0
503	-16	1168	1168	0
506	-23	1170	1170	0
509	-30	1172	1172	0
512	-37	1174	1174	0
515	-44	1176	1176	0
518	-51	1178	1178	0
521	-58	1180	1180	0
524	-65	1182	1182	0
527	-72	1184	1184	0
530	-79	1186	1186	0
533	-86	1188	1188	0
536	-93	1190	1190	0
539	-100	1192	1192	0
542	-107	1194	1194	0
545	-114	1196	1196	0
548	-121	1198	1198	0
551	-128	1200	1200	0
554	-135	1202	1202	0
557	-142	1204	1204	0
560	-149	1206	1206	0
563	-156	1208	1208	0
566	-163	1210	1210	0
569	-170	1212	1212	0
572	-177	1214	1214	0
575	-184	1216	1216	0
578	-191	1218	1218	0
581	-198	1220	1220	0
584	-205	1222	1222	0
587	-212	1224	1224	0
590	-219	1226	1226	0
593	-226	1228	1228	0
596	-233	1230	1230	0
599	-240	1232	1232	0
602	-247	1234	1234	0
605	-254	1236	1236	0
608	-261	1238	1238	0
611	-268	1240	1240	0
614	-275	1242	1242	0
617	-282	1244	1244	0
620	-289	1246	1246	0
623	-296	1248	1248	0
626	-303	1250	1250	0
629	-310	1252	1252	0
632	-317	1254	1254	0
635	-324	1256	1256	0
638	-331	1258	1258	0
641	-338	1260	1260	0
644	-345	1262	1262	0
647	-352	1264	1264	0
650	-359	1266	1266	0
653	-366	1268	1268	0
656	-373	1270	1270	0
659	-380	1272	1272	0
662	-387	1274	1274	0
665	-394	1276	1276	0
668	-401	1278	1278	0
671	-408	1280	1280	0
674	-415	1282	1282	0
677	-422	1284	1284	0
680	-429	1286	1286	0
683	-436	1288	1288	0
686	-443	1290	1290	0
689	-450	1292	1292	0
692	-457	1294	1294	0
695	-464	1296	1296	0
698	-471	1298	1298	0
701	-478	1300	1300	0
704	-485	1302	1302	0
707	-492	1304	1304	0
710	-499	1306	1306	0
713	-506	1308	1308	0
716	-513	1310	1310	0
719	-520	1312	1312	0
722	-527	1314	1314	0
725	-534	1316	1316	0
728	-541	1318	1318	0
731	-548	1320	1320	0
734	-555	1322	1322	0
737	-562	1324	1324	0
740	-569	1326	1326	0
743	-576	1328	1328	0
746	-583	1330	1330	0
749	-590	1332	1332	0
752	-597	1334	1334	0
755	-604	1336	1336	0
758	-611	1338	1338	0
761	-618	1340	1340	0
764	-625	1342	1342	0
767	-632	1344	1344	0
770	-639	1346	1346	0
773	-646	1348	1348	0
776	-653	1350	1350	0
779	-660	1352	1352	0
782	-667	1354	1354	0
785	-674	1356	1356	0
788	-681	1358	1358	0
791	-688	1360	1360	0
794	-695	1362	1362	0
797	-702	1364	1364	0
800	-709	1366	1366	0
803	-716	1368	1368	0
806	-723	1370	1370	0
809	-730	1372	1372	0
812	-737	1374	1374	0
815	-744	1376	1376	0
818	-751	1378	1378	0
821	-758	1380	1380	0
824	-765	1382	1382	0
827	-772	1384	1384	0
830	-779	1386	1386	0
833	-786	1388	1388	0
836	-793	1390	1390	0
839	-800	1392	1392	0
842	-807	1394	1394	0
845	-814	1396	1396	0
848	-821	1398	1398	0
851	-828	1400	1400	0
854	-835	1402	1402	0
857	-842	1404	1404	0
860	-849	1406	1406	0
863	-856	1408	1408	0
866	-863	1410	1410	0
869	-870	1412	1412	0
872	-877	1414	1414	0
875	-884	1416	1416	0
878	-891	1418	1418	0
881	-898	1420	1420	0
884	-905	1422	1422	0
887	-912	1424	1424	0
890	-919	1426	1426	0
893	-926	1428	1428	0
896	-933	1430	1430	0
899	-940	1432	1432	0
902	-947	1434	1434	0
905	-954	1436	1436	0
908	-961	1438	1438	0
911	-968	1440	1440	0
914	-975	1442	1442	0
917	-982	1444	1444	0
920	-989	1446	1446	0
923	-996	1448	1448	0
926	-1003	1450	1450	0
929	-1010	1452	1452	0
932	-1017	1454	1454	0
935	-1024	1456	1456	0
938	-1031	1458	1458	0
941	-1038	1460	1460	0
944	-1045	1462	1462	0
947	-1052	1464	1464	0
950	-1059	1466	1466	0
953	-1066	1468	1468	0
956	-1073	1470	1470	0
959	-1080	1472	1472	0
962	-1087	1474	1474</td	

ACTUATION

TC  
PCF  
CV  
E

GAS PLANT

TEMPERATURA	TEMP-REDU	VISCO-EXP6	VISCO CAL	% DE ERRO
373.00E+03	7.5267E+00	9.3300E+02	1.0231E+03	-0.00614E+01
428.00E+03	5.9208E+00	1.0750E+03	1.1720E+03	-0.03638E+01
598.66E+03	7.7820E+00	1.2750E+03	1.3959E+03	-0.02438E+01
1174.66E+01	1.1746E+01	1.5300E+03	1.6925E+03	-0.0624E+02

دایرہ جن

TC	=	• 6	7	8	9	10	11	12	13
PC	=	• 2	4	1	5	3	4	2	6
PM	=	• 1	5	0	9	6	8	5	0
CV	=	• 3	4	8	2	0	5	0	0
U	=	• 2	3	0	6	0	5	0	0

GAS POLAR

TRIFLORURO DE BORO

$T_C = 26090E+03$   
 $P_C = 49200E+02$   
 $P_M = 67820E+02$   
 $C_V = 11226E+03$   
 $Z = 39200E+00$   
 $25810E+00$

GAS POLAR

TEMPERATURA	TEMP-REDU	VISCO-EXPE	VISCO CAL	% DE ERROR
$29250E+03$	$112114E+01$	$167300E+03$	$189811E+03$	-
$32760E+03$	$115544E+01$	$180000E+03$	$113531E+03$	-
$35340E+03$	$115544E+01$	$180000E+03$	$113531E+03$	-
$37840E+03$	$114055E+01$	$180000E+03$	$113531E+03$	-
$41810E+03$	$119330E+01$	$180000E+03$	$113531E+03$	-
$45400E+03$	$117330E+01$	$180000E+03$	$113531E+03$	-
$49090E+03$	$117330E+01$	$180000E+03$	$113531E+03$	-
$52590E+03$	$119550E+01$	$180000E+03$	$113531E+03$	-
$56110E+03$	$120100E+01$	$180000E+03$	$113531E+03$	-
$59710E+03$	$120100E+01$	$180000E+03$	$113531E+03$	-
$63310E+03$	$120100E+01$	$180000E+03$	$113531E+03$	-
$67420E+03$	$120100E+01$	$180000E+03$	$113531E+03$	-
$71020E+03$	$120100E+01$	$180000E+03$	$113531E+03$	-
$74620E+03$	$120100E+01$	$180000E+03$	$113531E+03$	-
$78220E+03$	$120100E+01$	$180000E+03$	$113531E+03$	-
$81820E+03$	$120100E+01$	$180000E+03$	$113531E+03$	-
$85420E+03$	$120100E+01$	$180000E+03$	$113531E+03$	-
$89020E+03$	$120100E+01$	$180000E+03$	$113531E+03$	-
$92620E+03$	$120100E+01$	$180000E+03$	$113531E+03$	-
$96220E+03$	$120100E+01$	$180000E+03$	$113531E+03$	-
$99820E+03$	$120100E+01$	$180000E+03$	$113531E+03$	-
$103420E+03$	$120100E+01$	$180000E+03$	$113531E+03$	-
$107020E+03$	$120100E+01$	$180000E+03$	$113531E+03$	-
$110620E+03$	$120100E+01$	$180000E+03$	$113531E+03$	-
$114220E+03$	$120100E+01$	$180000E+03$	$113531E+03$	-
$117820E+03$	$120100E+01$	$180000E+03$	$113531E+03$	-
$121420E+03$	$120100E+01$	$180000E+03$	$113531E+03$	-
$125020E+03$	$120100E+01$	$180000E+03$	$113531E+03$	-
$128620E+03$	$120100E+01$	$180000E+03$	$113531E+03$	-
$132220E+03$	$120100E+01$	$180000E+03$	$113531E+03$	-
$135820E+03$	$120100E+01$	$180000E+03$	$113531E+03$	-

METANOL

$T_C = 51320E+03$   
 $P_C = 78550E+02$   
 $P_M = 32040E+02$   
 $C_V = 11939E+03$   
 $Z = 55600E+00$   
 $22200E+00$

GAS POLAR

TEMPERATURA	TEMP-REDU	VISCO-EXPE	VISCO-CAL	% DE ERROR
$27300E+03$	$53196E+00$	$20000E+02$	$20000E+02$	$+0.02$
$29800E+03$	$5007E+00$	$110000E+02$	$110000E+02$	$+0.00$
$32300E+03$	$5038E+00$	$110000E+02$	$110000E+02$	$+0.00$
$34800E+03$	$5810E+00$	$110000E+02$	$110000E+02$	$+0.00$
$37300E+03$	$5141E+00$	$110000E+02$	$110000E+02$	$+0.00$
$40800E+03$	$5244E+00$	$110000E+02$	$110000E+02$	$+0.00$
$44300E+03$	$5954E+00$	$110000E+02$	$110000E+02$	$+0.00$
$47800E+03$	$5954E+00$	$110000E+02$	$110000E+02$	$+0.00$
$51300E+03$	$6101E+00$	$110000E+02$	$110000E+02$	$+0.00$
$54800E+03$	$6101E+00$	$110000E+02$	$110000E+02$	$+0.00$
$58300E+03$	$6101E+00$	$110000E+02$	$110000E+02$	$+0.00$
$61800E+03$	$6101E+00$	$110000E+02$	$110000E+02$	$+0.00$
$65300E+03$	$6101E+00$	$110000E+02$	$110000E+02$	$+0.00$
$68800E+03$	$6101E+00$	$110000E+02$	$110000E+02$	$+0.00$
$72300E+03$	$6101E+00$	$110000E+02$	$110000E+02$	$+0.00$
$75800E+03$	$6101E+00$	$110000E+02$	$110000E+02$	$+0.00$
$79300E+03$	$6101E+00$	$110000E+02$	$110000E+02$	$+0.00$
$82800E+03$	$6101E+00$	$110000E+02$	$110000E+02$	$+0.00$
$86300E+03$	$6101E+00$	$110000E+02$	$110000E+02$	$+0.00$
$90800E+03$	$6101E+00$	$110000E+02$	$110000E+02$	$+0.00$
$94300E+03$	$6101E+00$	$110000E+02$	$110000E+02$	$+0.00$
$97800E+03$	$6101E+00$	$110000E+02$	$110000E+02$	$+0.00$
$101300E+03$	$6101E+00$	$110000E+02$	$110000E+02$	$+0.00$
$104800E+03$	$6101E+00$	$110000E+02$	$110000E+02$	$+0.00$
$108300E+03$	$6101E+00$	$110000E+02$	$110000E+02$	$+0.00$
$111800E+03$	$6101E+00$	$110000E+02$	$110000E+02$	$+0.00$
$115300E+03$	$6101E+00$	$110000E+02$	$110000E+02$	$+0.00$
$118800E+03$	$6101E+00$	$110000E+02$	$110000E+02$	$+0.00$
$122300E+03$	$6101E+00$	$110000E+02$	$110000E+02$	$+0.00$
$125800E+03$	$6101E+00$	$110000E+02$	$110000E+02$	$+0.00$

BUTANOL

TC	PCM	CV	Z
• 29	• 56	• 36	• 63
• 30	• 57	• 37	• 64
• 31	• 58	• 38	• 65
• 32	• 59	• 39	• 66
• 33	• 60	• 40	• 67
• 34	• 61	• 41	• 68
• 35	• 62	• 42	• 69
• 36	• 63	• 43	• 70
• 37	• 64	• 44	• 71
• 38	• 65	• 45	• 72
• 39	• 66	• 46	• 73
• 40	• 67	• 47	• 74
• 41	• 68	• 48	• 75
• 42	• 69	• 49	• 76
• 43	• 70	• 50	• 77
• 44	• 71	• 51	
• 45	• 72	• 52	
• 46	• 73	• 53	
• 47	• 74	• 54	
• 48	• 75	• 55	
• 49	• 76	• 56	
• 50	• 77	• 57	
• 51	• 78	• 58	
• 52	• 79	• 59	
• 53	• 80	• 60	
• 54	• 81	• 61	
• 55	• 82	• 62	
• 56	• 83	• 63	
• 57	• 84	• 64	
• 58	• 85	• 65	
• 59	• 86	• 66	
• 60	• 87	• 67	
• 61	• 88	• 68	
• 62	• 89	• 69	
• 63	• 90	• 70	
• 64	• 91	• 71	
• 65	• 92	• 72	
• 66	• 93	• 73	
• 67	• 94	• 74	
• 68	• 95	• 75	
• 69	• 96	• 76	
• 70	• 97	• 77	
• 71	• 98	• 78	
• 72	• 99	• 79	
• 73	• 100	• 80	
• 74	• 101	• 81	
• 75	• 102	• 82	
• 76	• 103	• 83	
• 77	• 104	• 84	

GAS POLAR

TEMPERATURA	TEMP-PLDU	VISCO-EXPC	VISCO CAL	% DE ERPOP
• 29	• 56	• 36	• 78	• 11
• 30	• 57	• 37	• 80	• 11
• 31	• 58	• 38	• 82	• 11
• 32	• 59	• 39	• 84	• 11
• 33	• 60	• 40	• 86	• 11
• 34	• 61	• 41	• 88	• 11
• 35	• 62	• 42	• 90	• 11
• 36	• 63	• 43	• 92	• 11
• 37	• 64	• 44	• 94	• 11
• 38	• 65	• 45	• 96	• 11
• 39	• 66	• 46	• 98	• 11
• 40	• 67	• 47	• 100	• 11
• 41	• 68	• 48	• 102	• 11
• 42	• 69	• 49	• 104	• 11
• 43	• 70	• 50	• 106	• 11
• 44	• 71	• 51	• 108	• 11
• 45	• 72	• 52	• 110	• 11
• 46	• 73	• 53	• 112	• 11
• 47	• 74	• 54	• 114	• 11
• 48	• 75	• 55	• 116	• 11
• 49	• 76	• 56	• 118	• 11
• 50	• 77	• 57	• 120	• 11
• 51	• 78	• 58	• 122	• 11
• 52	• 79	• 59	• 124	• 11
• 53	• 80	• 60	• 126	• 11
• 54	• 81	• 61	• 128	• 11
• 55	• 82	• 62	• 130	• 11
• 56	• 83	• 63	• 132	• 11
• 57	• 84	• 64	• 134	• 11
• 58	• 85	• 65	• 136	• 11
• 59	• 86	• 66	• 138	• 11
• 60	• 87	• 67	• 140	• 11
• 61	• 88	• 68	• 142	• 11
• 62	• 89	• 69	• 144	• 11
• 63	• 90	• 70	• 146	• 11
• 64	• 91	• 71	• 148	• 11
• 65	• 92	• 72	• 150	• 11
• 66	• 93	• 73	• 152	• 11
• 67	• 94	• 74	• 154	• 11
• 68	• 95	• 75	• 156	• 11
• 69	• 96	• 76	• 158	• 11
• 70	• 97	• 77	• 160	• 11
• 71	• 98	• 78	• 162	• 11
• 72	• 99	• 79	• 164	• 11
• 73	• 100	• 80	• 166	• 11
• 74	• 101	• 81	• 168	• 11
• 75	• 102	• 82	• 170	• 11
• 76	• 103	• 83	• 172	• 11
• 77	• 104	• 84	• 174	• 11

PROPANOL

TC	PCM	CV	Z
• 29	• 56	• 36	• 63
• 30	• 57	• 37	• 64
• 31	• 58	• 38	• 65
• 32	• 59	• 39	• 66
• 33	• 60	• 40	• 67
• 34	• 61	• 41	• 68
• 35	• 62	• 42	• 69
• 36	• 63	• 43	• 70
• 37	• 64	• 44	• 71
• 38	• 65	• 45	• 72
• 39	• 66	• 46	• 73
• 40	• 67	• 47	• 74
• 41	• 68	• 48	• 75
• 42	• 69	• 49	• 76
• 43	• 70	• 50	• 77
• 44	• 71	• 51	
• 45	• 72	• 52	
• 46	• 73	• 53	
• 47	• 74	• 54	
• 48	• 75	• 55	
• 49	• 76	• 56	
• 50	• 77	• 57	
• 51	• 78	• 58	
• 52	• 79	• 59	
• 53	• 80	• 60	
• 54	• 81	• 61	
• 55	• 82	• 62	
• 56	• 83	• 63	
• 57	• 84	• 64	
• 58	• 85	• 65	
• 59	• 86	• 66	
• 60	• 87	• 67	
• 61	• 88	• 68	
• 62	• 89	• 69	
• 63	• 90	• 70	
• 64	• 91	• 71	
• 65	• 92	• 72	
• 66	• 93	• 73	
• 67	• 94	• 74	
• 68	• 95	• 75	
• 69	• 96	• 76	
• 70	• 97	• 77	
• 71	• 98	• 78	
• 72	• 99	• 79	
• 73	• 100	• 80	
• 74	• 101	• 81	
• 75	• 102	• 82	
• 76	• 103	• 83	
• 77	• 104	• 84	

GAS POLAR

TEMPERATURA	TEMP-PLDU	VISCO-EXPC	VISCO CAL	% DE ERPOP
• 29	• 56	• 36	• 78	• 11
• 30	• 57	• 37	• 80	• 11
• 31	• 58	• 38	• 82	• 11
• 32	• 59	• 39	• 84	• 11
• 33	• 60	• 40	• 86	• 11
• 34	• 61	• 41	• 88	• 11
• 35	• 62	• 42	• 90	• 11
• 36	• 63	• 43	• 92	• 11
• 37	• 64	• 44	• 94	• 11
• 38	• 65	• 45	• 96	• 11
• 39	• 66	• 46	• 98	• 11
• 40	• 67	• 47	• 100	• 11
• 41	• 68	• 48	• 102	• 11
• 42	• 69	• 49	• 104	• 11
• 43	• 70	• 50	• 106	• 11
• 44	• 71	• 51	• 108	• 11
• 45	• 72	• 52	• 110	• 11
• 46	• 73	• 53	• 112	• 11
• 47	• 74	• 54	• 114	• 11
• 48	• 75	• 55	• 116	• 11
• 49	• 76	• 56	• 118	• 11
• 50	• 77	• 57	• 120	• 11
• 51	• 78	• 58	• 122	• 11
• 52	• 79	• 59	• 124	• 11
• 53	• 80	• 60	• 126	• 11
• 54	• 81	• 61	• 128	• 11
• 55	• 82	• 62	• 130	• 11
• 56	• 83	• 63	• 132	• 11
• 57	• 84	• 64	• 134	• 11
• 58	• 85	• 65	• 136	• 11
• 59	• 86	• 66	• 138	• 11
• 60	• 87	• 67	• 140	• 11
• 61	• 88	• 68	• 142	• 11
• 62	• 89	• 69	• 144	• 11
• 63	• 90	• 70	• 146	• 11
• 64	• 91	• 71	• 148	• 11
• 65	• 92	• 72	• 150	• 11
• 66	• 93	• 73	• 152	• 11
• 67	• 94	• 74	• 154	• 11
• 68	• 95	• 75	• 156	• 11
• 69	• 96	• 76	• 158	• 11
• 70	• 97	• 77	• 160	• 11
• 71	• 98	• 78	• 162	• 11
• 72	• 99	• 79	• 164	• 11
• 73	• 100	• 80	• 166	• 11
• 74	• 101	• 81	• 168	• 11
• 75	• 102	• 82	• 170	• 11
• 76	• 103	• 83	• 172	• 11
• 77	• 104	• 84	• 174	• 11

ETA'NOL

TC = .51630E+03  
 PC = .63000E+02  
 PR = .40070E+03  
 CV = .10677E+03  
 W = .63500E+00  
 Z = .24800E+00

GAS POLAR

TEMPERATURA	TEMP-REDU	VISCO-EXPE	VISCO CAL	% DE ERRO
.27300E+03	.52876E+00	.90000E+02	.77010E+02	.14000E+02
.39800E+03	.57718E+00	.94000E+02	.84805E+02	.6000E+01
.23000E+03	.62501E+00	.93000E+02	.92636E+02	.4000E+01
.44800E+03	.67403E+00	.10300E+02	.10044E+02	.2000E+01
.70800E+03	.72245E+00	.11400E+02	.10832E+02	.1000E+01
.41900E+03	.77027E+00	.13100E+02	.11613E+02	.1000E+01
.81900E+03	.81907E+00	.13100E+02	.13191E+02	.1000E+01
.44800E+03	.86714E+00	.13100E+02	.13177E+02	.1000E+01
.47300E+03	.91613E+00	.14000E+02	.13555E+02	.1000E+01
.51200E+03	.96456E+00	.15200E+02	.14629E+02	.1000E+01
.51100E+03	.10130E+01	.16100E+02	.16320E+02	.1000E+01
.57300E+03	.10644E+01	.17100E+02	.17146E+02	.1000E+01
.59800E+03	.11108E+01	.17600E+02	.17690E+02	.1000E+01
.62300E+03	.11582E+01	.18500E+02	.18644E+02	.1000E+01
.64800E+03	.12057E+01	.19500E+02	.19444E+02	.1000E+01
.67300E+03	.12531E+01	.20200E+02	.20217E+02	.1000E+01
.69800E+03	.13005E+01	.20100E+02	.20175E+02	.1000E+01
.72300E+03	.13519E+01	.20000E+02	.20175E+02	.1000E+01
.74800E+03	.14003E+01	.20000E+02	.20505E+02	.1000E+01
.77300E+03	.14478E+01	.20000E+02	.20505E+02	.1000E+01
	.14972E+01	.20000E+02	.23280E+02	.1000E+01

ISO-PROPANOL

TC = .50820E+03  
 PC = .47000E+02  
 PR = .80090E+02  
 CV = .26004E+03  
 W = .77300E+00  
 Z = .24800E+00

GAS POLAR

TEMPERATURA	TEMP-REDU	VISCO-EXPE	VISCO CAL	% DE ERRO
.39300E+03	.77352E+00	.10300E+03	.11177E+03	.81228E+01
.43500E+03	.85203E+00	.11444E+03	.12555E+03	.80056E+01
.49300E+03	.97000E+00	.13022E+03	.14131E+03	.89170E+01
.47300E+03	.95074E+00	.14982E+03	.13573E+03	.93020E+01

A P E N D I C E "B"

---

Presentación del listado de la fuente de referencia de todos aquellos datos utilizados, así como también de las relaciones matemáticas que se hicieron necesarias para realizar los cálculos correspondientes.

APENDICE "B" - TABLA I .

Listado de los gases estudiados en el capítulo II y III ;  
La numeración indica la fuente de referencia, las mismas estan  
dadas en la bibliografia de este trabajo.

GASES NO-POLARES :

<u>Nombre</u>	<u>Referencia</u>
1.- Aire	32,54,75,78.
2.- Argon	12,19,21,32,42,44,48,54,68,75.
3.- Helio	13,16,19,32,41,44,45,48,53,54.
4.- Hidrogeno	16,32,53,54.
5.- Neon	13,16,19,42,45,48,54,68,75.
6.- Kripton	12,14,19,42,44,54,68.
7.- Xenon	12,19,44,54,68.
8.- Metano	10,13,20,21,27,31,50,54.
9.- Oxigeno	25,32,54,
10.- Nitrogeno	12,19,23,26,32,41,45,48,54,75.
11.- Etileno	15,50.
12.- Etano	21,50,74.
13.- Disulfuro de Carbono	61,
14.- Propano	27,50.
15.- Cloruro de Metilo	3.

Continuación Tabla I.

<u>Nombre</u>	<u>Referencia</u>
16.- Oxido Nitroso	25,80.
17.- 1,3-Butadieno	50.
18.- Ciclohexano	51,74,80.
19.- Acetileno	61.
20.- Tetrafluoruro de Carbono	17,20,31.
21.- Ciclopentano	50,80.
22.- Neo pentano	17,50.
23.- n-Butano	9,28,50.
24.- Tetracloruro de Carbono	56.66.
25.- Cloruro de Metileno	66.
26.- Cloroformo	35.
27.- Benceno	51,61,80.
28.- Trans 2 Buteno	50.
29.- n-Pentano	50.
30.- Hexafluoruro de Azufre	17,20,26,31.
31.- Dioxido de Azufre	3,63,80.
32.- Tolueno	51,80.
33.- Hexano	50,74.
34.- 2,4-Dimetil Pentano	50.
35.- 2,2,4-Trimetil Pentano	50.
36.- Difenil Metano	52.
37.- Heptano	50,56

Continuación Tabla I.

<u>Nombre</u>	<u>Referencia</u>
38.- Acetato de Etilo	66.
39.- Octano	50,56.
40.- Dioxido de Carbono	15,32,43,48,54,61,80.
41.- Difenil Eter	52.
42.- Nonano	56.
43.- Ciclo Propano	17,50,80.
44.- Oxido Nitrico	26,32,80.

Continuación Tabla I.

GASES : POLARES

<u>Nombre</u>	<u>Referencia</u>
1.- Acido Sulfidrico	3,35,63.
2.- Dimetil Eter	66.
3.- Cis 2 Buteno	50.
4.- Acetona	66.
5.- Vapor de Agua	1,47,70.
6.- Trifluoruro de Boro	17,26.
7.- Metanol	66,80.
8.- Butanol	66,80.
9.- Propanol	66,80.
10.- Etanol	66,80.
11.- Isopropanol	66.
12.- Amoniaco	2,3,63,80.

APENDICE "B" - TABLA II .

Listado de los gases de mezclas binarias estudiadas en el - capítulo IV ; La numeración indica la fuente de la cual se tomaron, las mismas estan dadas en la bibliografia de este trabajo.

<u>MEZCLA BINARIA GASEOSA</u>	<u>REFERENCIA</u>
1.- Amoniaco-Hidrógeno	29,60.
2.- Dioxido de Azufre-Dioxido de Carbono	3, 60.
3.- Amoniaco-Etileno	29.
4.- Nitrógeno-Heptano	11.
5.- Helio-Nitrógeno	37,41.
6.- Cloruro de Metilo-Dioxido de Carbono	3, 7.
7.- Argon-Neon	29.
8.- Amoniaco-Nitrógeno	60, 65.
9.- Ácido Sulfídrico-Aire	60.
10.- Metano- Propano	27.
11.- Dioxido de Azufre-Hidrógeno	29,60.
12.- Amoniaco-Aire	60.
13.- Helio-Kripton	36,37.

APENDICE "B" - TABLA III.

DEFINICION DEL CALCULO DE ERRORES. -

1.- PORCIENTO DE ERROR :

Se calcula a partir de la expresión que presentan en su libro Reid y Sheerwood<sup>66</sup> .-

$$\% \text{ ERROR} = (\mu_{\text{cal}} - \mu_{\text{exp}} / \mu_{\text{exp}}) (100)$$

donde  $\mu_{\text{cal}}$  es la viscosidad calculada

$\mu_{\text{exp}}$  es la viscosidad experimental,  
este cálculo se realiza para cada dato experimental de temperatura que presenta cada gas estudiado ( a cada dato de temperatura corresponde un dato de viscosidad ).

2.- ERROR RELATIVO :

Este cálculo nos permite observar el arrastre de error que presenta cada uno de los gases en la totalidad de sus datos de temperatura :

$$ERP = [(\mu_{\text{exp}} - \mu_{\text{cal}})^2 / ND]^{0.5}$$

donde  $\mu_{\text{exp}}$  es la viscosidad experimental

es la viscosidad calculada  
es el numero de datos que presenta cada gas.

3.- ERROR RELATIVO PROMEDIO :

Se ha definido como una manera de poder observar el error - que presenta todo el conjunto de gases, tanto para polares como para no polares, en un modelo de predicción específico :

$$\text{ERR REL PROMEDIO} = \frac{\text{SUMA DE ERRORES RELATIVOS}}{\text{NUMERO DE SISTEMAS}}$$

APENDICE "B" - TABLA IV .

RELACIONES PARA LA CORRECCION DE LAS PROPIEDADES CRITICAS  
DE LOS GASES CUANTICOS ( H<sub>2</sub>, He, y Ne ) . <sup>64</sup>

$$T_c = T_c^0 / \left[ 1 + (C_1 / m T) \right]$$

$$P_c = P_c^0 / \left[ 1 + (C_2 / m T) \right]$$

donde  $T_c^0$  y  $P_c^0$  son la temperatura crítica y presión crítica clásicas.

$C_1$  y  $C_2$  son dos constantes específicas para los gases cuánticos.

$m$  es el peso molecular

$T$  es la temperatura de referencia.

Se tiene entonces que :

<u>Gas</u>	<u><math>T_c^0</math></u>	<u><math>P_c^0</math></u>
Ne	45.5	26.9
He	10.47	6.67
H <sub>2</sub>	43.6	20.2

$$C_1 = 21.8 ; C_2 = 44.2$$

APENDICE "B" - TABLA V.

El parámetro de interacción entre dos moléculas similares, para el modelo de Hirschfelder, Curtis y Bird<sup>33</sup>, en una mezcla gaseosa a bajas densidades puede calcularse de la siguiente manera :

$$T_{c_{ij}} = T_{c_i} T_{c_j}^{0.5} \left[ \frac{\sigma_i \sigma_j}{\left( \frac{\sigma_i + \sigma_j}{2} \right)^2} \right]^3$$

$$T_{c_{ij}} = (T_{c_i} T_{c_j})^{0.5} \frac{64 (T_{c_i} T_{c_j} / P_{c_i} P_{c_j})}{[(T_{c_i} / P_{c_i})^{1/3} + (T_{c_j} / P_{c_j})^{1/3}]^6}$$

$$T_{c_{ij}} = (T_{c_i} T_{c_j})^{0.5} \left[ \frac{64 (T_{c_i} P_{c_j} / T_{c_j} P_{c_i})}{[(T_{c_i} P_{c_j} / T_{c_j} P_{c_i})^{1/3} + 1]^6} \right]$$

TABLA VI - APENDICE B

T*	$\mu^{1,1}$	$\mu^{2,2}$	T*	$\mu^{1,1}$	$\mu^{2,2}$
0.30	2.662	2.765	2.50	0.9996	1.093
0.35	2.476	2.628	2.60	0.9878	1.081
0.40	2.318	2.492	2.70	0.9770	1.069
0.45	2.184	2.368	2.80	0.9672	1.048
0.50	2.066	2.257	3.00	0.9490	1.039
0.55	1.966	2.156	3.10	0.9406	1.030
0.60	1.877	2.065	3.20	0.9328	1.022
0.65	1.798	1.982	3.30	0.9256	1.014
0.70	1.729	1.908	3.40	0.9186	1.007
0.75	1.667	1.841	3.50	0.9120	0.9999
0.80	1.612	1.780	3.60	0.9058	0.9932
0.85	1.562	1.725	3.70	0.8998	0.9870
0.90	1.517	1.675	3.80	0.8942	0.9811
0.95	1.476	1.629	3.90	0.8888	0.9755
1.00	1.439	1.587	4.00	0.8836	0.9700
1.05	1.406	1.549	4.10	0.8788	0.9649
1.10	1.375	1.514	4.20	0.8740	0.9600
1.15	1.346	1.482	4.30	0.8694	0.9553
1.20	1.320	1.452	4.40	0.8652	0.9507
1.25	1.296	1.424	4.50	0.8610	0.9464
1.30	1.273	1.399	4.60	0.8568	0.9422
1.35	1.253	1.375	4.70	0.9530	0.9382
1.40	1.233	1.353	4.80	0.8492	0.9343
1.45	1.215	1.333	4.90	0.8456	0.9305
1.50	1.198	1.314	5.0	0.8422	0.9269
1.55	1.182	1.296	6.0	0.8124	0.8963
1.60	1.167	1.279	7.0	0.7896	0.8727
1.65	1.153	1.264	8.0	0.7712	0.8538
1.70	1.140	1.248	9.0	0.7556	0.8379
1.75	1.128	1.234	10.0	0.7424	0.8242
1.80	1.116	1.221	20.0	0.6640	0.7432
1.85	1.105	1.209	30.0	0.6232	0.7005
1.90	1.094	1.197	40.0	0.5960	0.6718
1.95	1.084	1.186	50.0	0.5756	0.6504
2.00	1.075	1.175	60.0	0.5596	0.6335
2.10	1.057	1.156	70.0	0.5464	0.6194
2.20	1.041	1.138	80.0	0.5352	0.6076
2.30	1.026	1.122	90.0	0.5256	0.5973
2.40	1.012	1.107	100.0	0.5170	0.5882

TABLA VII - APENDICE B

T*	f <sub>1</sub>	T*	f <sub>1</sub>	T*	f <sub>1</sub>
0.30	0.1969	1.65	1.0174	4.0	2.0719
0.35	0.2252	1.70	1.0453	4.1	2.1090
0.40	0.2540	1.75	1.0729	4.2	2.1457
0.45	0.2834	1.80	1.0999	4.3	2.1820
0.50	0.3134	1.85	1.1264	4.4	2.2180
0.55	0.3440	1.90	1.1529	4.5	2.2536
0.60	0.3751	1.95	1.1790	4.6	2.2888
0.65	0.4066	2.00	1.2048	4.7	2.3237
0.70	0.4384	2.1	1.2558	4.8	2.3583
0.75	0.4704	2.2	1.3057	4.9	2.3926
0.80	0.5025	2.3	1.3547	5.0	2.4264
0.85	0.5346	2.4	1.4028	6.0	2.751
0.90	0.5666	2.5	1.4501	7.0	3.053
0.95	0.5985	2.6	1.4962	8.0	3.337
1.00	0.6302	2.7	1.5417	9.0	3.607
1.05	0.6616	2.8	1.5861	10	3.866
1.10	0.6928	2.9	1.6298	20	6.063
1.15	0.7237	3.0	1.6728	30	7.880
1.20	0.7544	3.1	1.7154	40	9.488
1.25	0.7849	3.2	1.7573	50	10.958
1.30	0.8151	3.3	1.7983	60	12.324
1.35	0.8449	3.4	1.8388	70	13.615
1.40	0.8744	3.5	1.8789	80	14.839
1.45	0.9036	3.6	1.9186	90	16.010
1.50	0.9320	3.7	1.9576	100	17.137
1.55	0.9611	3.8	1.9962	200	26.80
1.60	0.9894	3.9	2.0343	400	41.90

C A P I T U L O      VII

B I B L I O G R A F I A

C A P I T U L O    VII

B I B L I O G R A F I A

- 1.- BARUA, A.K., and DAS GUPTA, A.  
"Pressure Dependence of the Viscosity of Superheated Steam"  
Trans Faraday Soc., 59, 2243-2247, 1963.
- 2.- BHATTACHARYYA, P.K., GHOSH,A.K., and BARUA, A.K.  
"Dipole-Dipole interaction and Viscosity of Polar Gases"  
The Journal Phys. (B), 3, 526-535, 1970.
- 3.- BHATTACHARYYA, P.K., and GHOSH, A.K.  
"Viscosity of Polar-Quadrupolar Gas Mixtures"  
The Journal of Chem. Phys. 52, 2719-2723, 1970.
- 4.- BIRD, R.B.  
"Transport Phenomena"  
Ed. J. Wiley, New York, (1960).
- 5.- BRETSZNAJDER, S.  
"Prediction of Transport and other Physical Properties of -  
Fluids"  
Pergamon Press / Wydawnictwa Naukowo-Techniczne.  
International Series of Monographs in Chemical Engineering,  
(1971).

- 6.- BREETVELD, J.D., DE PIPPO, R., and KESTIN, J.  
"Viscosity and Binary Diffusion of Neon-Carbon Dioxide Mixtures at 20°C and 30°C."  
The Journal of Chem. Phys., 45, 124-126, 1966.
- 7.- BROKAW, R.S.  
"Approximate Formulas for the Viscosity and Thermal Conductivity of Gas Mixtures - II."  
The Journal of Chem. Phys., 42, 1140-1146, 1965.
- 8.- BURNETT, D.  
"Viscosity and Thermal Conductivity of Gas Mixtures"  
The Journal of Chem. Phys., 42, 2533-2540, 1965.
- 9.- CARMICHAEL, L.T., and SAGE, B.H.  
"Viscosity of Hydrocarbons:- n-Butane"  
Journal of Chem. Eng. Data, 8, 612-616, 1963.
- 10.- CARMICHAEL, L.T., BERRY, V., and SAGE, B.H.  
"Viscosity of Hydrocarbons: Methane"  
Journal of Chem., Eng., Data, 10, 57-61, 1965.
- 11.- CARMICHAEL, L.T., and SAGE, B.H.  
"Viscosity and Thermal Conductivity of Nitrogen-nHeptane and Nitrogen-nOctane Mixtures"  
A.I.Ch.E., Journal, 12, 559-562, 1966.
- 12.- CLARKE, A.G., and SMITH, E.B.  
"Low Temperature Viscosities of Argon, Krypton, and Xenon"  
The Journal of Chem. Phys., 48, 3988-3991, 1968.

13.- CLARKE, A.G., and SMITH, E.B.

"Low Temperature Viscosities and Intermolecular Forces of -  
Simple Gases"

The Journal of Chem. Phys., 51, 4156-4161, 1969.

14.- CLIFFTON, D.G.

"Measurements of the Viscosity of Krypton"

The Journal of Chem. Phys., 38, 1123-1131, 1963.

15.- COMINGS, E.W., and EGLY, R.S.

"Viscosity of Ethylene and Carbon Dioxide under Pressure"

Industrial and Eng. Chem., 33, 1224-1229, 1941.

16.- COREMANS, VAN ITTERBEEK, and ZANDEERGEN.

"The Viscosity of Gaseous He, Ne, H<sub>2</sub>, and D<sub>2</sub>"

Physica, 24, 560-571, 1958.

17.- COUBREY Mc, J.C., and SINGH, N.M.

"Intermolecular Forces in Quasi-Spherical Molecules"

Trans Faraday Soc., 53, 877-883, 1957.

18.- DANON, F., and AMDUR, I.

"Averaged Potentials and the Viscosity of Dilute Polar --  
Gases"

The Journal of Chem. Phys., 50, 4718-4725, 1969.

19.- DAWE, R.A., and SMITH, E.B.

"Viscosities of the Inert Gases at High Temperatures"

The Journal of Chem. Phys., 52, 693-703, 1970.

- 20.- DAWE, R.A., SMITH, E.B., and MAITLAND, G.C.  
"High Temperature Viscosities and Intermolecular Forces of  
Quasi-Spherical Molecules"  
Trans Faraday Soc., 66, 1955-1965, 1970.
- 21.- DE ROCCO, A.G., and HALFORD, J.O.  
"Intermolecular Potentials of Argon, Methane, and Ethane"  
The Journal of Chem. Phys., 28, 1152-1154, 1958.
- 22.- DILLER, D.E.  
"Viscosity of Hydrogen and Parahydrogen"  
The Journal of Chem. Phys., 48, 2090-2100, 1965.
- 23.- DIPPIPO, R., KESTIN, J., and WHITELAW, J.H.  
"A high- temperature Oscillating-Disk Viscometer"  
Physica, 32, 2075-2080, 1966.
- 24.- DIPPIPO, R., KESTIN, J., and OGUCHI, K.  
"Viscosity of three Bynari Gaseous Mixtures"  
The Journal of Chem. Phys., 46, 4758-4764, 1967.
- 25.- DOLAN, J.P., STARLING, K.E., and LEE, A.L.  
"Liquid, Gas and Dense Fluid Viscosity of n-Butane"  
Journal of Chem. Eng. Data, 8, 396-399, 1963.
- 26.- ELLIS, C.P., and RAW, C.J.  
"High - Temperature Gas Viscosities : I . Nitrous Oxide and  
Oxygen"  
The Journal of Chem. Phys., 28, 1198-1200, 1958.

26.- ELLIS, C.P., and RAW, C.J.

"High - Temperature Gas Viscosities: II. Nitrogen, Nitric Oxide, Boron Trifluoride, Silicon Tetrafluoride and Sulfur Hexafluoride"

The Journal of Chem. Phys., 30, 574-576, 1959.

27.- GIDDINGS, J.G., KAO, J.T., and KOBAYASHI, R.

"Development of a High- Pressure Capillary Tube Viscometer and its Application to Methane, Propane, and their Mixtures in the Gaseous and Liquid Regions"

The Journal of Chem. Phys., 45, 578-586, 1966.

28.- GOLDMAN, K.

"Viscosity of Nitrogen at Low Temperatures"

Physica, 29, 499-516, 1963.

29.- HATTIKUDUR, U.R., and THODOS, G.

"Viscosity of Gas Mixtures at Normal Pressures: Binary -- Polar - Non polar Systems"

A.I.Ch.E. Journal, 17, 1220-1225, 1971.

30.- HANLEY, J.M., and MC CARTY, R.D.

"Density Dependence of Experimental Transport Coefficients of Gases"

The Journal of Chem. Phys., 50, 857-870, 1969.

31.- HELLEMANS, J.M., KESTIN, J., and RO, S.T.

"The Viscosity of  $\text{CH}_4$ ,  $\text{CF}_4$ ,  $\text{SF}_6$ , over a range of temperatures"

Physica, 65, 376 - 380, 1973.

- 32.- HILSENRATH, J., and TOULOUKIAN, Y.S.  
"The Viscosity, Thermal Conductivity, and Prandtl Number  
for Air, O<sub>2</sub>, N<sub>2</sub>, NO, H<sub>2</sub>, CO, CO<sub>2</sub>, H<sub>2</sub>O, He, and Ar."  
Trans ASME, 76, 967-985, 1954.
- 33.- HIRSCHFELDER, J., CURTIS, F., and BIRD, R.  
"Molecular Theory of Gases and Liquids"  
Ed. John Wiley & Sons, Inc., New York, (2da. Ed.) 1964.
- 34.- IWASAKI, H., Kestin, J., and NAGASHIMA, A.  
"Viscosity of Argon-Amonia Mixtures"  
The Journal of Chem. Phys., 40, 2988-2995, 1964.
- 35.- JOSHI, K.M., and SAXENA, S.G.  
"Viscosity of Polar Gases"  
Physica, 27, 329-336, 1961.
- 36.- KALELKAR, A.S., and KESTIN, J.  
"Viscosity of He - Ar and He - Kr Binary Gaseous Mixtures  
in the Temperature Range 25-720 °C,"  
The Journal of Chem. Phys., 52, 4248-4261, 1970.
- 37.- KESTIN, J., KOBAYASHI, Y., and WOOD, R.T.  
"The Viscosity of Four Binary, Gaseous Mixtures at 20° and  
30 °C."  
Physica, 32, 1065-1089, 1966.
- 38.- KESTIN, J., and LEIDENFROST, W.  
"The Effect of Pressure on the Viscosity of N<sub>2</sub> - CO<sub>2</sub> --  
Mixtures"  
Physica, 25, 525-536, 1959.

- 39.- KESTIN, J., and LEINDENFROST, W.  
"The Viscosity of Helium"  
Physica, 25, 537-555, 1959.
- 40.- KESTIN, J., RO, S.T., and WAKEMAN, W.A.  
"Reference Values of the Viscosity of Twelve Gases at 25<sup>o</sup>C"  
Trans Faraday Soc., 67, 2308-2313, 1971.
- 41.- KESTIN, J., RO, S.T., and WAKEMAN, W.A.  
"Viscosity of the Binary Gaseous Mixture He-N<sub>2</sub>."  
The Journal of Chem. Phys., 56, 4036-4042, 1971.
- 42.- KESTIN, J., RO, S.T., and WAKEMAN, W.A.  
"Viscosity of the Binary Gaseous Mixture Ne-Kr."  
The Journal of Chem. Phys., 56, 4086-4091, 1971.
- 43.- KESTIN, J., RO, S.T., and WAKEMAN, W.A.  
"Viscosity of Carbon Dioxide in the Temperature Range --  
25 - 700 °C."  
The Journal of Chem. Phys., 56, 4114-4118, 1972.
- 44.- KESTIN, J., RO, S.T., and WAKEMAN, W.A.  
"Viscosity of the Noble Gases in the Temperatura Range --  
25 - 700 °C. "  
The Journal of Chem. Phys., 56, 4119-4124, 1972.
- 45.- KESTIN, J., RO, S.T., and WAKEMAN, W.A.  
"Viscosity of the Gaseous Mixtures He-Ne and Ne-N<sub>2</sub> in the -  
Temperature Range 25 - 700 °C."  
The Journal of Chem. Phys., 56, 5837-5842, 1972.

46.- KESTIN, J., WAKEMAN, W.A., and WATANABE, K.

"Viscosity, Thermal Conductivity of Ar-Ne and Ar-Kr Gaseous Mixtures in the Temperature Range 25-700 °C."

The Journal of Chem. Phys., 53, 3773-3780, 1970.

47.- KESTIN, J., and WANG, H.E.

"The Viscosity of Superheated Steam up to 270 °C."

Physica, 26, 575-584, 1960.

48.- KESTIN, J., and WHITELAW, J.H.

"A Relative Dtermination of the Viscosity of Several Gases by the Oscillating Disk Method."

49.- KIM, S.K., and ROSS, J.

"Viscosity of Moderately Dense Gases."

The Journal of Chem. Phys., 42, 263-271, 1965.

50.- LAMBERT, J.D., COTTON, K.J., ROBINSON, A.M., and YOUNG, A.

"Transport Properties of Gaseous Hydrocarbons."

Proc. Roy. Soc. (A), 231, 280-290, 1955.

51.- LOWRY, T.M., and NASINI, A.G.

"Molecular Dimensions of Organic Compounds"

Proc. Roy. Soc. (A), 123, 685-705, 1929.

52.- MACK, E., and HARE, W.A.

"The angle between the Oxigen Bonds by the Collision Area Method."

J. Amer. Chem. Soc., 54, 4272-4277, 1932.

- 53.- MASON, E.A., and RICE, W.E.  
"The Intermolecular Potentials of Helium and Hydrogen."  
The Journal of Chem. Phys., 22, 522-535, 1954.
- 54.- MAITLAND, G.C., and SMITH, E.B.  
"Critical Reassessment of Viscosities of 11 Common Gases."  
Journal of Chem. Eng. Data, 17, 150-155, 1972.
- 55.- MATHUR, G.P., and THODOS, G.  
"The Viscosity of Dissociated and Undissociated Gases for  
Temperatures up to 10 000 °K."  
A.I.Ch.E., Journal, 9, 596-598, 1963.
- 56.- MELAVEN, R.M., and MACK, E.  
"The Collision Areas and Shapes of Carbon Chain Molecules  
in the Gaseous State: n-Heptane, n-Octane, n-Nonane."  
J. Amer. Chem. Soc., 54, 889-906, 1932.
- 57.- MICHELS, A., BOTZEN, A., and SCHUURMAN, W.  
"The Viscosity of Argon at Pressures up to 2000 Atmospheres"  
Physica, 20, 1141-1148, 1954.
- 58.- MICHELS, A., BOTZEN, A., and SCHUURMAN, W.  
"The viscosity of Carbon Dioxide between 0 - 75 °C and at  
Pressures up to 2000 Atmospheres."  
Physica, 23, 95-102, 1957.
- 59.- MONCHICK, L., and MASON, E. A.  
"Transport Properties of Polar Gases"  
The Journal of Chem. Phys., 35, 1676- 1697, 1961.

60.- MONCHICK, L., and MASON, E.A.

"Transport Properties of Polar Gas Mixtures"

The Journal of Chem. Phys., 36, 2746-2757, 1962.

61.- PAL, A.K., and BARUA, A.K.

"Viscosity of Some Quadrupolar Gases and Vapors"

The Journal of Chem. Phys., 48, 872-874, 1968.

62.- PAL, A.K., and BARUA, A.K.

"Viscosity of Binary Polar Gas Mixtures"

The Journal of Chem. Phys., 51, 828-831, 1969.

63.- PAL, A.K., and BARUA, A.K.

"Viscosity and Intermolecular Potentials of Hydrogen Sulphide, Sulphur Dioxide and Ammonia."

Trans Faraday Soc., 63, 341-346, 1967.

64.- PRAUNITZ, J.

"Molecular Thermodynamics of Fluid-Phase Equilibria."

Englenwood Cliffs, Ed. Prentice Hall.

International Sers. in the Physical and Chem. Eng. Sciences.

65.- RAKSHIT, A.B., ROY, C.S., and BARUA, A.K.

"Viscosity of the Binary Gas Mixtures Argon-Methane and Argon-Ammonia."

The Journal of Chem. Phys., 59, 3633-3638, 1973.

66.- REID, R.C., and SHERWOOD, T.K.

"The Properties of Gases and Liquids."

Ed. Mc. Graw Hill, New York.

2nd. ed. 1966.

- 67.- RIETVELD, A.O., VAN ITTERBEEK, A., and VELDS, C.A.  
"Viscosity of Binary Mixtures of Hydrogen Isotopes and Mixtures of He and Ne."  
*Physica*, 25, 205-216, 1959.
- 68.- RIGBY, M., and SMITH, E.B.  
"Viscosities of the Inert Gases."  
*Trans Faraday Soc.*, 62, 54-58, 1966.
- 69.- SINGH, Y., DEB, S.K., and BARUA, A.K.  
"Dimerization and the Initial Pressure Dependence of the -- Viscosity of Polar Gases."  
*The Journal of Chem. Phys.*, 46, 4036-4040, 1967.
- 70.- SMITH, C.J.  
"Study of The Viscosus Properties of Water Vapour."  
*Proc. Roy. Soc., (A)*, 106, 83-96, 1924.
- 71.- STIEL, L.I., and THODOS, G.  
"The Viscosity of Nonpolar Gases at Normal Pressures."  
*A.I.Ch.E. Journal*, 7, 611-614, 1961.
- 72.- STIEL, L.I., and THODOS, G.  
"The Viscosity of Polar Gases at Normal Pressures."  
*A.I.Ch.E. Journal*, 8, 229-232, 1962.
- 73.- STIEL, L., and DEAN, E.D  
"The Viscosity of Non Polar Gas Mixtures at Moderate and - High Pressures"  
*A.I.Ch.E. Journal*, 11, 526-531, 1965.

74.- STIEL, L.I.

"Extensions of the Theorem of Corresponding States."

Industrial and Eng. Chem., 60, 50-60, 1968.

75.- STRUMPF, H.J., COLLINGS, A.F., and PRINGS, C.J.

"Viscosity of Xenon and Ethane in the Critical Region."

The Journal of Chem. Phys., 60, 3109-3123, 1974.

76.- TADASHI MAKITA

"The Viscosity of Argon, Nitrogen and Air at Pressures up to 800 kg/cm<sup>2</sup>."

Review Phys. Chem. of Japan, 27, 16-21, 1957.

77.- TRAPPENIERS, N.J., BOTZEN, A., and VAN DEN BERG, H.R.

"The Viscosity of Ne between 25°C and 75°C at Pressures up to 1800 atmospheres."

78.- TRAPPENIERS, N.J., BOTZEN, A. , and VAN DEN BERG, H.R.

"Corresponding States for the Viscosity of Noble Gases up to High Densities."

Physica, 31, 1681-1691, 1965.

79.- WILLIAMS, F.A.

"Effect of Temperature on Viscosity of Air."

Proc. Roy. Soc., 40, 157-167, 1926.

80.- YAWS, C.L., HOPPER, J.R., KUO, C.H., and TURNBOUGH, A.C.

"Physical and Thermodynamics Properties - Monographs -- Series." (Serie de 17 Articulos)

Chem. Engineering, Junio 10, 1974 - Enero 1976.

81.- YOON, P., and THODOS, G.

"Viscosity of Nonpolar Gaseous Mixtures."

A.I.Ch.E. Journal, 16, 300-304, 1970.